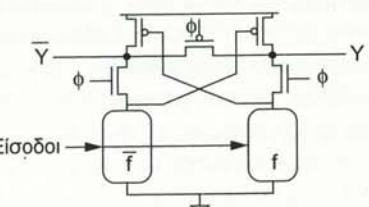


- 9.42 Το Σχήμα 9.69 παρουσιάζει μια πύλη διαφορικής δομής διακοπόμενης εξόδου (Switched Output Differential Structure, SODS). Εξηγήστε πώς λειτουργεί η πύλη και σχεδιάστε τις κυριαρχούσες της πύλης όταν λειτουργεί ως αντιστροφέας/απομονωτής. Σχολιάστε τα πλεονεκτήματα και μειονεκτήματα της συγκεκριμένης λογικής οικογένειας.



ΣΧΗΜΑ 9.69 SODS.

- 9.43 Επιλέξτε οποιαδήποτε από τις λογικές οικογένειες (εκτός της SODS, Άσκηση 9.42) που αναφέραμε στην Ενότητα 9.4.4 ή έχει δημοσιευθεί σε κάποια πρόσφατη εργασία. Βασιζόμενοι στην κρίση σας, αξιολογήστε την εργασία στην οποία αρχικά προτάθηκε το συγκεκριμένο κύκλωμα. Σχεδιάστε αξιόληπτές κυριαρχούσες της συγκεκριμένης λογικής οικογένειας; Εάν ήσασταν υπεύθυνοι για την επιλογή του στη σχεδίασης για να μεγάλο ολοκληρωμένο, ποια ζητήματα θα σας απασχολούσαν περισσότερο αναφορικά με τη συγκεκριμένη λογική οικογένεια;
- 9.44 Βασιζόμενοι στο ιδανικό (μεγάλου μήκους καναλιού) μοντέλο, διατυπώστε μια έκφραση για τον υπολογισμό της  $V_{out}$  του ψευδο- $n$ MOS αντιστροφέα που απεικονίζεται στο Σχήμα 9.13, θεωρώντας ότι  $V_{in} = V_{DD}$ . Η  $V_{out}$  θα πρέπει να δίνεται ως συνάρτηση των τάσεων κατωφλίου και των τιμών  $\beta$  των δύο τρανζίστορ. Υποθέστε ότι  $V_{out} < |V_{tp}|$ .

## Σχεδίαση Ακολουθιακών Κυκλωμάτων

10

### 10.1 Εισαγωγή

Στο Κεφάλαιο 9 μελετήσαμε τα συνδυαστικά (combinational) κυκλώματα, στα οποία η έξοδος είναι συνάρτηση των τρέχουσών εισόδων. Στο παρόν κεφάλαιο θα μελετήσουμε τα ακολουθιακά (sequential) κυκλώματα, στα οποία η έξοδος εξαρτάται τόσο από τις τρέχουσες όσο και από τις προηγούμενες εισόδους· αυτά τα κυκλώματα λέγεται ότι έχουν καταστάσεις (states). Οι μηχανές πεπερασμένων καταστάσεων (finite state machines) και οι δομές με διαδοχική διοχέτευση (pipeline) είναι δύο χαρακτηριστικά παραδείγματα ακολουθιακών κυκλωμάτων.

Τα ακολουθιακά κυκλώματα σχεδιάζονται συνήθως με flip-flop ή μανδαλωτές, τα οποία σε ορισμένες περιπτώσεις αποκαλούνται στοιχεία μνήμης διότι κατακρατούν (distrerow) δεδομένα – τα αποκαλούμενα σύμβολα (tokens). Ο σκοπός αυτών των στοιχείων δεν είναι να λειτουργούν ως πραγματικές μνήμες (δηλ. να αποθηκεύουν σύμβολα), αλλά να επιβάλλουν μια ακολουθία (sequence), μέσω της οποίας επιτυγχάνεται η διαφοροποίηση του τρέχοντος συμβόλου από το προηγούμενο ή το επόμενο σύμβολο. Για το λόγο αυτό αποκαλούνται ακολουθιακά στοιχεία (sequencing elements) [Harris01a]. Εάν δεν υπήρχαν ακολουθιακά στοιχεία σ' ένα κύκλωμα, το επόμενο σύμβολο θα μπορούσε, κατά τη διάρκεια της επεξεργασίας, να προλάβει το τρέχον σύμβολο, με αποτέλεσμα να αλλιωθούν και τα δύο. Τα ακολουθιακά στοιχεία καθυστερούν τα σύμβολα που καταφθάνουν πολύ νωρίς, εμποδίζοντάς τα να αλλιωθούν τα προηγούμενα σύμβολα. Δυστυχώς, όμως, προσθέτουν κάποια αναπόφευκτη καθυστέρηση στα σύμβολα, ορισμένα εκ των οποίων μπορεί είναι κρίσιμα, μειώνοντας έτοι την απόδοση του συστήματος. Αυτή η επιπρόσθετη καθυστέρηση αποκαλείται ακολουθιακή επιβάρυνση (sequencing overhead).

Σ' αυτό το κεφάλαιο θα εξετάσουμε τη δημιουργία ακολουθιακών δομών τόσο σε δυναμικά όσο και σε στατικά κυκλώματα. Ως στατικά χαρακτηρίζονται τα κυκλώματα με πύλες που δεν έχουν είσοδο ρολογιού, όπως π.χ. κυκλώματα συμπληρωματικής λογικής CMOS, ψευδο- $n$ MOS, ή λογικής με τρανζίστορ περάσματος. Ως δυναμικά χαρακτηρίζονται τα κυκλώματα με πύλες που έχουν είσοδο ρολογιού, ιδιαίτερα δε αυτά που υλοποιούν λογική διαδοχικής επίδρασης (domino). Ενα ακολουθιακό στοιχείο με στατική αποθήκευση χρησιμοποιεί κάποιο είδος ανάδρασης για να διατηρεί την τιμή εξόδου του επ' άπειρον. Ένα στοιχείο με δυναμική αποθήκευση διατηρεί συνήθως την τιμή του σαν φορτίο σ' έναν πυκνωτή, το οποίο, εάν δεν ανανεωθεί για μεγάλο χρονικό διάστημα, θα διαρρεύσει και θα χαθεί. Η επιλογή μεταξύ στατικών ή δυναμικών πυλών και ακολουθιακών στοιχείων μπορεί να γίνεται ανεξάρτητα.

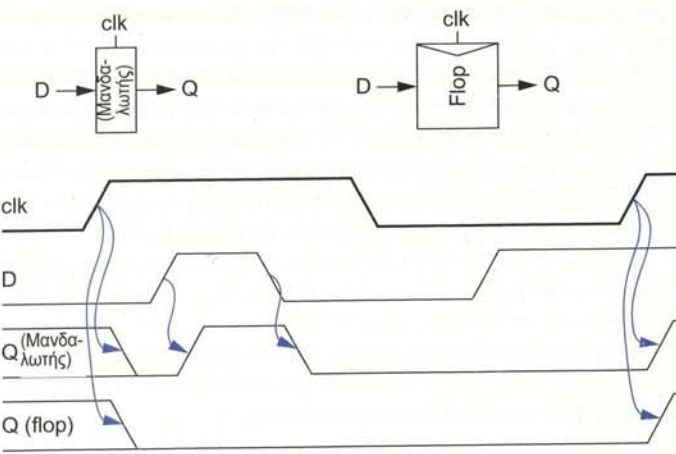
Οι Ενότητες 10.2 έως 10.4 εξετάζουν ακολουθιακά στοιχεία για στατικά κυκλώματα, δίνοντας ιδιαίτερη έμφαση στα flip-flop, τους μανδαλωτές 2 φάσεων και τους παλμικούς μανδαλωτές. Η Ενότητα 10.5 αναλύει διάφορους τρόπους υλοποίησης δυναμικών ακολουθιακών κυκλωμάτων. Κατά κανόνα, χρησιμοποιείται ένα περιοδικό ρολό για να υποδεικνύει το χρονισμό μιας ακολουθίας. Η Ενότητα 10.6 περιγράφει πώς μπορούν να συγχρονίζονται με το ρολό τα εξωτερικά σήματα και αναλύει τους κινδύνους που ενέχουν οι αστοχίες στο συγχρονισμό. Στην Ενότητα 10.7 περιγράφεται η τεχνική wave pipelining (διαδοχική διοχέτευση σε μορφή "κυμάτων"). Η δημιουργία και διανομή του ρολογιού περιγράφεται στην Ενότητα 13.4.

Η επιλογή της στρατηγικής υλοποίησης ακολουθιακών δομών είναι άρρηκτα συνδεδεμένη με τη σχεδιαστική ροή που χρησιμοποιείται σ' έναν οργανισμό. Είναι, λοιπόν, σημαντικό πριν αρχίσει κανείς να προχωρά προς μια συγκεκριμένη σχεδιαστική κατεύθυνση να διασφαλίσει ότι όλες οι φάσεις -σύλληψη και αποτύπωση της σχεδίασης, σύνθεση και επαλήθευση- μπορούν να ολοκληρωθούν. Για το σκοπό αυτό απαιτείται να φροντιστούν ζητήματα όπως οι βιβλιοθήκες κυττάρων που θα χρησιμοποιηθούν (είναι

διαθέσιμα κυκλώματα / μοντέλα για τα flip-flop ή τους μανδαλωτές), η διαθεσιμότητα εργαλείων όπως οι αναλυτές χρονισμού (μπορεί ο χρονισμός να επιτευχθεί άνετα) καθώς και η αυτοματοποιημένη παραγωγή δομών ελέγχου (μπορούν να εισαχθούν εύκολα στοιχεία αυτο-ελέγχου).

## 10.2 Υλοποίηση Ακολουθιακών Δομών σε Στατικά Κυκλώματα

Όπως γνωρίζετε από την Ενότητα 1.4.9, οι μανδαλωτές και τα flip-flop είναι τα δύο ευρύτερα χρησιμοποιούμενα στοιχεία για τη δημιουργία ακολουθιακών δομών λογικής (Σημείωση: από εδώ και στο εξής, θα τα αποκαλούμε απλώς ακολουθιακά στοιχεία). Αμφότερα έχουν τρεις ακροδέκτες: έναν για είσοδο δεδομένων ( $D$ ), έναν για το ρολόι ( $clk$ ) κι έναν για την έξοδο δεδομένων ( $Q$ ). Ο μανδαλωτής είναι διαφανής όταν το ρολόι είναι σε υψηλή στάθμη και αδιαφανής όταν το ρολόι είναι σε χαμηλή στάθμη. Με άλλα λόγια, όταν το ρολόι είναι ψηλά, το  $D$  ρέει προς το  $Q$  περίπου σαν να ήταν ο μανδαλωτής ένας απλός απομονωτής, ενώ όταν το ρολόι είναι χαμηλά ο μανδαλωτής διατηρεί την τρέχουσα τιμή εξόδου  $Q$  ακόμα κι όταν το  $D$  αλλάζει. Το flip-flop είναι ένα ακμοπυροδότητο στοιχείο, το οποίο αντιγράφει το  $D$  στο  $Q$  κατά την ανοδική ακμή του ρολογιού και αγνοεί το  $D$  σε οποιαδήποτε άλλη στιγμή. Η συμπεριφορά αυτή απευκίνεται στο Σχήμα 10.1 Η άγνωστη τιμή του  $Q$  πριν από την πρώτη ανοδική ακμή επισημαίνεται με το ζεύγος γραμμών προς τη χαμηλή και υψηλή στάθμη.

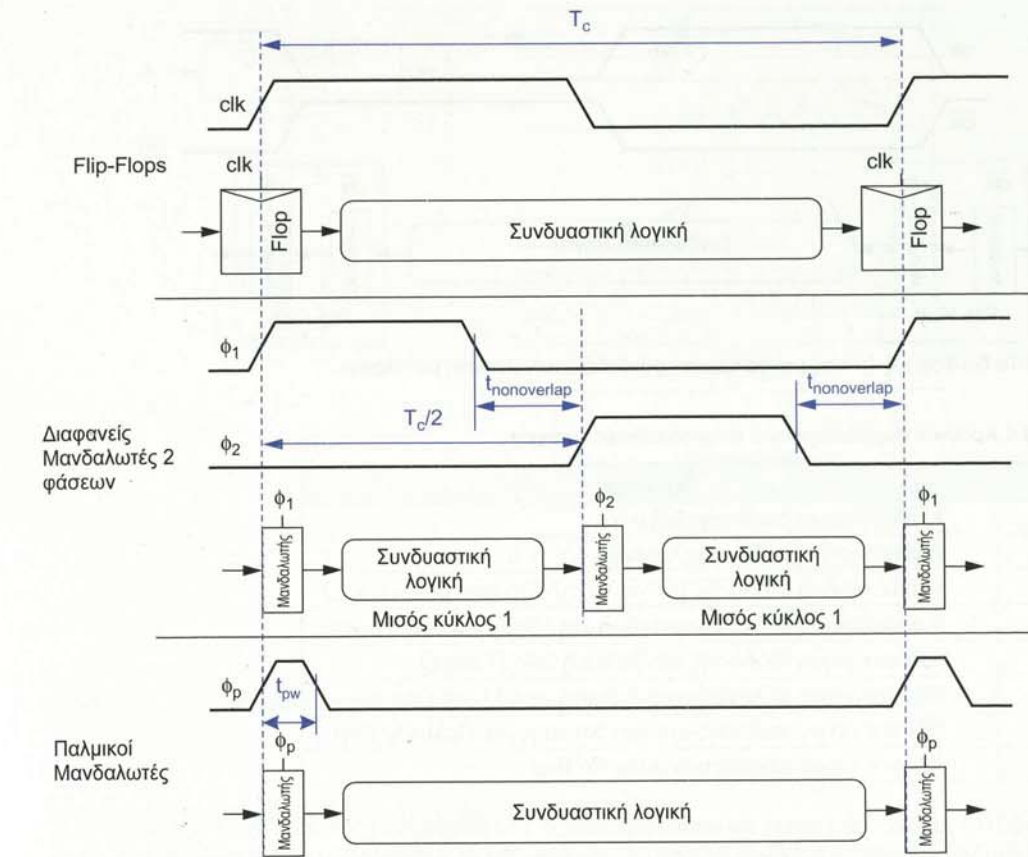


ΣΧΗΜΑ 10.1 Μανδαλωτές και Flip-Flop.

Σ' αυτή την ενότητα θα εξετάσουμε τις τρεις δημοφιλέστερες μεθόδους δημιουργίας ακολουθιακών δομών σε στατικά κυκλώματα με χρήση των εξής στοιχείων: flip-flop, διαφανείς μανδαλωτές 2 φάσεων και παλμικούς μανδαλωτές [Unger86]. Μια ιδανική μεθοδολογία για την υλοποίηση τέτοιων δομών θα εισήγαγε μηδενική ακολουθιακή επιβάρυνση, θα επέτρεπε την άμεση σύνδεση ακολουθιακών στοιχείων χωρίς άλλα στοιχεία λογικής, θα παρείχε στο σχεδιαστή ευελιξία όσον αφορά στην ισοστάθμιση της ποσότητας λογικής σε κάθε κύκλο ρολογιού, θα επιδείκνυε ανοχή σε μέτριες χρονικές αποκλίσεις του ρολογιού χωρίς να υποβαθμίζει την απόδοση και θα κατανάλωνε μηδενική επιφάνεια και ισχύ. Στη συνέχεια θα συγκρίνουμε αυτές τις μεθόδους και θα διερευνήσουμε τους συμβιβασμούς που παρέχει η κάθε μία. Επιπρόσθια, θα εξετάσουμε διάφορες κυκλωματικές υλοποιήσεις, σε επίπεδο τρανζίστορ, για κάθε στοιχείο.

### 10.2.1 Μέθοδοι Δημιουργίας Ακολουθιακών Δομών

Το Σχήμα 10.2 απεικονίζει τρεις μεθόδους δημιουργίας ακολουθιακών δομών συνδυαστικής λογικής. Σε κάθε περίπτωση, απεικονίζονται οι κυματομορφές του ρολογιού, τα ακολουθιακά στοιχεία και η συνδυαστική λογική. Ο οριζόντιος άξονας αντιστοιχεί στη χρονική στιγμή που ένα σύμβολο (token) φτάνει σ' ένα συγκεκριμένο σημείο στο κύκλωμα. Για παράδειγμα, το σύμβολο φτάνει στο πρώτο flip-flop κατά την πρώτη ανοδική ακμή του ρολογιού. Στη συνέχεια διαδίδεται διαμέσου της συνδυαστικής λογικής και φτάνει στο δεύτερο flip-flop κατά τη δεύτερη ανοδική ακμή του ρολογιού. Οι διακεκομένες κατακόρυφες γραμμές υποδεικνύουν το όριο μεταξύ ενός κύκλου ρολογιού και του επόμενου. Η περίοδος του ρολογιού

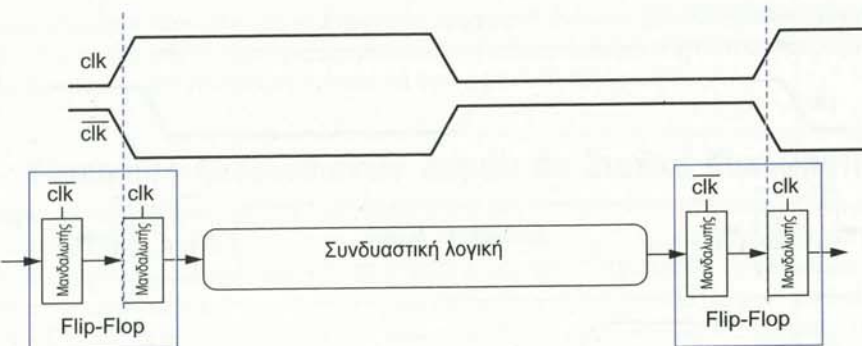


ΣΧΗΜΑ 10.2 Μέθοδοι υλοποίησης ακολουθιακών δομών σε στατικά κυκλώματα.

είναι  $T_c$ . Σ' ένα σύστημα 2 φάσεων, οι φάσεις μπορούν να διαχωρίζονται κατά ένα χρονικό διάστημα «μη-επικάλυψη»,  $t_{nonoverlap}$ . Σ' ένα σύστημα παλμών, το χρονικό εύρος του παλμού είναι  $t_{pw}$ .

Τα βασιζόμενα σε flip-flop συστήματα χρησιμοποιούν ένα flip-flop σε κάθε όριο κύκλου. Τα σύμβολα μεταδίδονται από τον έναν κύκλο στον επόμενο κατά την ανοδική ακμή. Εάν ένα σύμβολο φτάνει νωρίς, περιμένει στο flip-flop έως τον επόμενο κύκλο. Θυμηθείτε ότι το flip-flop μπορεί να αντιμετωπίσει ως ένα ζεύγος μανδαλωτών ενωμένων «πλάτη με πλάτη» (άμεση σύνδεση εξόδου σε είσοδο), χρησιμοποιώντας το  $clk$  και το συμπλήρωμά του, όπως απεικονίζεται στο Σχήμα 10.3. Εάν διαχωρίσουμε τους μανδαλωτές, μπορούμε να διατρέσουμε τον πλήρη κύκλο της συνδυαστικής λογικής σε δύο φάσεις, οι οποίες αποκαλούνται ημι-κύκλοι. Τα δύο ρολόγια των μανδαλωτών αποκαλούνται συνήθως  $\phi_1$  και  $\phi_2$ : μπορεί να αντιστοιχούν στο  $clk$  και στο συμπλήρωμά του, ή μπορεί να είναι μη-επικαλυπτόμενα ( $t_{nonoverlap} > 0$ ). Ανά πάσα χρονική στιγμή, τουλάχιστον ένα ρολόι βρίσκεται σε υψηλή στάθμη και ο αντίστοιχος μανδαλωτής είναι διαφανής, εμποδίζοντας ένα σύμβολο να προφτάσει ένα άλλο και να ενωθεί μ' αυτό. Οι δύο μανδαλωτές συμπεριφέρονται περίπου με τον ίδιο τρόπο όπως δύο υδατοστεγείς πάλες στις δεξαμενές ενώς καναλιού [Mead80]. Τα συστήματα παλμικών μανδαλωτών εξαλείφουν ένα μανδαλωτή από κάθε κύκλο και εφαρμόζουν ένα σύντομο παλμό στον άλλο μανδαλωτή. Ακόμα κι αν ένας παλμός είναι πιο σύντομος από την καθυστέρηση διάδοσης της συνδυαστικής λογικής, μπορούμε και πάλι να αναμένουμε ότι ένα σύμβολο θα προωθείται κατά τη διάρκεια ενός κύκλου του ρολογιού σε κάθε παλμό.

Ο Πίνακας 10.1 παραθέτει τους ορισμούς για τις καθυστέρησεις και τους χρονικούς περιορισμούς της συνδυαστικής λογικής και των ακολουθιακών στοιχείων. Επειδή αυτές οι καθυστέρησεις μπορούν να διαφοροποιούνται σημαντικά για τις μεταβάσεις ανόδου και καθόδου, διαφοροποιείται αντίστοιχα ο συμβολισμός τους, με τη χρήση των επιθεμάτων  $r$  (άνοδος) και  $f$  (καθόδος). Χάριν συντομίας, θα χρησιμοποιούμε το συνολικό μέγιστο και ελάχιστο.



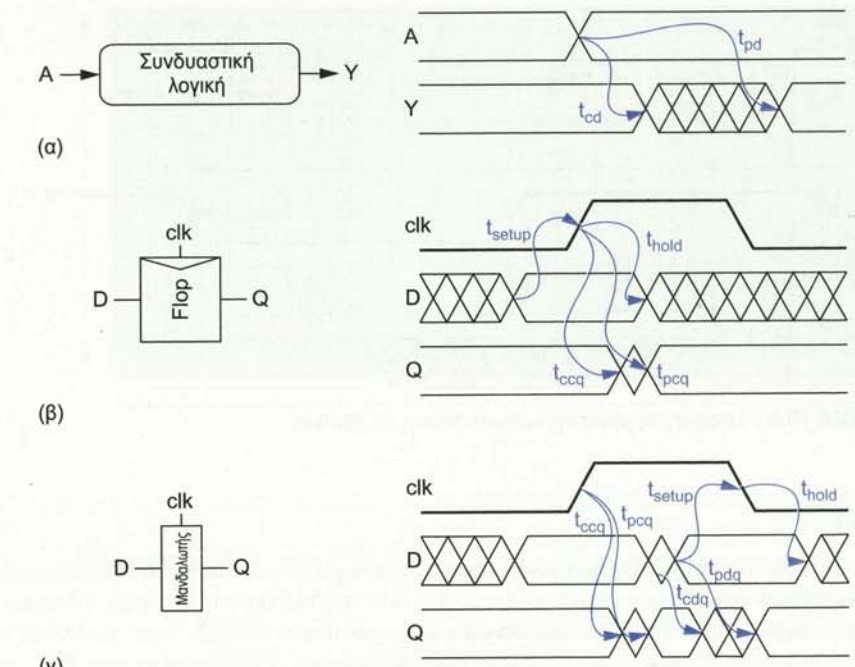
ΣΧΗΜΑ 10.3 Το flip-flop ως ζεύγος μανδαλωτών, συνδεδεμένων «πλάτη με πλάτη».

ΠΙΝΑΚΑΣ 10.1 Χρονικοί συμβολισμοί για τα ακολουθιακά στοιχεία

Όρος	Περιγραφή
$t_{pd}$	Καθυστέρηση διάδοσης λογικής
$t_{cd}$	Καθυστέρηση μόλυνσης λογικής
$t_{pcq}$	Καθυστέρηση διάδοσης μανδαλωτή/flop από ρολόι έως $Q$
$t_{ccq}$	Καθυστέρηση μόλυνσης μανδαλωτή/flop από ρολόι έως $Q$
$t_{pdq}$	Καθυστέρηση διάδοσης μανδαλωτή από $D$ έως $Q$
$t_{cdq}$	Καθυστέρηση μόλυνσης μανδαλωτή από $D$ έως $Q$
$t_{setup}$	Χρόνος ενεργοποίησης-αποκατάστασης μανδαλωτή/flop
$t_{hold}$	Χρόνος συγκράτησης μανδαλωτή/flop

Το Σχήμα 10.4 απεικονίζει αυτές τις καθυστέρησεις σ' ένα διάγραμμα χρονισμού (timing diagram). Σ' ένα διάγραμμα χρονισμού, ο οριζόντιος άξονας απεικονίζει το χρόνο και ο κατακόρυφος τη λογική στάθμη. Μια μονή γραμμή υποδεικνύει ότι ένα σήμα είναι σε υψηλή ή σε χαμηλή στάθμη τη συγκεκριμένη στιγμή. Ένα ζεύγος γραμμών υποδεικνύει ότι ένα σήμα είναι σταθερό, αλλά δεν μας ενδιαφέρει η τιμή του. Οι διασταυρωμένες γραμμές υποδεικνύουν ότι το σήμα μπορεί να αλλάξει κατά τη διάρκεια αυτού του διαστήματος. Ένα ζεύγος γραμμών με διαγράμμιση υποδειγμώνει ότι το σήμα μπορεί να αλλάξει μία ή περισσότερες φορές στο συγκεκριμένο χρονικό διάστημα.

Το Σχήμα 10.4(a) παρουσιάζει την απόκριση της συνδυαστικής λογικής όταν η είσοδος  $A$  αλλάζει από μια τοχαία τιμή σε μια άλλη. Η έξοδος  $Y$  δεν μπορεί να αλλάξει ακαριαία. Μετά από την καθυστέρηση μόλυνσης  $t_{cd}$ , η έξοδος  $Y$  μπορεί ν' αρχίσει να αλλάξει βαθμιαία, ή να προκληθεί απότομη μεταβολή της (glitch). Μετά από την καθυστέρηση διάδοσης  $t_{pd}$ , το  $Y$  πρέπει να σταθεροποιηθεί στην οριστική του τιμή. Η καθυστέρηση μόλυνσης και η καθυστέρηση διάδοσης μπορεί να διαφέρουν αρκετά, λόγω του ότι μπορεί να υπάρχουν πολλαπλά μονοπάτια διάσχισης της συνδυαστικής λογικής. Το Σχήμα 10.4(b) παρουσιάζει τις αποκρίσεις των flip-flop. Η είσοδος των δεδομένων πρέπει να είναι σταθερή για ένα διάστημα γύρω από την ανοδική ακμή του flip-flop εάν πρόκειται να γίνει δειγματοληψία με ακρίβεια. Συγκεκριμένα, η είσοδος  $D$  πρέπει να έχει σταθεροποιηθεί μέσα σ' ένα ένα διάστημα χρόνου αποκατάστασης,  $t_{setup}$ , πριν από την ανοδική ακμή του  $clk$  και δεν πρέπει να αλλάξει ξανά πριν παρέλθει ο χρόνος συγκράτησης  $t_{hold}$ , μετά από την ανοδική ακμή. Η έξοδος αρχίζει ν' αλλάξει μετά από την καθυστέρηση μόλυνσης «από ρολόι-σε- $Q$ »,  $t_{ccq}$ , και οριστικοποιείται πλήρως μετά από την καθυστέρηση διάδοσης «από ρολόι-σε- $Q$ »,  $t_{pdq}$ . Το Σχήμα 10.4(g) παρουσιάζει την απόκριση του μανδαλωτή. Τώρα, η είσοδος  $D$  πρέπει να αποκατασταθεί και να συγκρατηθεί κατά το διάστημα γύρω από την καθοδική ακμή που ορίζει το τέλος της περιόδου δειγματοληψίας. Αρχικά, η έξοδος αλλάζει σε χρόνο  $t_{ccq}$  μετά από τη στιγμή που ο μανδαλωτής γίνεται διαφανής κατά την ανοδική ακμή του ρολογιού και σταθεροποιείται μετά από χρόνο  $t_{pdq}$ . Κατά τη διάρκεια που ο μανδαλωτής είναι διαφανής, η έξοδος θα συνεχίσει να ακολουθεί την είσοδο μετά από κάποια καθυστέρηση «από  $D$ -σε- $Q$ »  $t_{cdq}$  και  $t_{pdq}$ . Στην Ενότητα 10.4.2 θα περιγράψουμε πώς υπολογίζονται οι χρόνοι αποκατάστασης/συγκράτησης καθώς και οι καθυστέρησεις διάδοσης, κατά την προσομοίωση.



ΣΧΗΜΑ 10.4 Διαγράμματα χρονισμού.

## 10.2.2 Περιορισμό Μέγιστης Καθυστέρησης

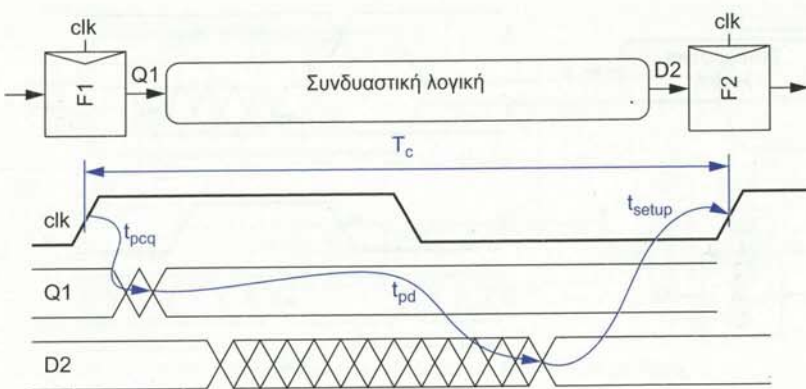
Στην ιδανική περίπτωση, ολόκληρος ο κύκλος του ρολογιού θα ήταν διαθέσιμος στη συνδυαστική λογική για την εκτέλεση υπολογισμών. Φυσικά, η επιβάρυνση λόγω ακολουθιακής λογικής στους μανδαλωτές ή στα flip-flop μειώνει το χρόνο που είναι διαθέσιμος σ' έναν κύκλο του ρολογιού. Εάν η καθυστέρηση της συνδυαστικής λογικής είναι πολύ μεγάλη, το στοιχείο που λαμβάνει το αποτέλεσμα δεν θα προλάβει να δειγματοληπτήσει εντός του χρόνου αποκατάστασης και ως εκ τούτου θα λάβει λανθασμένη τιμή. Αυτό το πρόβλημα αποκαλείται *αστοχία χρόνου αποκατάστασης* ή *αστοχία μέγιστης-καθυστέρησης* και μπορεί να λυθεί με επανασχεδίαση της λογικής ώστε να είναι ταχύτερη, ή με αύξηση της περιόδου του ρολογιού. Σ' αυτή την ενότητα θα υπολογίσουμε τον πραγματικό χρόνο που είναι διαθέσιμος για τη λογική και την ακολουθιακή επιβάρυνση για καθένα από τα ευρέως χρησιμοποιούμενα ακολουθιακά στοιχεία: flip-flop, μανδαλωτές 2 φάσεων και παλμικούς μανδαλωτές.

Το Σχήμα 10.5 παρουσιάζει τους περιορισμούς μέγιστης-καθυστέρησης σ' ένα μονοπάτι από ένα flip-flop έως το επόμενο, υποθέτοντας ιδανικά ρολόγια χωρίς χρονική απόκλιση. Το μονοπάτι ξεκινά όταν η ανοδική ακμή σκανδαλίζει το  $F1$ . Τα δεδομένα θα πρέπει να διαδοθούν στην έξοδο  $Q1$  του flip-flop και διαμέσου της συνδυαστικής λογικής στο  $D2$ , θέτοντας το  $F2$  πριν από την επόμενη ανοδική ακμή του ρολογιού. Αυτό σημαίνει ότι η περίοδος του ρολογιού θα πρέπει να είναι τουλάχιστον

$$T_c \geq t_{pq} + t_{pd} + t_{setup} \quad (10.1)$$

Εναλλακτικά, μπορούμε να επιλύσουμε την εξίσωση για τη μέγιστη επιτρεπόμενη καθυστέρηση λογικής, η οποία είναι απλώς ο χρόνος κύκλου του ρολογιού μείον την ακολουθιακή επιβάρυνση που εισάγεται από την καθυστέρηση διάδοσης και το χρόνο αποκατάστασης του flip-flop.

$$t_{pd} \leq T_c - \underbrace{\left( t_{setup} + t_{pq} \right)}_{\text{ακολουθιακή επιβάρυνση} \quad (10.2)}$$



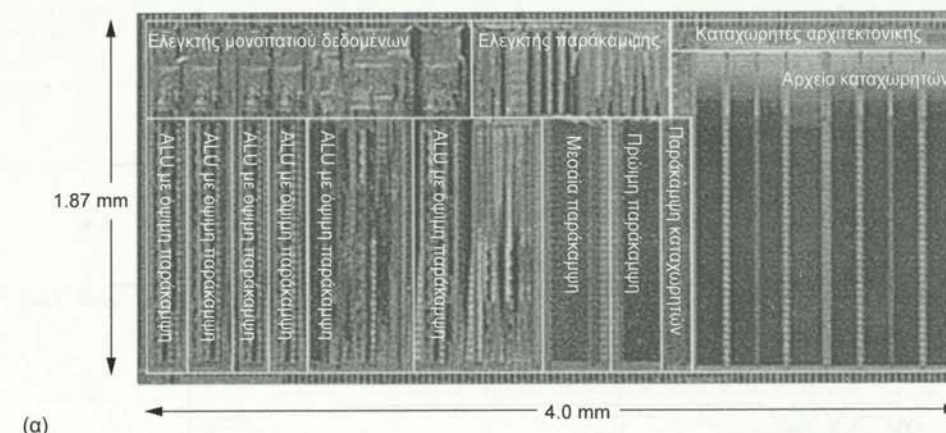
ΣΧΗΜΑ 10.5 Περιορισμός μέγιστης καθυστέρησης σε flip-flop.

### Παράδειγμα 10.1

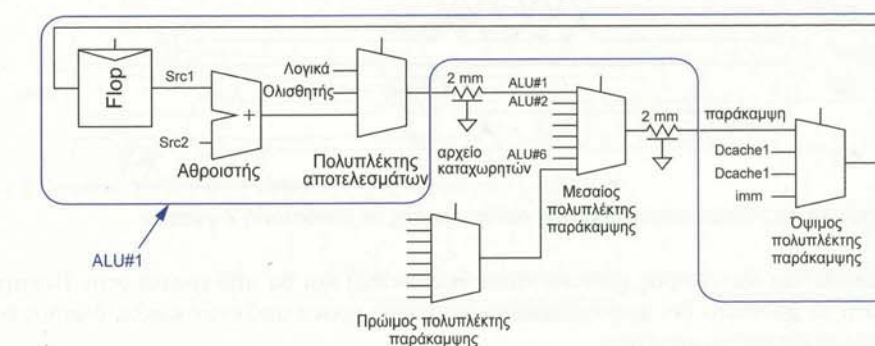
Το μονοπάτι αυτο-παράκαμψης (self-bypass path) της αριθμητικής/λογικής μονάδας (ALU) περιορίζει τη συχνότητα ρολογιού ορισμένων μικροεπεξεργαστών που χρησιμοποιούν διαδοχική διοχέτευση (pipeline). Για παράδειγμα, η μονάδα εκτέλεσης ακέραιων υπολογισμών (Integer Execution Unit, IEU) του επεξεργαστή Itanium 2 περιλαμβάνει μονοπάτια αυτο-παράκαμψης για έξι διαφορετικές ALU, όπως βλέπετε στο Σχήμα 10.6(a) [Fetzer02]. Το μονοπάτι για μια από τις ALU ξεκινά από τους καταχωρητές που περιέχουν τα δεδομένα εισόδου για έναν αθροιστή, όπως βλέπετε στο Σχήμα 10.6(β). Ο αθροιστής πρέπει να υπολογίσει το άθροισμα (ή τη διαφορά, εάν πρόκειται για αφαίρεση). Ένας πολυπλέκτης αποτελεσμάτων εκτελεί την επιλογή μεταξύ αυτού του αθροισμάτος, της εξόδου της λογικής μονάδας και της εξόδου του ολισθητή. Στη συνέχεια, μια σειρά από πολυπλέκτες παράκαμψης επιλέγει τις εισόδους της ALU για τον επόμενο κύκλο. Ο πρώτος πολυπλέκτης παράκαμψης (early bypass multiplexer) εκτελεί την επιλογή μεταξύ των αποτελεσμάτων των ALU από προηγούμενους κύκλους και δεν βρίσκεται στο κρίσιμο μονοπάτι. Ο μεσαίος, 8:1 πολυπλέκτης παράκαμψης χρησιμοποιείται για την επιλογή ενός αποτελέσματος από οποιαδήποτε από τις έξι ALU, από τον πρώτο πολυπλέκτη παράκαμψης, ή από το αρχείο καταχωρητών. Ο όψιμος, 4:1 πολυπλέκτης παράκαμψης (late bypass multiplexer) επιλέγει ένα αποτέλεσμα είτε από τα δύο αποτελέσματα που επιστρέφονται από την κρυφή μνήμη δεδομένων (data cache), είτε το αποτέλεσμα του μεσαίου πολυπλέκτη, είτε τον άμεσο τελεστέο που ορίζει η επόμενη εντολή. Η έξοδος του όψιμου πολυπλέκτη παράκαμψης οδηγείται πίσω, στην ALU, ώστε να χρησιμοποιείται για τον επόμενο κύκλο. Επειδή οι έξι ALU και οι πολυπλέκτες παράκαμψης καταλαμβάνουν σημαντική επιφάνεια, το κρίσιμο μονοπάτι χρησιμοποιεί επίσης αγωγούς 2 mm από τον πολυπλέκτη αποτελεσμάτων έως το μεσαίο πολυπλέκτη παράκαμψης και από το μεσαίο πολυπλέκτη προς τον όψιμο πολυπλέκτη παράκαμψης. (Σημείωση: Στον Itanium 2, το μονοπάτι αυτο-παράκαμψης της ALU κατασκευάζεται από κυκλώματα domino (διαδοχικής επίδρασης) 4 φάσεων, ανεκτικά σε χρονική απόκλιση ρολογιού. Για τους σκοπούς του παραδείγματός μας, θα υποθέσουμε ότι έχει κατασκευαστεί με στατική λογική και flip-flop ή μανδαλωτές).

Οι καθυστέρησις διάδοσης και μόλυνσης του μονοπατιού αναφέρονται στον Πίνακα 10.2. Θα υποθέσουμε ότι οι καταχωρητές έχουν κατασκευαστεί με flip-flop τα οποία έχουν χρόνο αποκατάστασης 62 ps, χρόνο συγκράτησης 10 ps, καθυστέρηση διάδοσης 90 ps και καθυστέρηση μόλυνσης 75 ps. Ζητείται να υπολογιστεί ο ελάχιστος χρόνος κύκλου  $T_c$  στον οποίο το κύκλωμα αυτο-παράκαμψης της ALU θα λειτουργεί σωστά.

**ΛΥΣΗ:** Για το κρίσιμο μονοπάτι έχουμε τις καθυστέρησις διάδοσης διαμέσου του αθροιστή (590 ps), του πολυπλέκτη αποτελεσμάτων (60 ps), του μεσαίου πολυπλέκτη παράκαμψης (80 ps), του όψιμου πολυπλέκτη παράκαμψης (70 ps), και των δύο αγωγών 2-mm (100 ps έκαστος) - δηλαδή, σύνολο  $t_{pd} = 1000$  ps. Σύμφωνα με την Εξ.(10.1), ο χρόνος κύκλου  $T_c$  πρέπει να είναι τουλάχιστον  $90 + 1000 + 62 = 1152$  ps.



(a)



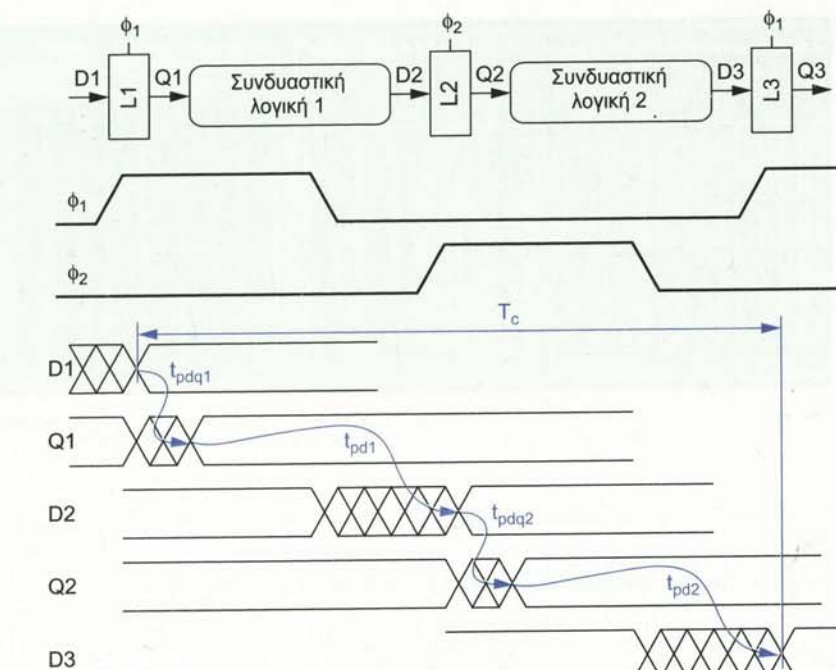
(b)

ΣΧΗΜΑ 10.6 Μονοπάτι αυτο-παράκαμψης στην ALU του Itanium 2 (© IEEE 2002).

ΠΙΝΑΚΑΣ 10.2 Καθυστέρησης συνδυαστικής λογικής

Στοιχείο	Καθυστέρηση Διάδοσης	Καθυστέρηση Μόλυνσης
Αθροιστής	590 ps	100 ps
Πολυπλέκτης Αποτελεσμάτων	60 ps	35 ps
Πρώτος πολυπλέκτης παράκαμψης	110 ps	95 ps
Μεσαίος πολυπλέκτης παράκαμψης	80 ps	55 ps
Όψιμος πολυπλέκτης παράκαμψης	70 ps	45 ps
Άγωγος 2 mm	100 ps	65 ps

Το Σχήμα 10.7 παρουσιάζει τους ανάλογους περιορισμούς σ' ένα μονοπάτι που χρησιμοποιεί δύο διαφανείς μανδαλωτές 2 φάσεων. Ας υποθέσουμε ότι τα δεδομένα  $D1$  φτάνουν στο  $L1$  ενώ ο μανδαλωτής είναι διαφανής (το  $\phi_1$  σε υψηλή στάθμη). Τα δεδομένα διαδίδονται διαμέσου του  $L1$ , της πρώτης δομής συνδυαστικής λογικής, του  $L2$ , και της δεύτερης δομής συνδυαστικής λογικής. Από τεχνικής σκοπιάς, το  $D3$  θα μπορούσε να φτάσει με καθυστέρηση ίση με το χρόνο αποκατάστασης, πριν από την καθοδική ακμή του  $\phi_1$  και παρόλα αυτά να δειγματοληπτηθεί σωστά από το  $L3$ . Ωστόσο, για λόγους ορθότητας θα επιμείνουμε ότι, ονομαστικά, το  $D3$  φτάνει με καθυστέρηση όχι περισσότερη από μια περίοδο ρολογιού μετά από το  $D1$ , επειδή, σε επίπεδο συνολικής σχεδίασης, είναι αδύνατο το κάθε μονοπάτι μονού κύκλου ρολογιού να καταναλώνει περισσότερο από μια πλήρη περίοδο ρολογιού. Ορισμένα μονοπάτια μπορεί να καθυστέρησουν περισσότερο εάν κάποια άλλα μονοπάτια χρησιμοποιήσουν λιγότερο χρόνο. Αυτή



ΣΧΗΜΑ 10.7 Περιορισμός μέγιστης καθυστέρησης σε μανδαλωτή 2 φάσεων.

η τεχνική αποκαλείται «δανεισμός χρόνου» (time borrowing) και θα περιγραφεί στην Ενότητα 10.2.4. Υποθέτοντας ότι το μονοπάτι δεν χρησιμοποιεί περισσότερο χρόνο από έναν κύκλο, διαπιστώνουμε ότι ο χρόνος ρολογιού θα πρέπει να είναι

$$T_c \geq t_{pdq} + t_{pd1} + t_{pdq2} + t_{pd2} \quad (10.3)$$

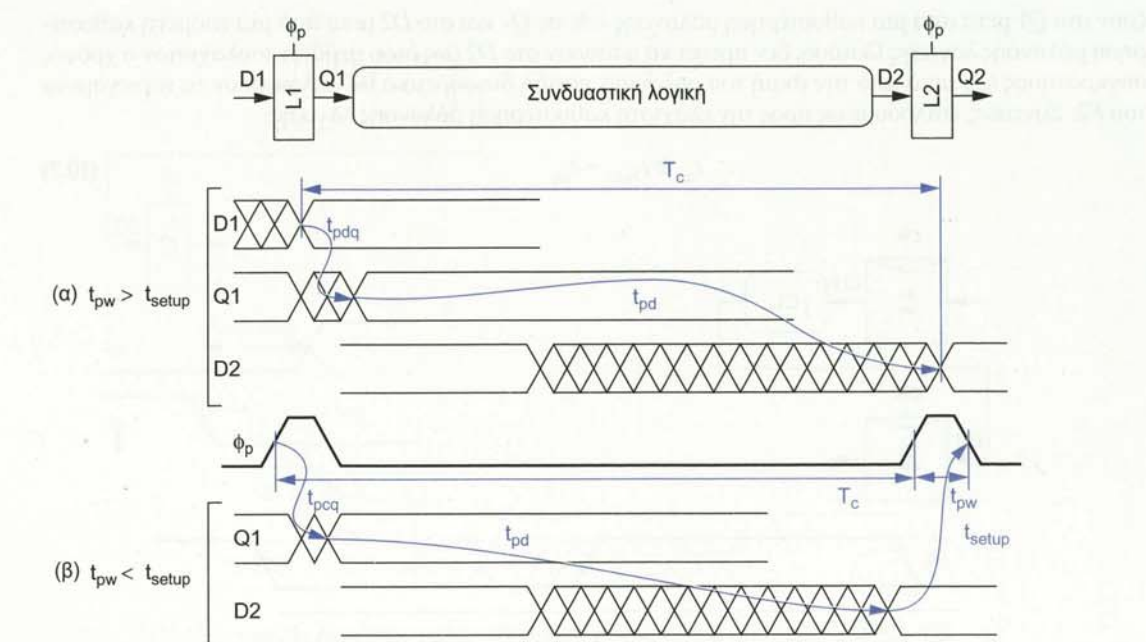
Και σ' αυτή την περίπτωση, μπορούμε να επιλύσουμε την εξίσωση ως προς τη μέγιστη λογική καθυστέρηση, η οποία είναι το άθροισμα των λογικών καθυστερήσεων κάθε μιας από τις δύο φάσεις. Η ακολουθική επιβάρυνση αποτελείται από τις καθυστερήσεις διάδοσης των δύο μανδαλωτών. Παρατηρήστε ότι η μη-επικαλύψη των ρολογιών δεν υποβαθμίζει την απόδοση στα βασιζόμενα σε μανδαλωτή συστήματα, επειδή τα δεδομένα συνεχίζουν να διαδίδονται διαμέσου της συνδυαστικής λογικής μεταξύ των μανδαλωτών ακόμα και κατά τη διάρκεια που τα δύο ρολόγια είναι σε χαμηλή στάθμη. Αντιλαμβανόμενοι ότι ένα flip-flop μπορεί να κατασκευαστεί με δύο μανδαλωτές, των οποίων οι καθυστερήσεις καθορίζουν την καθυστέρηση διάδοσης του flip-flop και το χρόνο αποκατάστασης, διαπιστώνουμε ότι η Εξ. (10.4) έχει μεγάλο βαθμό ομοιότητας με την Εξ. (10.2).

$$t_{pd} = t_{pd1} + t_{pd2} \leq T_c - \underbrace{\left( 2t_{pdq} \right)}_{\text{ακολουθιακή επιβάρυνση}} \quad (10.4)$$

Ο περιορισμός μέγιστης καθυστέρησης για παλμικούς μανδαλωτές είναι παρόμοιος με αυτόν για τους μανδαλωτές 2 φάσεων, εκτός από το γεγονός ότι μόνο ο ένας εξ αυτών βρίσκεται στο κρίσιμο μονοπάτι, όπως υποδεικνύεται στο Σχήμα 10.8(a). Ωστόσο, εάν ο παλμός έχει πιο περιορισμένο εύρος (πλάτος) από το χρόνο αποκατάστασης, τα δεδομένα θα πρέπει να αποκατασταθούν πριν ανέλθει ο παλμός, όπως απεικονίζεται στο Σχήμα 10.8(b). Συνδυάζοντας αυτές τις δύο περιπτώσεις έχουμε

$$T_c \geq \max(t_{pdq} + t_{pd}, t_{pq} + t_{pd} + t_{setup} - t_{pw}) \quad (10.5)$$

Επιλύοντας ως προς τη μέγιστη καθυστέρηση λογικής, διαπιστώνουμε ότι η ακολουθιακή επιβάρυνση είναι ίση με την καθυστέρηση ενός μανδαλωτή εάν ο παλμός έχει επαρκές εύρος ώστε να «κρύψει» το χρόνο αποκατάστασης



ΣΧΗΜΑ 10.8 Περιορισμός μέγιστης καθυστέρησης σε παλμικό μανδαλωτή.

$$t_{pd} \leq T_c - \underbrace{\max(t_{pdq}, t_{pq} + t_{setup} - t_{pw})}_{\text{ακολουθιακή επιβάρυνση}} \quad (10.6)$$

## Παράδειγμα 10.2

Υπολογίστε εκ νέου τους χρόνους κύκλου του μονοπατιού αυτο-παράκαμψης της ALU, εάν το flip-flop αντικατασταθεί από έναν παλμικό μανδαλωτή. Ο παλμικός μανδαλωτής έχει πλάτος παλμού 150 ps, χρόνο αποκατάστασης 40 ps, χρόνο συγκράτησης 5 ps, καθυστέρηση διάδοσης clk-σε-Q 82 ps, καθυστέρηση μόλυνσης 52 ps, και καθυστέρηση διάδοσης D-σε-Q 92 ps.

**ΛΥΣΗ:** Το  $t_{pd}$  συνεχίζει να είναι 1000 ps. Σύμφωνα με την Εξίσωση (10.5), ο χρόνος κύκλου θα πρέπει να είναι τουλάχιστον  $92 + 1000 = 1092$  ps.

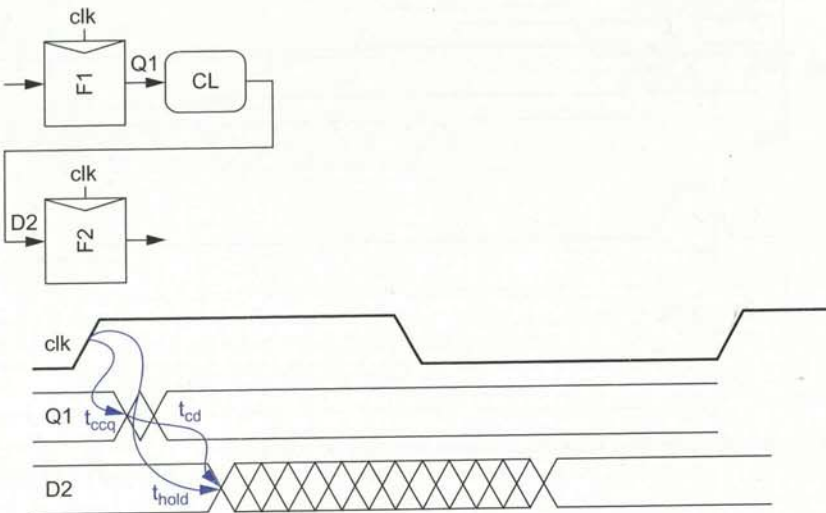
### 10.2.3 Περιορισμός ελάχιστης καθυστέρησης

Στην ιδανική περίπτωση, τα ακολουθιακά στοιχεία μπορούν να τοποθετούνται «πλάτη με πλάτη» (με άμεση σύνδεση εξόδου σε είσοδο) και να λειτουργούν χωρίς πρόβλημα. Για παράδειγμα, μια δομή διαδοχικής διοχέτευσης μπορεί να χρησιμοποιεί καταχωρητές συνδεδεμένους κατ' αυτό τον τρόπο για να περνάνε έναν κωδικό (opcode) εντολής χωρίς να τον τροποποιεί. Ωστόσο, εάν ο χρόνος αποκατάστασης είναι μεγάλος και η καθυστέρηση μόλυνσης μικρή, τα δεδομένα μπορεί να διαδοθούν σε δύο διαδοχικά στοιχεία στην ίδια ακμή του ρολογιού, αλλούντας την κατάσταση του συστήματος. Αυτό αποκαλείται «κατάσταση ανταγωνισμού» (race condition), αστοχία χρόνου συγκράτησης, ή αστοχία ελάχιστης καθυστέρησης. Μπορεί να διορθωθεί μόνο με επανασχεδίαση της λογικής – όχι με επιβράδυνση του ρολογιού. Συνεπώς, οι σχεδιαστές θα πρέπει να είναι αρκετά συντριπτικοί ώστε να αποφεύγουν τέτοιες καταστάσεις, επειδή η τροποποίηση και εκ νέου κατασκευή του ολοκληρωμένου είναι εξαιρετικά (έως ολέθρια) δαπανηρή και χρονοβόρα.

Το Σχήμα 10.9 παρουσιάζει τους χρονικούς περιορισμούς της ελάχιστης καθυστέρησης σ' ένα μονοπάτι από ένα flip-flop στο επόμενο, υποθέτοντας ιδανικά ρολόγια χωρίς χρονική απόκλιση. Το μονοπάτι ξεκινά από την ανοδική ακμή του ρολογιού που σκανδαλίζει το F1. Τα δεδομένα μπορεί ν' αρχίσουν να αλλά-

ζουν στο  $Q1$  μετά από μια καθυστέρηση μόλυνσης «clk-σε-Q» και στο  $D2$  μετά από μια επόμενη καθυστέρηση μόλυνσης λογικής. Ωστόσο, δεν πρέπει να φτάσουν στο  $D2$  έως ότου περάσει τουλάχιστον ο χρόνος συγκράτησης  $t_{hold}$  μετά από την ακμή του ρολογιού, επειδή διαφορετικά θα αλλοιώσουν τα περιεχόμενα του  $F2$ . Συνεπώς, επλέουμε ως προς την ελάχιστη καθυστέρηση μόλυνσης λογικής:

$$t_{ad} \geq t_{hold} - t_{cq} \quad (10.7)$$



ΣΧΗΜΑ 10.9 Περιορισμός ελάχιστης καθυστέρησης σε μανδαλωτή με flip-flop.

### Παράδειγμα 10.3

Στο παράδειγμα αυτο-παράκαμψης με flip-flop, στην ALU του Σχήματος 10.6, η είσοδος που φτάνει νωρίτερα απ' όλες στον τελευταίο πολυπλέκτη παράκαμψης είναι η  $imm$ , η οποία έρχεται από ένα άλλο flip-flop. Είναι πιθανό να εμφανιστούν αστοχίες χρόνου συγκράτησης στο συγκεκριμένο μονοπάτι;

**ΛΥΣΗ:** Όχι. Ο τελευταίος πολυπλέκτης παράκαμψης έχει  $t_{cd} = 45ps$ . Τα flip-flop έχουν  $t_{hold} = -10ps$  και  $t_{cq} = 75ps$ . Συνεπώς, οι απαιτήσεις της Εξ. (10.7) ικανοποιούνται.

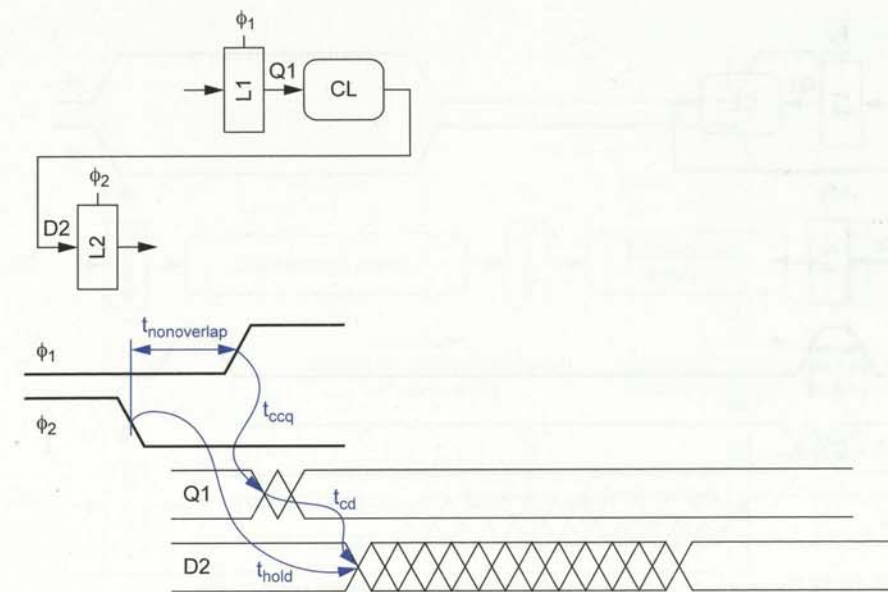
Εάν η καθυστέρηση μόλυνσης του flip-flop υπερβαίνει το χρόνο συγκράτησης, μπορείτε εκ του ασφαλείας να χρησιμοποιήσετε flip-flop συνδεδεμένα «πλάτη-με-πλάτη». Διαφορετικά, θα πρέπει να προσθέσετε συγκεκριμένες καθυστερήσεις μεταξύ των flip-flop (π.χ. χρησιμοποιώντας απομονωτές), ή να χρησιμοποιήσετε αργά flip-flop, τα οποία έχουν μεγαλύτερη από την κανονική καθυστέρηση μόλυνσης, στα μονοπάτια που απαιτούν flip-flop συνδεδεμένα «πλάτη-με-πλάτη». Ένα κοινό παράδειγμα μονοπατιών με flip-flop συνδεδεμένα «πλάτη-με-πλάτη» είναι οι αλυσίδες σάρωσης (scan chains).

Το Σχήμα 10.10 παρουσιάζει τους περιορισμούς ελάχιστης καθυστέρησης σ' ένα μονοπάτι από ένα διαφανή μανδαλωτή στον επόμενο. Το μονοπάτι ξεκινά με τα δεδομένα να διέρχονται από τον  $L1$  στην ανοδική ακμή του  $\phi_1$ . Τα δεδομένα δεν πρέπει να φτάσουν στον  $L2$  για διάστημα ίσο με το χρόνο συγκράτησης μετά από την προηγούμενη καθοδική ακμή του  $\phi_2$ , επειδή ο  $L2$  θα πρέπει να έχει γίνει εκ του ασφαλείας αδιαφανής πριν ο  $L1$  γίνει διαφανής. Δεδομένου ότι η χρονική απόσταση μεταξύ των ακμών είναι  $t_{nonoverlap}$ , η ελάχιστη καθυστέρηση μόλυνσης για κάθε φάση λογικής είναι

$$t_{ad1}, t_{ad2} \geq t_{hold} - t_{cq} - t_{nonoverlap} \quad (10.8)$$

(Σημειώστε ότι παρόλο που το αποτέλεσμα μας βρήκε την ελάχιστη καθυστέρηση για το πρώτο μισό κύκλου ρολογιού, το δεύτερο μισό κύκλου ρολογιού υπόκειται στον ίδιο περιορισμό).

Το συγκεκριμένο αποτέλεσμα υποδεικνύει ότι κάνοντας το  $t_{nonoverlap}$  επαρκώς μεγάλο, η αστοχία χρόνου συγκράτησης μπορεί να αποφευχθεί εντελώς. Ωστόσο, η παραγωγή και η διανομή ρολογιών χωρίς επικά-



ΣΧΗΜΑ 10.10 Περιορισμός ελάχιστης καθυστέρησης σε μανδαλωτή 2 φάσεων.

λυψη είναι δύσκολη σε μεγάλες ταχύτητες. Για το λόγο αυτό, τα περισσότερα καταναλωτικά συστήματα που βασίζονται σε διαφανείς μανδαλωτές χρησιμοποιούν το ρολόι και το συμπλήρωμά του. Σ' αυτή την περίπτωση,  $t_{nonoverlap}=0$  και ο περιορισμός της καθυστέρησης μόλυνσης είναι ίδιος μεταξύ των μανδαλωτών και των flip-flop.

Αυτό, όμως, μας οδηγεί σ' ένα φαινομενικό παράδοξο. Ο περιορισμός της καθυστέρησης μόλυνσης ισχύει για κάθε φάση λογικής στα συστήματα που βασίζονται σε μανδαλωτές, αλλά στο συνολικό κύκλο λογικής για τα flip-flop. Ως εκ τούτου, οι μανδαλωτές δείχνουν να απαιτούν διπλάσια συνολική καθυστέρηση μόλυνσης λογικής συγκριτικά με τα flip-flop. Ωστόσο, τα flip-flop μπορούν να κατασκευάζονται μ' ένα ζεύγος μανδαλωτών! Το παράδοξο αίρεται εάν παρατηρήσουμε ότι ένα flip-flop εμπεριέχει μια εσωτερική κατάσταση ανταγωνισμού μεταξύ των δύο μανδαλωτών. Το flip-flop πρέπει να σχεδιάζεται με προσοχή, ώστε να λειτουργεί πάντα αξιόπιστα.

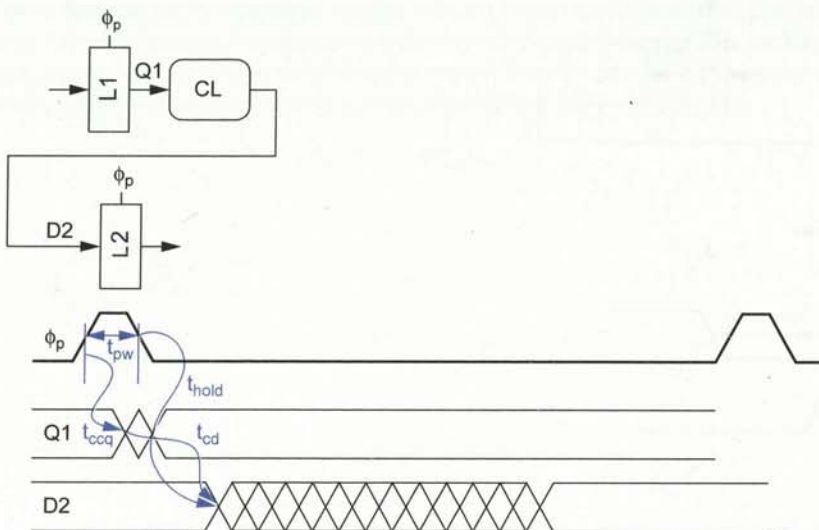
Το Σχήμα 10.11 παρουσιάζει τους περιορισμούς ελάχιστης καθυστέρησης σ' ένα μονοπάτι από έναν παλμικό μανδαλωτή στον επόμενο. Τώρα, τα δεδομένα αναχωρούν στην ανοδική ακμή του παλμού, αλλά θα πρέπει να συγκρατηθούν έως ότου παρέλθει η καθοδική ακμή του παλμού. Δηλαδή, το πλάτος του παλμού ουσιαστικά αυξάνει το χρόνο συγκράτησης του παλμικού μανδαλωτή συγκριτικά μ' ένα flip-flop.

$$t_{ad} \geq t_{hold} - t_{cq} + t_{pw} \quad (10.9)$$

### Παράδειγμα 10.4

Εάν στο μονοπάτι αυτο-παράκαμψης της ALU χρησιμοποιηθούν μανδαλωτές αντί των flip-flop, θα υπάρξουν προβλήματα οφειλόμενα στο χρόνο συγκράτησης;

**ΛΥΣΗ:** Ναι. Ο τελευταίος πολυπλέκτης παράκαμψης έχει  $t_{cd} = 45 ps$ . Οι παλμικοί μανδαλωτές έχουν  $t_{pw}=150 ps$ ,  $t_{hold}=5 ps$  και  $t_{cq}=52 ps$ . Αυτό σημαίνει ότι έχουμε κατάφωρη παραβίαση της Εξ. (10.9). Η  $Src_1$  μπορεί να λάβει το  $imm$  από την επόμενη εντολή αντί της τρέχουσας. Το πρόβλημα θα μπορούσε να λυθεί με την προσθήκη απομονωτών μετά από το μανδαλωτή που παλμοδοτείται με το σήμα  $imm$ . Οι απομονωτές θα έπρεπε να προσθέτουν ελάχιστη καθυστέρηση ίση με  $t_{hold} - t_{cq} + t_{pw} - t_{cd} = 58 ps$ . Εναλλακτικά, ο μανδαλωτής που παλμοδοτείται με το  $imm$  θα μπορούσε να αντικατασταθεί μ' ένα flip-flop χωρίς να επιβραδυθεί το κρίσιμο μονοπάτι. Εάν τα flip-flop σχεδιάζονταν με πολύ μεγάλη καθυστέρηση μόλυνσης ( $> 110 ps$ ), θα αποτέλεσαν η κατάσταση ανταγωνισμού.



ΣΧΗΜΑ 10.11 Περιορισμός ελάχιστης καθυστέρησης σε παλμικό μανδαλωτή.

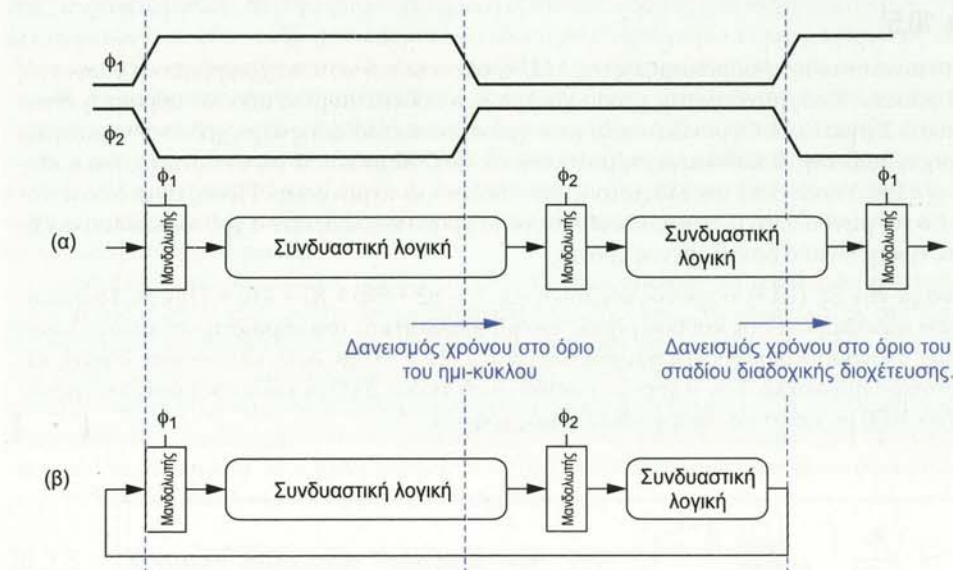
#### 10.2.4 Δανεισμός χρόνου

Σ' ένα σύστημα που χρησιμοποιεί flip-flop, τα δεδομένα αναχωρούν από το πρώτο flip-flop κατά την ανοδική ακμή του ρολογιού και θα πρέπει να αποκατασταθούν στο δεύτερο flip-flop πριν από την επόμενη ανοδική ακμή του ρολογιού. Εάν τα δεδομένα φτάσουν καθυστερημένα, το κύκλωμα θα παράγει λάθος αποτελέσματα. Εάν φτάσουν πολύ νωρίς, θα μπλοκαριστούν έως την επόμενη ακμή του ρολογιού, και ο υπόλοιπος χρόνος θα πάει χαμένος. Συνεπώς, μπορούμε να πούμε ότι το ρολόι επιβάλει μια «απότομη» ακμή (hard edge), επειδή ορίζει επακριβώς τους κύκλους.

Εν αντιθέσει, όταν ένα σύστημα χρησιμοποιεί διαφανείς μανδαλωτές, τα δεδομένα μπορεί να αποχωρήσουν από τον πρώτο μανδαλωτή κατά την ανοδική ακμή του ρολογιού, αλλά δεν χρειάζεται να αποκατασταθούν μέχρι την καθοδική ακμή στον επόμενο μανδαλωτή. Εάν ένας χρόνος ημι-κύκλου ή ένα στάδιο μιας διαδοχικής διοχέτευσης χρησιμοποιεί πολλή λογική, μπορεί να δανειστεί χρόνο από το επόμενο στάδιο ή ημι-κύκλο, όπως απεικονίζεται στο Σχήμα 10.12(α) [Bernstein99]. Ο δανεισμός χρόνου μπορεί να συσσωρευτεί με την πάροδο των κύκλων. Ωστόσο, σε συστήματα με ανάδραση, οι μεγάλες καθυστέρησεις θα πρέπει να εξισορροπούνται από μικρές καθυστέρησεις, έτσι ώστε ο συνολικός βρόχος να ολοκληρωθεί μέσα στο διαθέσιμο χρόνο. Για παράδειγμα, το Σχήμα 10.12(β) παρουσιάζει ένα βρόχο αυτο-παράκαμψης του ενός κύκλου, στον οποίο συμβαίνει δανεισμός χρόνου μεταξύ των ημι-κύκλων, αλλά ολόκληρο το μονοπάτι πρέπει να χωράει σ' έναν κύκλο. Ένα τυπικό παράδειγμα βρόχου αυτο-παράκαμψης είναι το στάδιο εκτέλεσης ενός επεξεργαστή με διαδοχική διοχέτευση, στον οποίο η ALU θα πρέπει να ολοκληρώσει μια λειτουργία και να στείλει (μέσω παράκαμψης) το αποτέλεσμα πίσω, στην ALU, για χρήση σε κάποια εντολή που εξαρτάται από αυτό το αποτέλεσμα. Τα περισσότερα κρίσιμα μονοπάτια στα ψηφιακά συστήματα προκύπτουν σε βρόχους αυτο-παράκαμψης, επειδή διαφορετικά η καθυστέρηση δεν μας ενδιαφέρει.

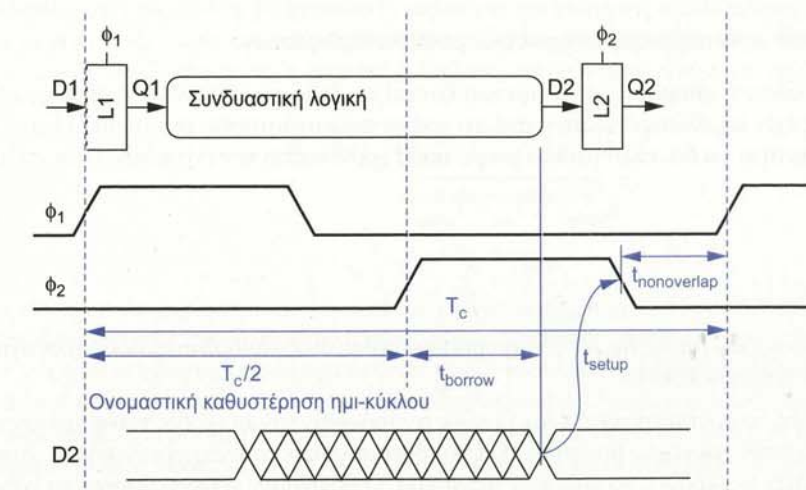
Το Σχήμα 10.13 απεικονίζει το μέγιστο ποσό χρόνου που μπορεί να δανειστεί ένα σύστημα βασισμένο σε μανδαλωτές 2 φάσεων (πέρα από το  $T_c/2 - t_{pdq}$  που είναι κανονικά διαθέσιμο σε κάθε ημι-κύκλο λογικής). Επειδή τα δεδομένα δεν χρειάζεται να αποκατασταθούν μέχρι την καθοδική ακμή του ρολογιού των μανδαλωτή προορισμού, μια φάση μπορεί να δανειστεί έως έναν ημι-κύκλο χρόνου από την επόμενη φάση (μείον το χρόνο αποκατάστασης και μη-επικάλυψης):

$$t_{borrow} \leq \frac{T_c}{2} - (t_{setup} + t_{nonoverlap}) \quad (10.10)$$



Οι βρόχοι μπορούν να δανείζονται χρόνο εσωτερικά, αλλά θα πρέπει να ολοκληρώνονται εντός του κύκλου.

ΣΧΗΜΑ 10.12 Δανεισμός χρόνου

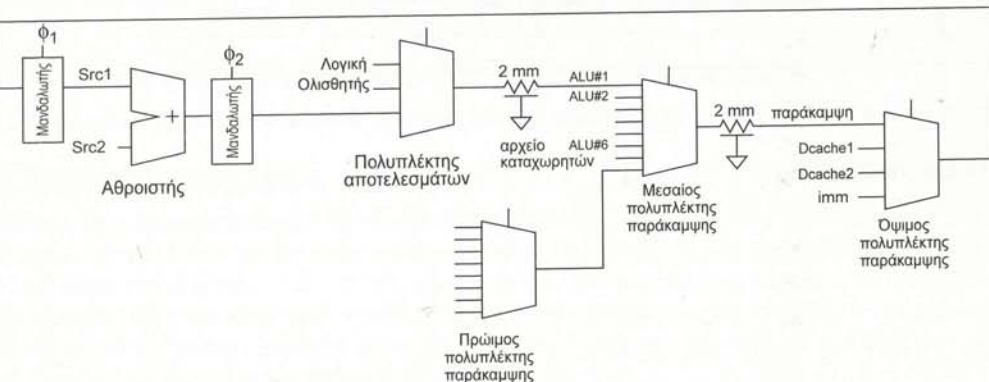


ΣΧΗΜΑ 10.13 Μέγιστο ποσό δανειζόμενου χρόνου.

### Παράδειγμα 10.5

Υποθέστε ότι το μονοπάτι αυτο-παράκαμψης της ALU τροποποιείται ώστε να χρησιμοποιεί διαφανείς μανδαλωτές 2 φάσεων. Ένας μανδαλωτής μέσου-κύκλου  $\varphi_2$  τοποθετείται μετά από τον αθροιστή, όπως παρουσιάζεται στο Σχήμα 10.14. Οι μανδαλωτές έχουν χρόνο αποκατάστασης 40 ps, χρόνο συγκράτησης 5 ps, καθυστέρηση διάδοσης & καθυστέρηση μόλις 82 ps και 52 ps, αντίστοιχα, και καθυστέρηση  $D$ -σε- $Q$  82 ps. Υπολογίστε τον ελάχιστο χρόνο κύκλου για το μονοπάτι. Πόσος είναι ο δανειζόμενος χρόνος έως το μανδαλωτή μέσου-κύκλου μ' αυτό το χρόνο κύκλου; Εάν ο χρόνος κύκλου αυξηθεί στα 2000 ps, πόσος είναι ο δανειζόμενος χρόνος;

**ΛΥΣΗ:** Σύμφωνα με την Εξ. (10.3), ο χρόνος κύκλου είναι  $T_c = 82 + 590 + 82 + 410 = 1164$  ps. Το πρώτο μισό του κύκλου περιλαμβάνει τις καθυστέρησεις του μανδαλωτή και του αθροιστή και καταναλώνει  $82 + 590 = 672$  ps. Ο ονομαστικός χρόνος ημι-κύκλου είναι  $T_c/2 = 582$  ps. Άρα, το μονοπάτι δανειζεται 90 ps από το δεύτερο ημι-κύκλο. Εάν ο χρόνος κύκλου αυξηθεί στα 2000 ps και ο ονομαστικός χρόνος ημι-κύκλου γίνεται 1000 ps, παύει να υπάρχει δανεισμός χρόνου.



ΣΧΗΜΑ 10.14 Το μονοπάτι αυτο-παράκαμψης της ALU με μανδαλωτές 2 φάσεων.

Οι παλμικοί μανδαλωτές μπορούν να αντιμετωπίζονται ως διαφανείς μανδαλωτές με πολύ στενό παλμό. Εάν ο παλμός έχει μεγαλύτερο πλάτος από το χρόνο αποκατάστασης, οι παλμικοί μανδαλωτές έχουν επίσης τη δυνατότητα να δανειζούνται ένα μικρό ποσό χρόνου από τον ένα κύκλο στον επόμενο.

$$t_{borrow} \leq t_{pw} - t_{setup} \quad (10.11)$$

### Παράδειγμα 10.6

Εάν το μονοπάτι αυτο-παράκαμψης της ALU χρησιμοποιεί παλμικούς μανδαλωτές, πόσο χρόνο μπορεί να δανειστεί από τον επόμενο κύκλο;

**ΛΥΣΗ:** Καθόλου. Επειδή το μονοπάτι είναι ένας βρόχος ανάδρασης, εάν οι έξοδοι του φτάσουν καθυστέρημένα και δανειστούν χρόνο, το μονοπάτι θα ξεκινήσει αργότερα στον επόμενο κύκλο. Αυτό, με τη σειρά του, αναγκάζει τις εξόδους να φτάσουν αργότερα. Ο δανεισμός χρόνου μπορεί να χρησιμοποιείται για την εξισορρόπηση της λογικής εντός των σταδίων σε μία δομή διαδοχικής διοχέτευσης αλλά δεν αυξάνεται το ποσό του χρόνου που είναι διαθέσιμο σ' έναν κύκλο του ρολογιού, παρόλο που οι σχεδιαστές θα το ήθελαν πολύ.

Ο δανεισμός χρόνου προσφέρει δύο πλεονεκτήματα στο σχεδιαστή συστημάτων. Το πλέον προφανές είναι ο εσκεμμένος δανεισμός χρόνου, διά του οποίου ο σχεδιαστής μπορεί να ισοσταθμίσει ευκολότερα τη λογική μεταξύ ημι-κύκλων και σταδίων διαδοχικής διοχέτευσης. Αυτό μπορεί να οδηγήσει στη συντόμευση του χρόνου σχεδίασης, επειδή η ισοστάθμιση μπορεί να λάβει χώρα κατά τη διαδικασία σχεδία-

σης των κυκλωμάτων, αντί να απαιτήσει αλλαγές στο επίπεδο της μικροαρχιτεκτονικής, για τη μεταφορά λειτουργιών από ένα στάδιο στο επόμενο. Το δεύτερο πλεονέκτημα είναι ο ευκαιριακός δανεισμός χρόνου. Ακόμα κι αν ο σχεδιαστής ισοσταθμίσει με προσοχή την καθυστέρηση σε κάθε στάδιο κατά το χρόνο σχεδίασης, οι καθυστέρησεις θα διαφέρουν από το ένα στάδιο στο επόμενο στο τελικό, κατασκευασμένο chip, λόγω κατασκευαστικών και περιβαλλοντικών διακυμάνσεων και πιθανών ανακριθεών στο μοντέλο χρονισμού που χρησιμοποιεί το σύστημα CAD. Σ' ένα σύστημα με απότομες ακμές, ο μεγαλύτερος κύκλος θέτει την ελάχιστη περίοδο ρολογιού. Σ' ένα σύστημα με δυνατότητα δανεισμού χρόνου, οι αργοί κύκλοι μπορούν, ευκαιριακά, να δανειζούνται χρόνο από άλλους, ταχύτερους κύκλους, ώστε να εξομαλύνονται σε κάποιο βαθμό οι διαφορές.

Ορισμένοι έμπειροι επόπτες ομάδων σχεδίασης απαγορεύουν τη χρήση του εσκεμμένου δανεισμού χρόνου έως ότου το chip φτάσει στη κατάσταση ολοκλήρωσης. Διαφορετικά, οι σχεδιαστές τείνουν να υποθέτουν ότι τα στάδια διαδοχικής διοχέτευσης μπορούν να δανειζούνται χρόνο από τα γειτονικά στάδια. Όταν πολλοί σχεδιαστές κάνουν αυτές τις ιδιες υποθέσεις, όλα τα μονοπάτια γίνονται υπερβολικά μεγάλα. Ακόμα χειρότερα, το πρόβλημα μπορεί να παραμείνει κρυφό μέχρι να διεξαχθεί πλήρης ανάλυση χρονισμού του ολοκληρωμένου κυκλώματος και τότε είναι πάρα πολύ αργά για να σχεδιαστούν εκ νέου τόσα πολλά μονοπάτια. Μια άλλη λύση είναι να διεξάγεται ανάλυση χρονισμού συνολικά για το ολοκληρωμένο κύκλωμα από τις σημειώσεις στη διαδικασία σχεδίασης.

### 10.2.5 Χρονική Απόκλιση Ρολογιού

Στην έως τώρα ανάλυσή μας, βασιστήκαμε στην υπόθεση ότι χρησιμοποιούνται ιδανικά ρολόγια, χωρίς χρονική απόκλιση (skew). Στην πραγματικότητα, τα ρολόγια έχουν κάποια αβεβαιότητα στους χρόνους άφιξης, κάτιο το οποίο μπορεί να μειώσει το χρήσιμο χρόνο που είναι διαθέσιμο για τους υπολογισμούς, όπως απεικονίζεται στο Σχήμα 10.15(a). Η έντονη γραμμή  $clk$  υποδεικνύει τον χρόνο άφιξης με τη μέγιστη δυνατή καθυστέρηση. Οι διασταρούμενες γραμμές υποδεικνύουν ότι η άφιξη του ρολογιού μπορεί να εκτείνεται σ' ένα εύρος προηγούμενων τιμών, λόγω της χρονικής απόκλισης. Το χειριστικό σενάριο για τη μέγιστη καθυστέρηση σ' ένα σύστημα βασισμένο σε flip-flop είναι ότι το πρώτο flop δέχεται το ρολόι του αργά, ενώ το επόμενο flop δέχεται το ρολόι του νωρίς. Σ' αυτή την περίπτωση, η χρονική απόκλιση ρολογιού αφαιρείται από το χρήσιμο χρόνο που είναι διαθέσιμος για τους υπολογισμούς και εμφανίζεται ως ακολουθιακή επιβάρυνση. Το χειριστικό σενάριο για την ελάχιστη καθυστέρηση είναι το πρώτο flop να δέχεται το ρολόι του νωρίς και το επόμενο flop να δέχεται το ρολόι του αργά, όπως βλέπετε στο Σχήμα 10.15(b). Σ' αυτή την περίπτωση, η χρονική απόκλιση του ρολογιού πρακτικά αυξάνει το χρόνο συγκράτησης του συστήματος.

$$t_{pd} \leq T_c - \left( t_{pq} + t_{setup} + t_{skew} \right) \quad (10.12)$$

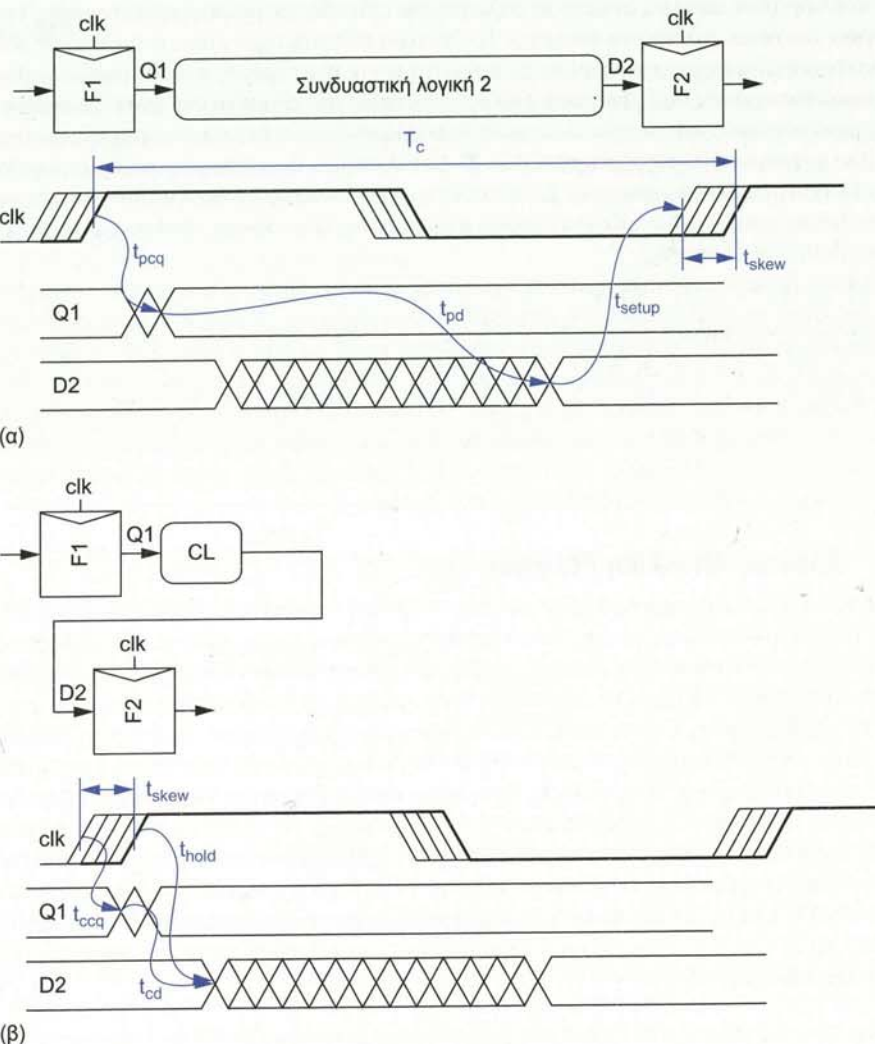
$$t_{ad} \geq t_{hold} - t_{aq} + t_{skew} \quad (10.13)$$

Στο σύστημα που χρησιμοποιεί διαφανείς μανδαλωτές, η χρονική απόκλιση δεν υποβαθμίζει την απόδοση. Το Σχήμα 10.16 δείχνει ότι ο πλήρης κύκλος (μείον δύο καθυστέρησεις μανδαλωτών) είναι διαθέσιμος για τους υπολογισμούς ακόμα κι όταν τα ρολόγια έχουν χρονική απόκλιση, επειδή τα δεδομένα μπορούν και πάλι να φτάσουν στους μανδαλωτές ενώσω είναι διαφανείς. Για το λόγο αυτό, μπορούμε να χαρακτηρίσουμε ένα σύστημα που βασίζεται σε μανδαλωτές ως «ανεκτικό στη χρονική απόκλιση». Ωστόσο, η χρονική απόκλιση πρακτικά αυξάνει το χρόνο συγκράτησης σε κάθε ημι-κύκλο και μειώνει το χρονικό παράθυρο που είναι διαθέσιμο για δανεισμό χρόνου.

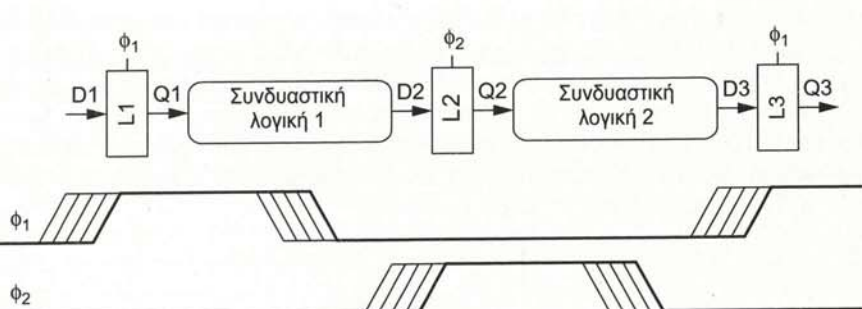
$$t_{pd} \leq T_c - \left( 2 t_{pdq} \right) \quad (10.14)$$

$$t_{ad1}, t_{ad2} \geq t_{hold} - t_{aq} - t_{nonoverlap} + t_{skew} \quad (10.15)$$

$$t_{borrow} \leq \frac{T_c}{2} - \left( t_{setup} + t_{nonoverlap} + t_{skew} \right) \quad (10.16)$$



ΣΧΗΜΑ 10.15 Χρονική απόκλιση ρολογιού και flip-flop.



ΣΧΗΜΑ 10.16 Χρονική απόκλιση και διαφανείς μανδαλωτές.

**Παράδειγμα 10.7**

Εάν το μονοπάτι αυτο-παράκαμψης της ALU του Σχήματος 10.6 μπορεί να υφίσταται χρονική απόκλιση 50 ps από έναν κύκλο στο επόμενο μεταξύ των διάφορων flip-flop στις ALU, ποιος είναι ο ελάχιστος χρόνος κύκλου του συστήματος; Πλούτη χρονική απόκλιση μπορεί να δεχθεί το σύστημα πριν προκύψει αστοχία στο χρόνο συγκράτησης;

**ΛΥΣΗ:** Σύμφωνα με την Εξίσωση (10.12), ο χρόνος κύκλου πρέπει να αυξηθεί από 50 ps σε 1202 ps. Η μέγιστη χρονική απόκλιση για την οποία το σύστημα μπορεί να λειτουργεί σωστά σε κάθε χρόνο κύκλου είναι  $t_{cd} - t_{hold} + t_{ccq} = 45 - (-10) + 75 = 130$  ps.

Οι παλμικοί μανδαλωτές μπορούν να ανέχονται χρονική απόκλιση ανάλογη με το πλάτος του παλμού. Εάν ο παλμός είναι αρκετά πλατύς, η χρονική απόκλιση δεν θα αυξήσει την ακολουθιακή επιβάρυνση, επειδή τα δεδομένα μπορούν να φτάσουν κατά τη διάρκεια που ο μανδαλωτής είναι διαφανής. Εάν ο παλμός είναι στενός, η χρονική απόκλιση μπορεί να μειώσει την απόδοση. Και σ' αυτή την περίπτωση, η χρονική απόκλιση πρακτικά αυξάνει το χρόνο συγκράτησης και μειώνει το χρόνο που είναι διαθέσιμος για δανεισμό (βλ. Άσκηση 10.7).

$$t_{pd} \leq T_c - \underbrace{\max(t_{pdq}, t_{pq} + t_{setup} - t_{pw} + t_{skew})}_{\text{ακολουθιακή επιβάρυνση}} \quad (10.17)$$

$$t_{cd} \geq t_{hold} + t_{pw} - t_{cq} + t_{skew} \quad (10.18)$$

$$t_{borrow} \leq t_{pw} - (t_{setup} + t_{skew}) \quad (10.19)$$

Συνοψίζοντας, τα συστήματα με απότομες ακμές (π.χ. flip-flop) αφαιρούν τη χρονική απόκλιση του ρολογιού από το χρόνο που είναι διαθέσιμος για χρήσιμους υπολογισμούς. Τα συστήματα με ομαλότερες ακμές (π.χ. μανδαλωτές) εκμεταλλεύονται το παράθυρο διαφάνειας για να ανέχονται κάποια χρονική απόκλιση χωρίς να αυξάνουν την ακολουθιακή επιβάρυνση. Θα εξετάσουμε περισσότερο τη χρονική απόκλιση του ρολογιού στην Ενότητα 12.5. Συγκεκριμένα, μπορούν να προϋπολογίζονται διαφορετικά ποσά χρονικής απόκλισης για τους ελέγχους ελάχιστης και μέγιστης καθυστέρησης. Επιπλέον, τα γειτονικά ακολουθιακά στοιχεία είναι πιθανό να βλέπουν λιγότερη χρονική απόκλιση απ' ότι αυτά που βρίσκονται στις αντίθετες γωνίες του ολοκληρωμένου. Παρόλο που τα σημειρινά, αυτοματοποιημένα εργαλεία τοποθέτησης και δρομολόγησης αναλόων σημαντική προσπάθεια για τη μοντελοποίηση των καθυστερήσεων των ρολογιών και την τοποθέτηση στοιχείων απομόνωσης με στόχο την ελαχιστοποίηση της χρονικής απόκλισης, η χρονική απόκλιση είναι ένα διαρκώς επιδεινούμενο πρόβλημα για τα συστήματα με «επιθετικό» κύκλους χρόνου.

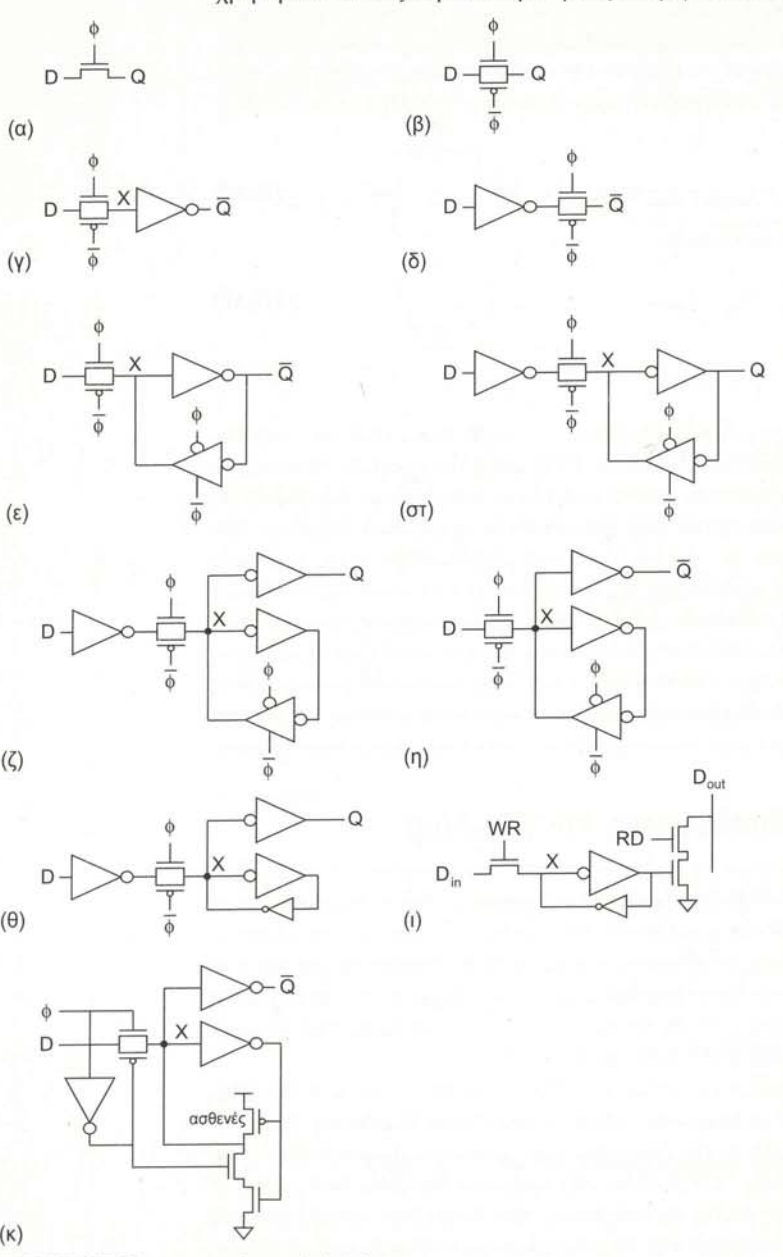
**10.3 Σχεδίαση Κυκλωμάτων για Μανδαλωτές και Flip-Flop**

Οι συμβατικοί μανδαλωτές CMOS κατασκευάζονται με τη χρήση τρανζίστορ περάσματος ή τρισταθών απομονωτών για το πέρασμα των δεδομένων ενόσω ο μανδαλωτής είναι διαφανής και ανάδραση για τη συγκράτηση (διατήρηση) των δεδομένων ενόσω ο μανδαλωτής είναι αδιαφανής. Θα ξεκινήσουμε εξετάζοντας τεχνικές σχεδίασης κυκλωμάτων για τους απλούς μανδαλωτές και κατόπιν θα επεκτείνουμε αυτά τα κυκλώματα, με στόχο την κατασκευή flip-flop και παλμικών μανδαλωτών. Αρκετοί μανδαλωτές δέχονται εισόδους επαναφοράς (reset) και/ή επίτρεψης (enable). Είναι επίσης δυνατό να ενσωματωθούν λογικές συναρτήσεις στους μανδαλωτές για τη μείωση της ακολουθιακής επιβάρυνσης.

Σε εμπορικές εφαρμογές χρησιμοποιούνται διάφορες εναλλακτικές δομές μανδαλωτών και flip-flop. Η αποκαλούμενη «τεχνική πραγματικού ρολογιού μιας φάσης» (True Single Phase Clocking) χρησιμοποιεί ένα ρολόι χωρίς αντιστροφές για την απλοποίηση της διανομής του ρολογιού. Το αποκαλούμενο ημι-δυναμικό flip-flop Klass (Semidynamic Flip Flop, SDFF) είναι ένα γρήγορο flip-flop που χρησιμοποιεί ένα στάδιο εισόδου λογικής domino. Από την άλλη, τα διαφορικά flip-flop είναι κατάλληλα για συγκεκριμένες εφαρμογές. Στη συνέχεια θα περιγράψουμε και θα συγκρίνουμε κάθε μία από αυτές τις εναλλακτικές υλοποιήσεις.

### 10.3.1 Συμβατικό Μανδαλωτές CMOS

Το Σχήμα 10.17(a) παρουσιάζει έναν πολύ απλό διαφανή μανδαλωτή κατασκευασμένο από ένα απλό τρανζίστορ. Είναι συμπαγής και γρήγορος, αλλά υποφέρει από τέσσερις περιορισμούς. Η έξοδος δεν ταλαντώνεται από γραμμή σε γραμμή (δηλαδή από  $V_{DD}$  σε  $V_{DD}$ ). Ποτέ δεν αυξάνει πάνω από  $V_{DD} - V_t$ . Επίσης η έξοδος είναι δυναμική. Με άλλα λόγια, η έξοδος αιωρείται όταν ο μανδαλωτής είναι διαφανής. Εάν αιωρείται για μεγάλο χρονικό διάστημα μπορεί να ταραχθεί από τη διαρροή (βλ. Ενότητα 9.3.3). Η  $D$  οδηγεί απευθείας την είσοδο διάχυσης του τρανζίστορ περάσματος, πράγμα το οποίο οδηγεί σε πιθανά θέματα θορύβου (βλ. Ενότητα 9.3.9) και κάνει πιο δύσκολη τη μοντελοποίηση της καθυστέρησης με στατικούς αναλυτές χρόνου. Τέλος, ο κόμβος κατάστασης εκθέτεται, έτσι ο θόρυβος στην έξοδο μπορεί να αλλοιώνει την κατάσταση. Τα υπόλοιπα Σχήματα παρουσιάζουν ορισμένους βελτιωμένους μανδαλωτές χρησιμοποιώντας περισσότερα τρανζίστορ για να επιτευχθεί πιο στιβαρή λειτουργία.



ΣΧΗΜΑ 10.17 Διαφανείς μανδαλωτές.

Το Σχήμα 10.17(β) χρησιμοποιεί μια πολή μετάδοσης CMOS στη θέση του μονού τρανζίστορ περάσματος nMOS για να προσφέρει μια πλήρη ταλάντωση από γραμμή-σε-γραμμή. Απαιτεί ένα συμπληρωματικό σήμα ρολογιού  $\bar{\phi}$ , το οποίο μπορεί να παρέχεται ως πρόσθετη είσοδος ή να δημιουργείται τοπικά από το  $\phi$  μέσω ενός αντιστροφέα. Το Σχήμα 10.17(γ) προσθέτει έναν αντιστροφέα είσοδου έτσι ώστε ο κόμβος κατάστασης  $X$  να απομονωθεί στην έξοδο από το θόρυβο. Ασφαλώς, αυτό δημιουργεί έναν ανάστροφο μανδαλωτή. Το Σχήμα 10.17(δ) επίσης συμπεριφέρεται ως ένας αντιστροφός μανδαλωτής με μια απομονωμένη είσοδο αλλά με μια έξοδο χωρίς απομόνωση. Όπως αναφέραμε στην Ενότητα 2.5.6 και 9.2.5.1, ο αντιστροφέας που ακολουθείται από μια πολή μετάδοσης είναι ουσιαστικά ισοδύναμος μ' ένα αντιστροφέα τριών καταστάσεων, αλλά έχει ελαφρώς χαμηλότερο λογικό φόρτο, επειδή η έξοδος οδηγείται και από τα δύο τρανζίστορ της πολής μετάδοσης παράλληλα. Και το (γ) και το (δ) είναι γρήγοροι δυναμικοί μανδαλωτές.

Στις σύγχρονες τεχνολογίες κατασκευής, η διαρροή υποκατωφλίου είναι τόσο μεγάλη ώστε οι δυναμικοί κόμβοι να διατηρούν τις τιμές τους για ένα σύντομο χρονικό διάστημα, ειδικά στις υψηλές θερμοκρασίες και τάσεις που συναντώνται κατά την καυτή λειτουργία δοκιμής. Για το λόγο αυτό, οι πρακτικοί μανδαλωτές απαιτούν να είναι στατικοί, προσθέτοντας κάποια ανάδραση για να αποφευχθεί να αιωρείται η έξοδος, όπως απεικονίζεται στο Σχήμα 10.17(ε). Όταν το ρολόι είναι «1», η πολή μετάδοσης της εισόδου μεταβαίνει σε κατάσταση OFF και ο μανδαλωτής είναι διαφανής. Όταν το ρολόι είναι «0», η πολή μετάδοσης της εισόδου μεταβαίνει σε κατάσταση OFF. Ωστόσο, το στοιχείο ανάδρασης τριών καταστάσεων γίνεται ON, διατηρώντας το  $X$  στα σωστά επίπεδα. Το Σχήμα 10.17(στ) προσθέτει έναν αντιστροφέα εισόδου, έτσι ώστε η είσοδος να είναι μια πολή τρανζίστορ και όχι περιοχή διάχυσης χωρίς απομόνωση. Δυστυχώς, τόσο στο (ε) όσο και το (στ) επανέρχεται η ενασιθησία της

εξόδου στο θόρυβο: μια μεγάλη αιχμή θορύβου στην έξοδο μπορεί να διαδοθεί προς τα πίσω, διαμέσου των πυλών ανάδρασης, και να αλλοιώσει την κατάσταση του κόμβου  $X$ . Το Σχήμα 10.17(ζ) παρουσιάζει έναν εύρωστο, διαφανή μανδαλωτή που αντιμετωπίζει επιτυχώς όλες τις προαναφερθείσες αδυναμίες. Ο μανδαλωτής είναι στατικός, όλοι οι κόμβοι μεταβάλλονται στο πλήρης εύρος του σήματος, από γραμμή σε γραμμή (swing rail-to-rail), ο θόρυβος κατάστασης απομονώνεται από το θόρυβο της εξόδου, και η εισοδος οδηγεί πόλες τρανζίστορ - όχι κόμβους διάχυσης. Ένας τέτοιος μανδαλωτής χρησιμοποιείται ευρέως σε εφαρμογές τυποποιημένων κυττάρων, συμπεριλαμβανομένης της βιβλιοθήκης τυποποιημένων κυττάρων Artisan [Artisan02]. Η χρήση του συνιστάται για όλα τα κυκλώματα, εκτός αυτών με κρίσιμες απαιτήσεις απόδοσης ή επιφάνειας.

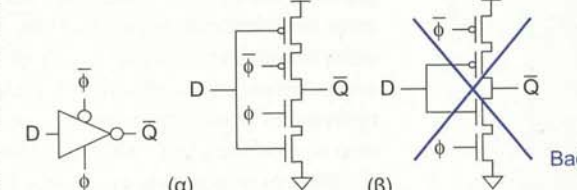
Σε εφαρμογές ημι-εξειδικευμένης κατασκευής, όπου ο θόρυβος της εισόδου μπορεί να ελεγχθεί καλύτερα, ο αντιστροφός μανδαλωτής του Σχήματος 10.17(η) μπορεί να είναι πιο αποδεκτός, επειδή είναι ταχύτερος και πιο συμπαγής. Για παράδειγμα, η Intel χρησιμοποιεί ως έναν τυποποιημένο μανδαλωτή διαδρόμου δεδομένων [Karnin01]. Το Σχήμα 10.17(θ) παρουσιάζει το μανδαλωτή «κάθετου» τύπου (jamb latch), μια παραλλαγή του (ζ) που μειώνει το φορτίο στο ρολόι και έχει δύο τρανζίστορ λιγότερα χρησιμοποιώντας έναν ασθενή αντιστροφέα ανάδρασης στη θέση του στοιχείου τριών καταστάσεων. Αυτό απαιτεί έναν προσεκτικό σχεδίαση κυκλώμάτων για να βεβαιωθούμε ότι το τριστάθες είναι αρκετά δυνατό για να υπερνικήσει τον αντιστροφέα ανάδρασης σε όλες τις κατασκευαστικές γωνίες. Το Σχήμα 10.17(ι) παρουσιάζει έναν άλλο μανδαλωτή «κάθετου» τύπου που χρησιμοποιείται συχνά σε συστοιχίες καταχωρητών και κόπταρα διατάξεων προγραμματίζομενων πολών (Field Programmable Gate Arrays, FPGA). Αρκετοί τέτοιοι μανδαλωτές συνδέονται μ' ένα μόνο αγωγό  $D_{out}$  και μόνο ένας ενεργοποιείται κάθε στιγμή, με το σήμα  $RD$ . Ο επεξεργαστής Itanium 2 χρησιμοποιεί το μανδαλωτή του Σχήματος 10.17(k) [Naffziger02]. Στη στατική ανάδραση, ο σωρός οδήγησης «κάτω» είναι χρονισμένος με το ρολόι, αλλά ο σωρός οδήγησης «πάνω» είναι ένα ασθενές τρανζίστορ pMOS. Συνεπώς, η πύλη που οδηγεί την είσοδο πρέπει να είναι αρκετά δυνατή για να υπερνικήσει την ανάδραση. Η βιβλιοθήκη κυττάρων του Itanium 2 περιέχει επίσης έναν παρόμοιο μανδαλωτή μ' έναν επιπρόσθετο αντιστροφέα εισόδου για να απομονώσει την είσοδο όταν η προηγούμενη πύλη είναι ασθενής ή αρκετά μακριά. Με τον αντιστροφέα εισόδου, ο μανδαλωτής μπορεί να αντιμετωπίσει ως μια διασταύρωση των σχεδιασέων που φαίνονται στο (ζ) και στο (θ). Ορισμένοι μανδαλωτές προσθέτουν έναν ακόμα αντιστροφέα για να παρέχουν και την αληθή αλλά και τη συμπληρωματική έξοδο.

Ο δυναμικός μανδαλωτής του Σχήματος 10.17(δ) μπορεί επίσης να σχεδιαστεί ως ένα τριστάθες στοιχείο χρονισμένο στο ρολόι, όπως απεικονίζεται στο Σχήμα 10.18(a). Μια τέτοια μορφή αποκαλείται μερικές φορές χρονισμένη CMOS (Clocked CMOS, C<sup>2</sup>MOS) [Suzuki73]. Η συμβατική μορφή που χρησιμοποιεί τον αντιστροφέα και την πολή μετάδοσης είναι ελαφρώς ταχύτερη, επειδή η έξοδος οδηγείται διαιρέσου των nMOS και pMOS τα οποία λειτουργούν παράλληλα. Η C<sup>2</sup>MOS είναι ελαφρώς μικρότερη σε επιφάνεια, επειδή εξαφανίζει τις δύο επιφάνειες. Το Σχήμα 10.18(b) παρουσιάζει μια άλλη μορφή του τριστάθες, η οποία αντιμεταθέτει τους ακροδέκτες των δεδομένων και του ρολογιού. Είναι ισοδύναμη λογικώς αλλά κατώτερη ηλεκτρικώς, επειδή αλλάζοντας το  $D$ , ενώ ο μανδαλωτής είναι διαφανής μπορεί να προκαλέσει θόρυβο διαμοιρασμού φορτίου στον κόμβο εξόδου [Suzuki73].

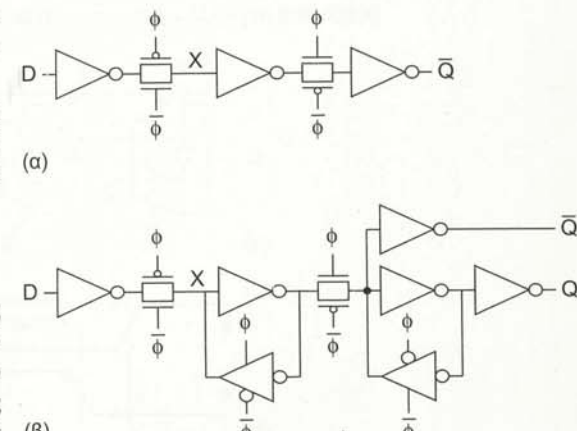
Όλοι οι μανδαλωτές που περιγράψαμε έως τώρα είναι διαφανείς κατά τη διάρκεια που το φύτισκεται σε υψηλή στάθμη. Μπορούν όμως να μετατραπούν σε μανδαλωτές που είναι ενεργοί όταν το  $\phi$  είναι σε χαμηλή στάθμη με την εναλλαγή των  $\phi$  και  $\bar{\phi}$ .

### 10.3.2 Συμβατικά CMOS Flip-Flop

Το Σχήμα 10.19(a) παρουσιάζει ένα δυναμικό flip-flop αναστρέφουντας συνδεσμολογίας, κατασκευασμένο μ' ένα ζεύγος δυναμικών μανδαλωτών των συνδεδεμένων «πλάτη με πλάτη» [Suzuki73]. Είτε ο πρώτος, είτε ο τελευταίος αντιστροφέας, μπορεί να απομακρυνθεί για τη μείωση της καθυστέρησης, με αντίτιμο μεγαλύτερη ενασιθησία στο θόρυβο στην «άνευ απομόνωσης» είσοδο ή έξοδο. Στο Σχήμα 10.19(b) προσθέτουμε



ΣΧΗΜΑ 10.18 Μανδαλωτής C<sup>2</sup>MOS.



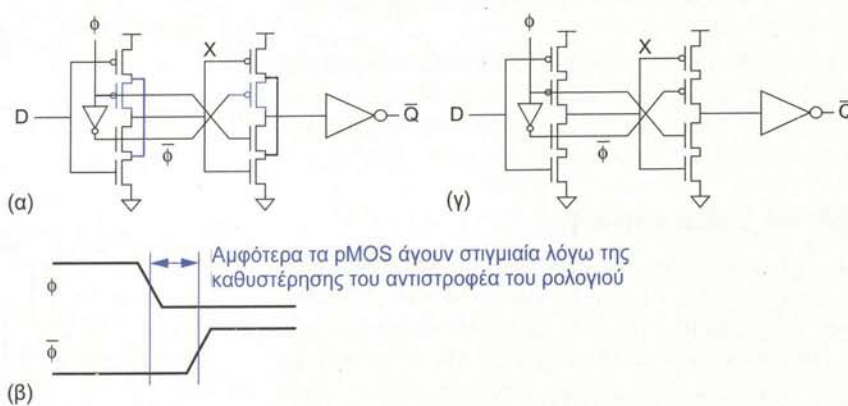
ΣΧΗΜΑ 10.19 Διάφορα flip-flop.

ανάδραση κι έναν επιπλέον αντιστροφέα για τη δημιουργία ενός μη-αναστρέφοντος, στατικού flip-flop. Αυτή η σχεδίαση flip-flop χρησιμοποιήθηκε στο χειριστή δεδομένων του μικροεξεργαστή PowerPC 603 χωρίς τον αντιστροφέα εισόδου ή την έξοδο  $\bar{Q}$  [Gerosa94]. Οι περισσότερες βιβλιοθήκες τυποποιημένων κυττάρων χρησιμοποιούν αυτή τη σχεδίαση επειδή είναι απλή, εύρωστη, συμπαγής και ενεργειακά αποτελεσματική [Stojanovic99]. Ωστόσο, ορισμένες από τις εναλλακτικές που θα περιγράψουμε παρακάτω είναι ταχύτερες.

Τα flip-flop δέχονται συντήματα ως εισόδο ένα μεμονωμένο σήμα ρολογιού  $\phi$  και παράγουν τοπικά το συμπληρωματικό του,  $\bar{\phi}$ . Εάν ο χρόνος ανόδου ή καθόδου του ρολογιού είναι πολύ αργός, είναι πιθανό ότι τόσο το σήμα ρολογιού όσο και το συμπληρωματικό του θα είναι ταυτόχρονα σε ενδιάμεσες τάσεις, πράγμα το οποίο κάνει και τους δύο μανδαλώτες διαφανείς και αυξάνει το χρόνο συγκράτησης του flip-flop. Στις βιβλιοθήκες τυποποιημένων κυττάρων ASIC (όπως π.χ. Artisan), η παραγωγή του συμπληρωματικού σήματος και η απομόνωση του ρολογιού γίνονται στο κύτταρο του flip-flop με σύχο ποιο απότομον ρυθμόν ακμής και με αντίτυπο περισσότερους αντιστροφείς και μεγαλύτερο φορτίο στο ρολόι. Ωστόσο, το φορτίο του ρολογιού θα πρέπει να κρατείται όσο το δυνατόν μικρότερο, επειδή το ρολόι έχει παράγοντα μεταγωγής (activity factor) 1 και, ως εκ τούτου, είναι υπεύθυνο για μεγάλο μέρος της κατανάλωσης ισχύος στο flip-flop.

Όπως γνωρίζετε, το flip-flop βρίσκεται σε μια εν δυνάμει κατάσταση εσωτερικού ανταγωνισμού μεταξύ των δύο μανδαλώτων. Ο ανταγωνισμός μπορεί να οιχνθεί από τη χρονική απόκλιση μεταξύ του ρολογιού και του συμπληρωματικού του, γεγονός το οποίο οφείλεται στην καθυστέρηση του αντιστροφέα. Στο Σχήμα 10.20(a) αποτελεί μια τροποποίηση του Σχήματος 10.19(a), μ' έναν ενσωματωμένο αντιστροφέα ρολογιού. Όταν πέφτει το  $\phi$ , τόσο το ρολόι όσο και το συμπλήρωμά του είναι προσωρινά σε χαμηλή στάθμη, όπως απεικονίζεται στο Σχήμα 10.20(b), με αποτέλεσμα να ενεργοποιούνται τα χρονισμένα pMOS τρανζίστορ και στις δύο πόλεις μετάδοσης. Εάν η χρονική απόκλιση (δηλαδή η καθυστέρηση του αντιστροφέα) είναι υπερβολική, τα δεδομένα μπορεί να εισέλθουν «λαθαρία» στους δύο μανδαλώτες κατά την καθοδική ακμή του ρολογιού, πράγμα το οποίο οδηγεί σε εσφαλμένη λειτουργία. Το Σχήμα 10.20(g) παρουσιάζει ένα δυναμικό C<sup>2</sup>MOS flip-flop, κατασκευασμένο με μανδαλώτες C<sup>2</sup>MOS αντί για αντιστροφείς και πόλεις μετάδοσης [Suzuki73]. Επειδή κάθε στάδιο εκτελεί αντιστροφή, τα δεδομένα διέρχονται από το σωρό nMOS του ενός μανδαλωτή και από το σωρό pMOS του άλλου μανδαλωτή, οπότε η χρονική απόκλιση που ενεργοποιεί και αμφότερα τα χρονισμένα στο ρολόι τρανζίστορ pMOS δεν αποτελεί κίνδυνο. Ωστόσο, το flip-flop εξακολουθεί να είναι ευάλωτο στο πρόβλημα των υπερβολικά αργών ρυθμών ακμής, οι οποίοι ενεργοποιούν μερικώς και τα δύο τρανζίστορ. Τα ίδια πλεονεκτήματα ως προς τη χρονική απόκλιση ισχύουν ακόμα κι όταν τοποθετείται άρτιος αριθμός λογικών βαθμίδων αντιστροφής μεταξύ των μανδαλώτων· η τεχνική αυτή αποκαλείται επίσης κατάσταση άνευ ανταγωνισμού (No RAce, NORA) [Gonclaves83]. Στην πράξη, οι περισσότερες σχεδιάσεις flip-flop ελέγχουν προσεκτικά την καθυστέρηση του αντιστροφέα του ρολογιού, πράγμα το οποίο σημαίνει ότι η σχεδίαση με την πύλη μετάδοσης είναι ασφαλής και ελαφρώς ταχύτερη από τη σχεδίαση με C<sup>2</sup>MOS [Chao89].

Όλες οι παραπάνω σχεδιάσεις flip-flop είναι πιθανό να παρουσιάσουν προβλήματα οφειλόμενα στην ελάχιστη καθυστέρηση μεταξύ των flip-flop, κυρίως όταν υπάρχει ελάχιστη ή καθόλου λογική μεταξύ των flop και η χρονική απόκλιση είναι μεγάλη ή δεν έχει αναλυθεί επαρκώς. Για σχεδιάσεις VLSI σε πανεπιστημιακά περιβάλλοντα, όπου η προσεκτική ανάλυση της χρονικής απόκλισης είναι υπερβολικά επίπονη

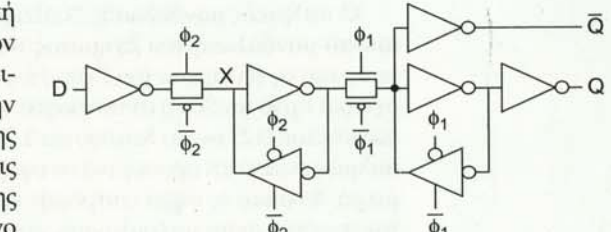


ΣΧΗΜΑ 10.20 Πύλη μετάδοσης και δυναμικά flip-flop NORA.

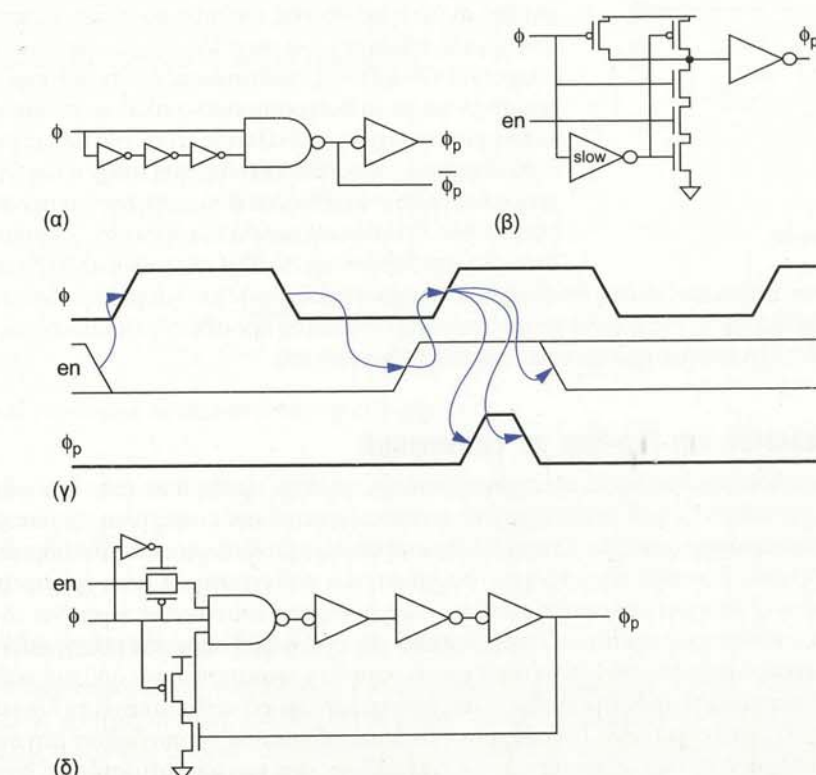
και η απόδοση δεν είναι τόσο σημαντική, μια λογική εναλλακτική λύση είναι η χρήση ενός ζεύγους ρολογιών δύο μη-επικαλυπτόμενων φάσεων, αντί για ένα ρολόι και το συμπληρωματικό του, όπως απεικονίζεται στο Σχήμα 10.21. Το flip-flop λαμβάνει την είσοδο του στην ανδρική ακμή του φ1. Φροντίζοντας ώστε το ένδρος της μη-επικάλυψης να είναι αρκετά μεγάλο, το κύκλωμα θα λειτουργήσει σωστά παρά τις μεγάλες χρονικές αποκλίσεις. Ωστόσο, ο χρόνος της μη-επικάλυψης δεν χρησιμοποιείται από τη λογική, οπότε αυξάνει άμεσα το χρόνο αποκατάστασης και την ακολουθιακή επιβάρυνση του flip-flop (βλ. Ασκηση 10.8). Το φυσικό σχέδιο για το flip-flop παρουσιάζεται στις εισαγωγικές εικόνες και είναι διασκευασμένο με τρόπο ώστε να χρησιμοποιεί ένα και μόνο ρολόι. Παρατηρήστε ότι οι κόμβοι διάχυσης είναι κοινόχρηστοι, με σύχο τη μείωση της παρασιτικής χωρητικότητας.

### 10.3.3 Παλμικό Μανδαλωτές

Ενας παλμικός μανδαλωτής μπορεί να κατασκευαστεί από ένα συμβατικό, διαφανή μανδαλωτή CMOS που οδηγείται από ένα σύντομο παλμό ρολογιού. Το Σχήμα 10.22(a) παρουσιάζει μια απλή γεννήτρια παλμών, η οποία αποκαλείται επίσης κόφτης ρολογιού (clock chooper) ή μιας bolής (one shot) [Harris01a]. Ο παλμικός μανδαλωτής είναι ταχύτερος από ένα συμβατικό flip-flop επειδή απαιτεί μόνο μια μανδάλωση αντί των δύο, καθώς και επειδή επιτρέπει δανεισμό χρόνου. Μπορεί επίσης να καταναλώνει λιγότερη ενέργεια, παρότε η γεννήτρια παλμών επαυξάνει την κατανάλωση ενέργειας (και, στην ιδανική περίπτωση, είναι κοινόχρηστη για πολλαπλούς παλμικούς μανδαλωτές, για μεγαλύτερη αποτελεσματικότητα δύον αφορά την κατανάλωση ενέργειας και τη χρήση επιφάνειας). Το μειονέκτημα είναι ο αυξημένος χρόνος συγκράτησης.



ΣΧΗΜΑ 10.21 Flip-flop με ρολόγια 2 φάσεων χωρίς επικάλυψη.



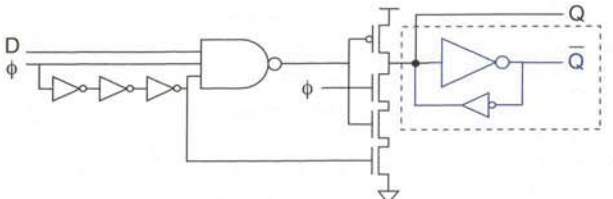
ΣΧΗΜΑ 10.22 Γεννήτριες παλμών.

Ο παλμικός μανδαλωτής Naffziger που χρησιμοποιήθηκε στον επεξεργαστή Itanium 2 αποτελείται από το μανδαλωτή του Σχήματος 10.17(i), που οδηγείται από ακόμα πιο στενούς παλμούς, παραγόμενους από τη γεννήτρια του Σχήματος 10.22(β) [Naffziger02]. Αυτή η γεννήτρια παλμών χρησιμοποιεί ένα σχετικά αργό (ασθενή) αντιστροφέα για να παράγει έναν παλμό με ονόμαστικό πλάτος περίπου ένα έκτο του κύκλου (125 ps για λειτουργία 1.2 Ghz). Όταν απενεργοποιείται, ο εσωτερικός κόμβος της γεννήτριας παλμών αιωρείται προσωρινά σε υψηλή στάθμη, αλλά δεν απαιτείται διατηρητής επειδή η διάρκεια είναι μικρή. Φυσικά, το σήμα επίτρεψης έχει απαιτήσεις χρόνου αποκατάστασης και συγκράτησης γύρω από την ανοδική ακμή του ρολογιού, όπως απεικονίζεται στο Σχήμα 10.22 (γ).

Το Σχήμα 10.22(δ) παρουσιάζει μια διαφορετική γεννήτρια παλμών, η οποία χρησιμοποιείται σ' ένα επεξεργαστή RISC της NEC [Kozu96] για την παραγωγή σημαντικά μεγαλύτερων παλμών. Ενσωματώνει ένα δυναμικό μανδαλωτής πύλης μετάδοσης με στόχο να εμποδίσει το σήμα επίτρεψης να αλλάξει κατάσταση κατά τη διάρκεια του παλμού.

Πολλοί σχεδιαστές θεωρούν επικίνδυνους τους στενούς παλμούς. Η γεννήτρια παλμών θα πρέπει να προσομοιώνονται προσεκτικά σε όλες τις κατασκευαστικές γωνίες και τα πιθανά φορτία RC, ώστε να διασφαλίζεται ότι ο παλμός δεν υποβαθμίζεται υπερβολικά από τις διακυμάνσεις που εισάγει η κατασκευαστική διαδικασία, ή από τη δρομολόγηση. Ωστόσο, η ομάδα του Itanium 2 διαπίστωσε ότι οι παλμοί θα μπορούσαν να χρησιμοποιηθούν όπως ακριβώς τα συνηθισμένα ρολόγια, υπό τον όρο ότι η γεννήτρια παλμών έχει επαρκή οδήγηση. Η γεννήτρια παλμών στον τετραπόρηνο Itanium επλέγει μεταξύ αλυσίδων καθυστέρησης 1 και 3 αντιστροφέων μέσω ενός πολυπλέκτη [Stackhouse09]. Ο μεγαλύτερος εδρούς παλμός παρέχει λειτουργία μανδάλωσης η οποία επιδεικνύει μεγαλύτερη ευρωστία στις περιβαλλοντικές μεταβολές και στις κατασκευαστικές διακυμάνσεις, ενώ ταυτόχρονα παρέχει μεγαλύτερη δυνατότητα δανεισμού χρόνου, αλλά αυξάνει το χρόνο συγκράτησης. Το σήμα επιλογής του πολυπλέκτη είναι προγραμματιζόμενο μέσω λογισμικού, έτσι ώστε να διορθώνονται τυχόν προβλήματα που ανακαλύπτονται μετά από την κατασκευή.

Ο παλμικός μανδαλωτής Partovi του Σχήματος 10.23 εξαλείφει την ανάγκη μετάδοσης του παλμού με την κατασκευή μιας γεννήτριας παλμών μέσα στον ίδιο το μανδαλωτή [Partovi96, Draper97]. Οι ασθενείς διασταυρωμένοι αντιστροφέις που επισημαίνονται με το διαγραμμισμένο πλάισιο στατικοποιούν το κύκλωμα, αν και ο μανδαλωτής είναι ευάλωτος στο θόρυβο εξόδου από την προς τα πίσω οδήγηση του  $Q$  ή του  $\bar{Q}$ , εκτός εάν χρησιμοποιηθεί ένας επιπλέον αντιστροφέας για την απομόνωση της εισόδου. Ο παλμικός μανδαλωτής Partovi χρησιμοποιήθηκε στους K6 και Athlon της AMD [Golden99], αλλά είναι ελαφρώς αργότερος από έναν απλό μανδαλωτή [Naffziger02]. Αρχικά αποκαλούνταν «ακμοπυροδότης μανδαλωτής» (edge triggered latch, ETL), αλλά με την αυστηρή έννοια του όρου δεν είναι παρά ένας παλμικός μανδαλωτής, επειδή έχει πολύ μικρό χρονικό παράθυρο διαφάνειας.



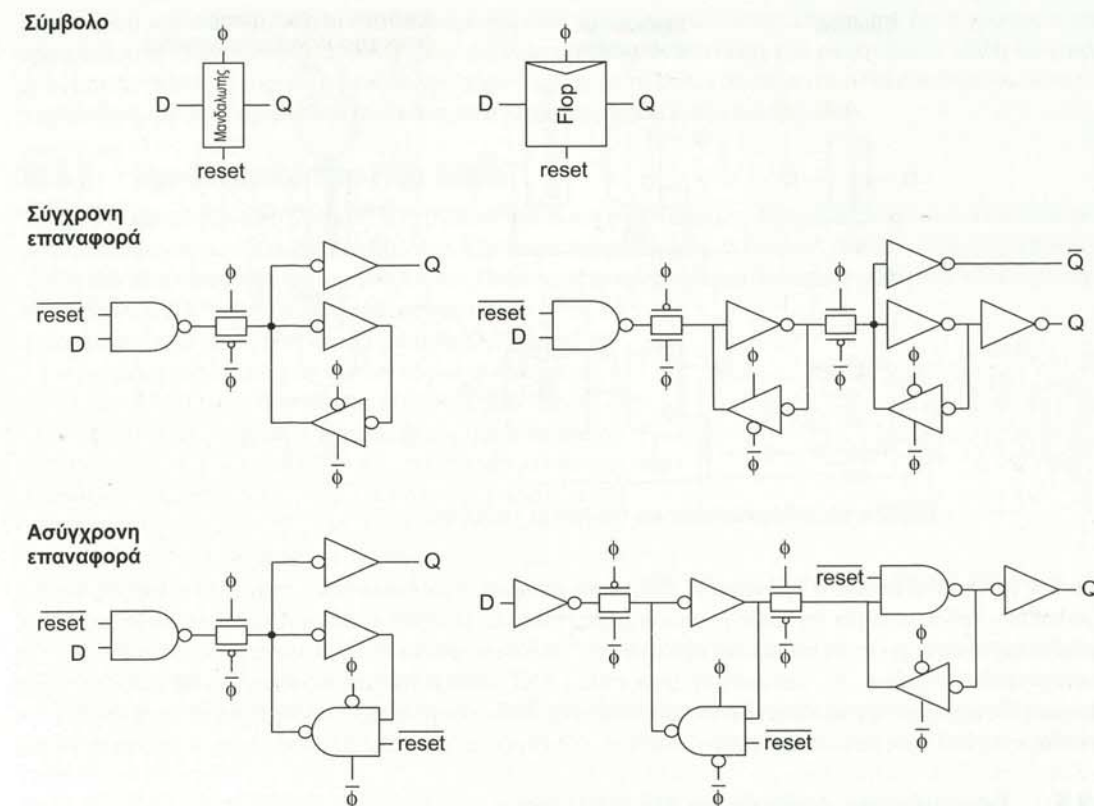
ΣΧΗΜΑ 10.23 Παλμικός μανδαλωτής Partovi.

αργότερος από έναν απλό μανδαλωτή [Naffziger02]. Αρχικά αποκαλούνταν «ακμοπυροδότης μανδαλωτής» (edge triggered latch, ETL), αλλά με την αυστηρή έννοια του όρου δεν είναι παρά ένας παλμικός μανδαλωτής, επειδή έχει πολύ μικρό χρονικό παράθυρο διαφάνειας.

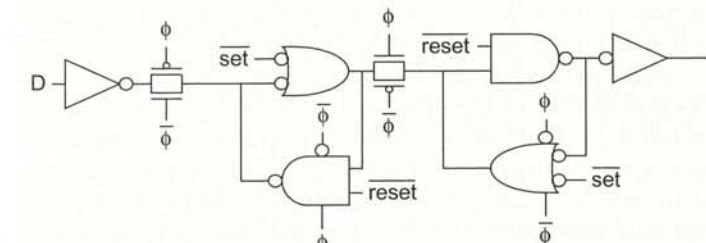
#### 10.3.4 Μανδαλωτές και flip-flop με επαναφορά

Τα περισσότερα ακολουθιακά στοιχεία που χρησιμοποιούνται στην πράξη απαιτούν ένα σήμα επαναφοράς (reset) για να τεθούν σε μια γνωστή αρχική κατάσταση κατά την έναρξη και να διασφαλιστεί η ντετεριμινιστική συμπεριφορά τους. Το Σχήμα 10.24 παρουσιάζει μανδαλωτές και flip-flop με εισόδους επαναφοράς. Υπάρχουν δύο είδη επαναφοράς: σύγχρονη και ασύγχρονη. Η ασύγχρονη επαναφορά αναγκάζει αμέσως το  $Q$  να πέσει σε χαμηλή στάθμη, ενώ η σύγχρονη επαναφορά περιμένει το ρολό. Τα σύγχρονα σήματα επαναφοράς πρέπει να είναι σταθερά για ένα χρόνο αποκατάστασης και συγκράτησης γύρω από τις ακμές του ρολογιού ενώ τα ασύγχρονα σήματα χαρακτηρίζονται από μια καθυστέρηση διάδοσης από την επαναφορά προς την έξοδο. Η σύγχρονη επαναφορά απλά απαιτεί τη λογική συζευξή (AND) της εισόδου  $D$  με το σήμα  $reset$ . Η ασύγχρονη επαναφορά απαιτεί να συνδεθούν στη πύλη και τα δεδομένα και η ανάδραση για να αναγκαστούν να επανέλθουν στις αρχικές καταστάσεις, ανεξαρτήτως του ρολογιού. Η τρισταθής πύλη NAND μπορεί να κατασκευαστεί με μια πύλη NAND εν σειρά με μια συγχρονισμένη με το ρολό πύλη μετάδοσης.

Κεφάλαιο 10: Σχεδίαση Ακολουθιακών Κυκλωμάτων



ΣΧΗΜΑ 10.24 Μανδαλωτές και flip-flop με επαναφορά.

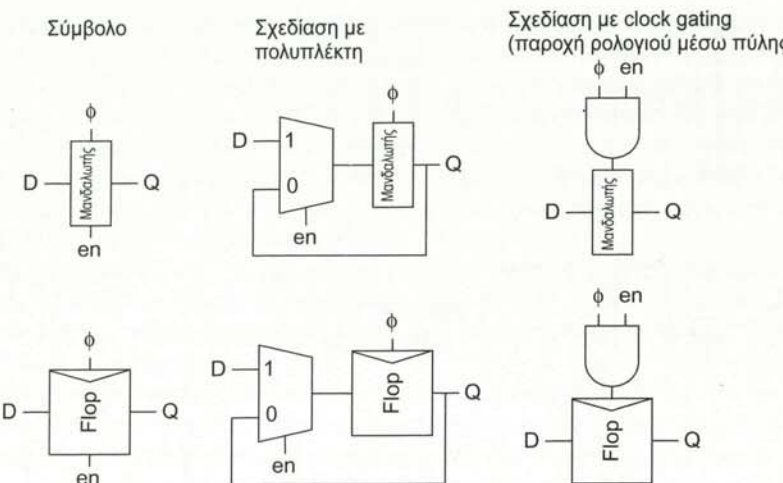


ΣΧΗΜΑ 10.25 Flip-flop με ασύγχρονη θέση και επαναφορά.

Οι μανδαλωτές και τα flip-flop με θέση αναγκάζουν την έξοδο να τεθεί σε υψηλή στάθμη αντί για χαμηλή. Είναι παρόμοια με τα στοιχεία επαναφοράς του Σχήματος 10.24, αλλά αντικαθιστούν την NAND με μια NOR και το  $reset$  με το  $set$ . Το Σχήμα 10.25 παρουσιάζει ένα flip-flop που συνδυάζει και την ασύγχρονη θέση και την επαναφορά.

#### 10.3.5 Μανδαλωτές και Flip-Flop με Επίτρεψη

Τα ακολουθιακά στοιχεία συχνά δέχονται και ως είσοδο κι ένα σήμα επίτρεψης. Όταν το σήμα επίτρεψης  $en$  είναι σε χαμηλή στάθμη, το στοιχείο διατηρεί την κατάστασή του ανεξαρτήτως του ρολογιού. Η λειτουργία της επίτρεψης μπορεί να υλοποιηθεί μ' έναν πολυπλέκτη εισόδου ή χρονισμό ρολογιού, όπως απεικονίζεται στο Σχήμα 10.26. Ο πολυπλέκτης εισόδου ανατροφοδοτεί την προηγούμενη κατάσταση όταν απενεργοποιείται το στοιχείο. Ο πολυπλέκτης προσθέτει επιφάνεια και καθυστέρηση. Ο χρονισμός ρολογιού δεν επηρεάζει την καθυστέρηση από την είσοδο δεδομένων και η πύλη AND μπορεί να διαμο-



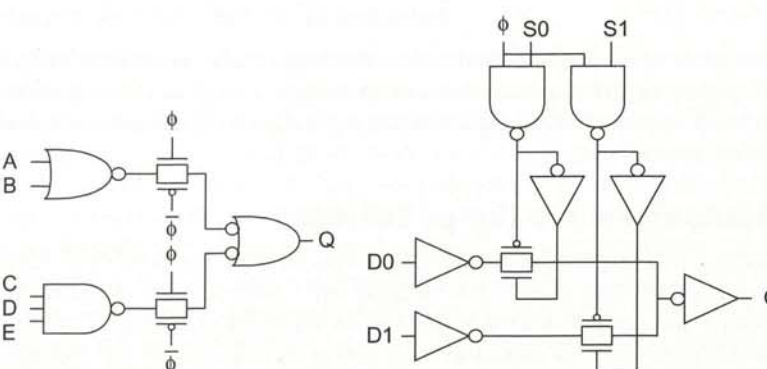
**ΣΧΗΜΑ 10.26** Μανδαλωτές και flip-flop με επίτρεψη

ραστεί σε πολλαπλά στοιχεία χρονισμού. Επιπλέον, μειώνει σημαντικά την κατανάλωση ισχύος, επειδή το ρόλοι δεν ταλαντώνεται στο απενεργοποιημένο στοιχείο. Ωστόσο, η πόλη AND καθυστερεί το ρόλοι και πιθανώς εισάγει χρονική απόκλιση. Η Ενότητα 13.4.5 περιγράφει τεχνικές για την ελαχιστοποίηση της χρονικής απόκλισης μέσω της κατασκευής μιας πύλης AND στον τελικό απομονωτή του δικτύου διανομής ρολογιού. Το σήμα *en* πρέπει να είναι σταθερό ενώ το ρόλοι είναι σε υψηλή στάθμη για να εμποδιστούν οι ανεπιθύμητες αλλαγές κατάστασης του ρολογιού, ένα θέμα το οποίο θα εξετάσουμε στην Ενότητα 10.4.6.

#### **10.3.6 Ενσωμάτωση Λογικής σε Μανδαλωτές**

Από τις πρώτες ημέρες των υπολογιστών, οι μηχανικοί αντιλήφθηκαν ότι μπορούν να μειώσουν την ακολουθιακή επιβάρυνση ενοψιανώντας λογική σε μανδαλωτές [Earle65]. Για παράδειγμα, ορισμένοι από τους αντιστροφείς μπορούν να αντικατασταθούν από πύλες που εκτελούν χρήσιμους υπολογισμούς. Το Σχήμα 10.27 παρουσιάζει δύο τρόπους με τους οποίους μπορεί να γίνει αυτό σε δυναμικούς μανδαλωτές. Ο επεξεργαστής DEC Alpha 21164 χρησιμοποιούσε ένα σύνολο μανδαλωτών που είχαν κατασκευαστεί με μια συγχρονισμένη με το ρολόι πύλη μετάδοσης από την οποία προγούνταν και έπονταν αντιστροφές στατικές πύλες CMOS όπως NAND και NOR ή αντιστροφείς [Bowhill95]. Αυτό παρέχει μια χαμηλή επιβάρυνση στο μανδαλωτή πύλης μετάδοσης, ενώ ταυτόχρονα διατηρεί την απομόνωση στην είσοδο και στην έξοδο.

Ο πολυπλέκτης-μανδαλωτής αποτελείται από δύο παράλληλες πύλες μετάδοσης που ελέγχονται από ρολόγια συνδεδεμένα σε μια πύλη μαζί με το αντίστοιχο σήμα επιλογής. Η συνάρτηση του πολυπλέκτη ολοκληρώνεται χωρίς καμία επιπρόσθετη επιβάρυνση από την είσοδο  $D$  στην έξοδο  $Q$ , εκτός από ένα



**ΣΧΗΜΑ 10.27** Συνδυασμός της λογικής με μανδαλωτές

μικρό ποσό πρόσθετης χωρητικότητα διάχυσης στον κόμβο κατάστασης. Σημειώστε ότι ο χρόνος αποκατάστασης στις επιλεγμένες εισόδους είναι σχετικά υψηλός. Η σύνδεση του ρολογιού σε πύλη θα εισάγει χρονική απόκλιση εκτός εάν η μεθοδολογία χρονισμού με το ρολόι συστηματικά θα συνδέσει σε πύλες όλα τα ρολόγια. Οι ίδιες αρχές επεκτείνονται σε στατικούς μανδαλωτές και flip-flop.

### 10.3.7 Ημι-δυναμικό Flip-Flop Klass

Το ημι-δυναμικό flip-flop Klass (SDFF) [Klass99] που απεικονίζεται στο Σχήμα 10.28 είναι μια διασταύρωση μεταξύ παλμικού μανδαλωτή και flip-flop. Όμοια με τον παλμικό μανδαλωτή Partovi, λειτουργεί βάσει της αρχής των διασταυρούμενων μανδαλωτών. Ωστόσο, χρησιμοποιεί μια δυναμική πόλη NAND στη θέση της στατικής NAND. Ενώ το ρολόι είναι σε χαμηλή στάθμη, το  $X$  προφορτίζεται σε υψηλή στάθμη και το  $Q$  διατηρεί την προηγούμενη κατάστασή του. Όταν το ρολόι ανέρχεται, η δυναμική NAND περνά στη φάση υπολογισμού. Εάν το  $D$  είναι «0», το  $X$  παραμένει σε υψηλή στάθμη και το επάνω nMOS τρανζίστορ γίνεται OFF. Εάν το  $D$  είναι «1» και το  $X$  αρχίζει να πέφτει προς τη χαμηλή στάθμη, το τρανζίστορ παραμένει ON για να ολοκληρωθεί η μετάβαση. Αυτό επιτρέπει έναν πολύ στενό παλμό κι ένα σύντομο χρόνο συγκράτησης. Ο δυναμικός μανδαλωτής στην πρώτη βαθμίδα λειτουργεί ως master, ενώ αυτός της δεύτερης βαθμίδας ως slave. Οι ασθενείς διασταυρώμενοι αντιστροφείς στατικοποιούν το flip-flop και ο τελικός αγιοποορέας απομονώνει τον κόμβο εξόδου.



**ΣΧΗΜΑ** 10.28 Ημι-δυναμικό flip-flop Klass.

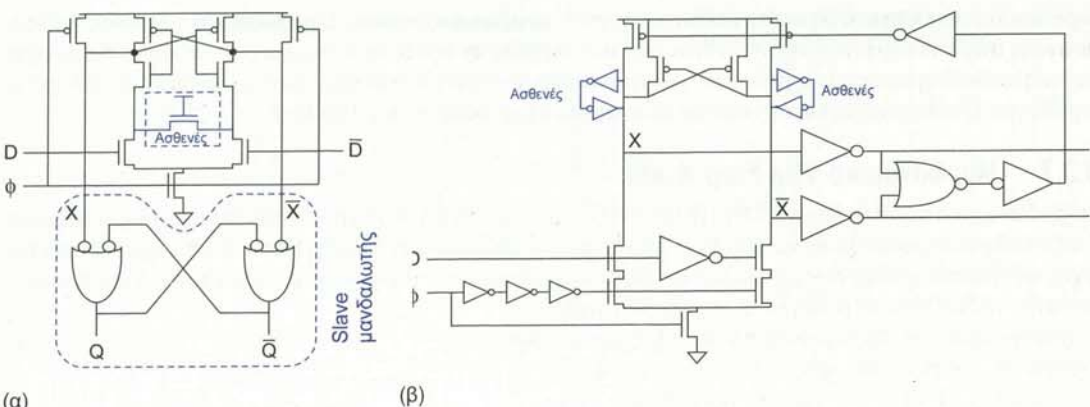
Όμοια μ' έναν παλμικό μανδαλωτή, το SDFF δέχεται τις ανοδικές εισόδους ελαφρώς μεταγενέστερα από την ανοδική ακμή του ρολογιού. Όμοια μ' ένα flip-flop, οι καθοδικές είσοδοι θα πρέπει να αποκατασταθούν πριν από την ανοδική ακμή του ρολογιού. Ονομάζεται ημι-δυναμικό επειδή συνδυάζει τη δυναμική βαθμίδα εισόδου με τη στατική λειτουργία. Το SDFF είναι ελαφρώς ταχύτερο απ' ό,τι ο παλμικός μανδαλωτής Partovi, αλλά χάνει την ανοχή στη χρονική απόκλιση και τη δυνατότητα δανεισμού χρόνου. Επιπλέον, έχει μεγαλύτερη κατανάλωση ενέργειας λόγω του μεγαλύτερου αριθμού κόμβων με ψηλό συντελεστή μεταγωνής.

Ο επεξεργαστής UltraSparc III της Sun ενσωματώνει πολύ αποτελεσματικά λογική στο SDFF, με την αντικατάσταση του μεμονωμένου τρανζίστορ που συνδέεται στο  $D$  από μια ομάδα τρανζίστορ τα οποία εκτελούν την OR ή τις λειτουργίες του πολυπλέκτη [Heald00]. Παρόμοια, ο επεξεργαστής Cell χρησιμοποιεί δυναμικούς πολυπλέκτες-μαγνηδαλωτές με έως και 4 εισόδους (συν μία πέμπτη για ανιχνευση) [Warnock06].

### 10.3.8 Διαφορικά Flip-Flop

Τα διαφορικά flip-flop δέχονται τις αληθείς και τις συμπληρωματικές εισόδους και παράγουν τις αληθείς και τις συμπληρωματικές εξόδους. Κατασκευάζονται από έναν χρονισμένο ενισχυτή αισθητης έτσι ώστε μπορούν να αντιδράσουν άμεσα σε μικρές διαφορικές τάσεις εισόδου. Παρότι είναι μεγαλύτερα από ένα συμβατικό flip-flop μονού τερματισμού –επειδή έχουν έναν επιπλέον αντιστροφέα για να παράγεται η συμπληρωματική έξοδο–, λειτουργούν άψογα με εισόδους που έχουν χαμηλή ταλάντωση, όπως οι γραμμές των bit σε αρχεία καταχωρητών (Ενότητα 12.2.3.3) και οι διαυλοί χαμηλού εύρους διακόμανσης (Ενότητα 6.4.4).

Το Σχήμα 10.29(a) παρουσιάζει ένα διαφορικό flip-flop με ενισχυτή αισθητής (sense-amplifier flip-flop SA-F/F) που δέχεται διαφορικές εισόδους και παράγει διαφορική έξοδο [Matsui94]. Όταν το ρολόι είναι σε χαμηλή στάθμη, οι εσωτερικοί κόμβοι  $X$  και  $\bar{X}$  προφορτίζονται. Όταν το ρολόι ανέρχεται, ένας από τους δύο κόμβους οδηγείται κάτω, ενώ τα διασταυρωμένα pMOS τρανζίστορ λειτουργούν ως διατηρητές για τον άλλο κόμβο. Ο μανδαλωτής SR που δημιουργείται από τις διασταυρωμένες πύλες NAND συμπεριφέρεται ως μια slave βαθμίδα, η οποία λαμβάνει την έξοδο και τη διατηρεί κατά την προφόρτιση. Το flip-flop μπορεί να ενισχύει και να απαντήσει σε μικρές διαφορικές τάσεις εισόδου, ή μπορεί να χρησιμοποιήσει έναν αντιστροφέα για να παράγει τη συμπληρωματική είσοδο από το  $D$ . Αυτό το flip-flop χρησιμοποιήθηκε στον Alpha 21264 [Gronowski98]. Έχει μικρό φορτίο ρολογιού και αποφεύγει την ανάγκη για αντιστροφο ρολόι. Εάν τα τρανζίστορ δύο εισόδων αντικατασταθούν από αληθή και συμπληρωματικά



ΣΧΗΜΑ 10.29 Διαφορικά flip-flop.

δίκτυα λογικής nMOS, το SA-F/F μπορεί επίσης να λειτουργήσει στις λογικές συναρτήσεις εις βάρος του μεγαλύτερου χρόνου αποκατάστασης [Klass99].

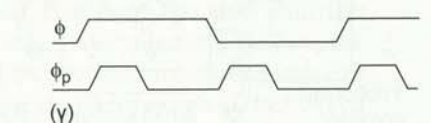
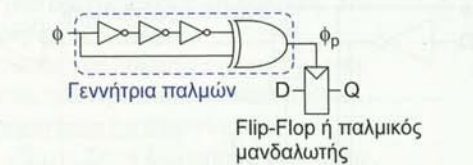
Το αρχικό SA-F/F αντιμετωπίζει το πρόβλημα ότι ένας από τους εσωτερικούς κόμβους πιθανώς να μένει αιωρούμενος σε χαμηλή στάθμη εάν αλλάξουν οι είσοδοι ενώ το ρολόι είναι σε υψηλή στάθμη. Ο επεξεργαστής StrongArm 110 [Montanaro96] προσθέτει ένα ασθενές τρανζίστορ pMOS όπως απεικονίζεται στο Σχήμα 10.29(a) για να στατικοποιήσει πλήρως το flip-flop, με αντίτυπο μικρές ποσότητες εσωτερικού φορτίου και καθυστέρησης.

Αν και η βαθμίδα του ενισχυτή αισθητής είναι γρήγορη, η καθυστέρηση διάδοσης διαμέσου των δύο διασταυρωμένων πυλών NAND βλάπτει την απόδοση. Οι πύλες NAND λειτουργούν ως μανδαλωτές SR slave και χρειάζονται μόνο για να μετατρέπουν τα μονοτονικά σήματα καθοδικών παλμών X σε στατικές εξόδους Q. μπορούν να αντικατασταθούν από αντιστροφείς υψηλής απόκλισης, όταν το Q οδηγεί πύλες domino. Στις εργασίες τους, οι [Nikolic00], [Kim00] και [Strollo05] προτείνουν εναλλακτικές σχεδιάσεις slave μανδαλωτών οι οποίες είναι ταχύτερες, αλλά χρησιμοποιούν περισσότερα τρανζίστορα.

Ο επεξεργαστής K6 της AMD χρησιμοποιεί ένα άλλο διαφορικό flip-flop, το οποίο απεικονίζεται στο Σχήμα 10.29(γ), στο σημείο διασύνδεσης της στατικής λογικής με τη λογική domino [Draper97]. Η βαθμίδα του master αποτελείται από μια πύλη αυτο-επαναφοράς διαδοχικής επίδρασης διπλής γραμμής. Ας υποθέσουμε ότι οι εσωτερικοί κόμβοι είναι αρχικά προφορτισμένοι. Στην ανοδική ακμή του ρολογιού, ένας από τους δύο θα οδηγήσει «κάτω» και θα οδηγήσει έτοι την αντίστοιχη έξοδο σε υψηλή στάθμη. Η πύλη OR ανιχνεύει αυτό και παράγει ένα σήμα ολοκλήρωσης (done) το οποίο προφορτίζει τους εσωτερικούς κόμβους και επαναφέρει τις εξόδους. Συνεπώς, το flip-flop παράγει παλμικές εξόδους οι οποίες είναι κυρίως κατάλληλες για χρήση σε επιμένες πύλες διαδοχικής επίδρασης αυτο-επαναφοράς (βλ. Ενότητα 10.5.2.4). Τα διασταυρωμένα pMOS τρανζίστορα βελτιώνουν την ανοσία στο θόρυβο ενώ οι διασταυρωμένοι αντιστροφείς στατικοποιούν τους εσωτερικούς κόμβους.

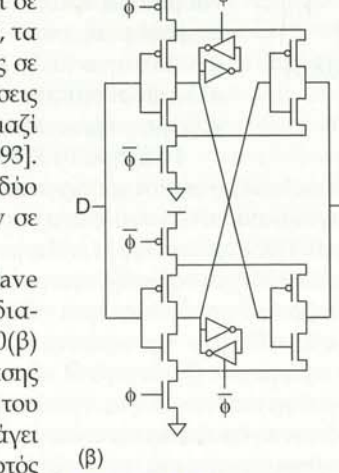
### 10.3.9 Διπλά Ακμοπυροδότητο Flip-Flop

Πολλοί ερευνητές έχουν προτείνει flip-flop τα οποία δειγματοληπτούν τα δεδομένα τόσο στην ανοδική όσο και στην καθοδική ακμή του ρολογιού, με στόχο την εξοικονόμηση ενέργειας λειτουργώντας στη μισή συχνότητα ρολογιού. Ένα σημαντικό μειονέκτημα είναι η ενασιθησία στις διακυμάνσεις του κύκλου λειτουργίας που ανδέσουν την απόκλιση της καθοδικής ακμής του ρολογιού. (Η απόκλιση από ανοδική σε ανοδική ακμή τείνει να είναι μικρότερη από την απόκλιση από ανοδική σε καθοδική ακμή επειδή απαιτεί ιδιες μεταβάσεις και άρα έχει καλύτερο ταίριασμα από την άποψη της διακύμανσης). Σε πρώτη τάξη, ένα διπλό ακμοπυροδότητο (dual edge-triggered, DET) flip-flop έχει μισή συχνότητα ρολογιού και διπλάσιο παράγοντα μεταγωγής, οπότε η ενέργεια που καταναλώνει παραμένει αμετάβλητη. Ωστόσο, η ενέργεια παράγοντα μεταγωγής, οπότε η ενέργεια που καταναλώνει παραμένει αμετάβλητη. Ωστόσο, η ενέργεια στο γενικό δίκτυο διανομής του ρολογιού μειώνεται κατά συντελεστή δύο λόγω της μειωμένης συχνότητας. Σ' ένα καλοσχεδιασμένο σύστημα, η ενέργεια κυριαρχείται συνήθως από τους καταχωρητές και όχι από το δίκτυο διανομής του ρολογιού. Επιπλέον, το DET flip-flop επιφέρει συνήθως κάποια επιβάρυνση όσον αφορά την κατανάλωση επιφάνειας, την καθυστέρηση και την ενέργεια. Η επιπλέον απόκλιση που



(a)

(g)



(b)

(β)

(δ)

ΣΧΗΜΑ 10.30 DET flip-flop.

προκαλείται από τη διακύμανση του κύκλου λειτουργίας αυξάνει περισσότερο την ακολουθιακή επιβάρυνση. Μέχρι τη στιγμή που το μονοπάτι τροποποιείται ώστε να ανακτήσει την επιπλέον καθυστέρηση, η καθαρή εξοικονόμηση ενέργειας που επιτυγχάνεται μπορεί να είναι μικρή ή αρνητική. Ακόμα κι αν η εξοικονόμηση είναι πραγματική, το DET flip-flop απαιτεί προσαρμογές στην ανάλυση χρονισμού και ροές εργασιών που βασίζονται σε εργαλεία CAD. Για όλους αυτούς τους λόγους, τα DET flip-flop δεν έχουν τόχει ευρείας χρήσης σε εμπορικά συστήματα. Δύο θεωρητικές σχεδιάσεις DET flip-flop παρουσιάζονται στο Σχ. 10.30, μαζί με κυκλωματικές υλοποιήσεις [Tschanz01, Gago93]. Στη σχεδίαση master-slave του Σχ. 10.30(a), δύο ξεχωριστοί master μανδαλωτές λειτουργούν σε αντίθετες φάσεις του ρολογιού.

Ο πολυπλέκτης, ο οποίος εκτελεί χρέι slave μανδαλωτή, επιλέγει το αποτέλεσμα του αδιαφανούς master μανδαλωτή. Το Σχήμα 10.30(β) παρουσιάζει μια υλοποίηση αυτής της σχεδιάσης σε επίπεδο τρανζίστορ. Στην παλμική σχεδίαση του Σχήματος 10.30(γ), μια γεννήτρια παλμών παράγει έναν παλμό και στις δύο ακμές του ρολογιού. Αυτός ο παλμός εξυπηρετεί ως ρολόι για ένα συμβατικό flip-flop ή παλμικό μανδαλωτή. Το Σχήμα 10.30(δ)

παρουσιάζει μια σχεδίαση επιπλέον τρανζίστορ, η οποία χρησιμοποιεί έναν παλμικό μανδαλωτή και μια υψηλής απόδοσης γεννήτρια παλμών.

Το Σχήμα 10.31 παρουσιάζει το εμμέσως παλμικό (implicitly pulsed) DET flip-flop του Zhao [Zhao07]. Εν αντιθέσει με την «επί τούτου» χρήση της γεννήτριας παλμών στη υλοποίηση του Σχήματος 10.30(γ), τα δύο κάτω ζεύγη nMOS τρανζίστορ συμπεριφέρονται εμμέσως ως γεννήτρια παλμών, οδηγώντας χαμηλά τον κόμβο M για ένα σύντομο χρονικό διάστημα κατά την ανοδική και καθοδική ακμή του ρολογιού. Κατά τη διάρκεια αυτών των διαστημάτων, εάν το D είναι 0, ο κόμβος X οδηγείται χαμηλά, στο 0. Εάν το D είναι 1 και ο X είναι 0, ο κόμβος Y οδηγείται για λίγο στο 0, αναγκάζοντας τον X να ανέλθει στο 1. Για το υπόλουπο του κύκλου, ο Y κρατείται στο 1 από το ασθενές pMOS τρανζίστορ και ο X κρατείται στην τρέχουσα τιμή του από τον ασθενή αντιστροφέα. Παρατηρήστε ότι υπάρχει ένας ακραίος περιορισμός όσον αφορά τους λόγους διαστάσεων: τα ασθενή τρανζίστορ πρέπει να υπερσκελιστούν από έως τέσσερα εν σειρά nMOS τρανζίστορ.

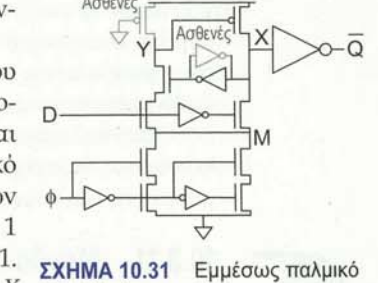
### 10.3.10 Flip-Flop με Ενίσχυση Κατά της Ακτινοβολίας

Τα τυχαία/παροδικά σφάλματα (soft errors) που οφείλονται σε σωματίδια αλρά ή κοσμική ακτινοβολία αποτελούν στο παρελθόν ιδιαίτερα σημαντικό πρόβλημα για τις μνήμες, επειδή τα κύτταρα RAM έχουν τη μικρότερη χωρητικότητα κόμβου και την ασθενέστερη ανάδραση, πράγμα το οποίο σημαίνει ότι επηρεάζονται εύκολα από διαταραχές, όπως είδαμε στην Ενότητα 7.3.4. Με την συνεχή κλιμάκωση των τρανζίστορ, τα ποσοστά τυχαίων/παροδικών σφαλμάτων για τα flip-flop αυξήθηκαν σε σημείο που να αποτελούν σημαντικό παράγοντα για τα συστήματα υψηλής αξιοποιησίας. Τα flip-flop με ενίσχυση κατά της ακτινοβολίας (radiation-hardened flip-flop) είναι σχεδιασμένα ώστε να αντέχουν σε τέτοια σφάλματα και είναι κρίσιμης σημασίας για τις διαστημικές εφαρμογές, όπου η ροή κοσμικής ακτινοβολίας είναι πολύ μεγαλύτερη.

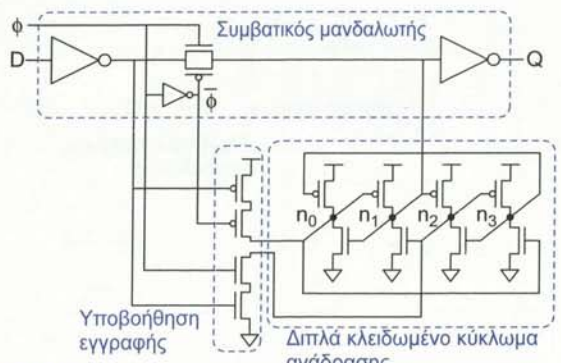
Ο απλούστερος δυνατός τρόπος ελαχιστοποίησης των τυχαίων/παροδικών σφαλμάτων συνίσταται στη χρήση ενός κόμβου αποθήκευσης ο οποίος θα κατακρατά επαρκές φορτίο ώστε να είναι απίθανο να



OPTIONAL



ΣΧΗΜΑ 10.31 Εμμέσως παλμικό DET flip-flop του Zhao.



**ΣΧΗΜΑ 10.32** Μανδαλωτής με θωράκιση κατά της ακτινοβολίας.

ακτινοβολίας [Stackhouse09, Hazucha04], ο οποίος χρησιμοποιείται στον τετραπόρηνο επεξεργαστή Itanium. Η αντισταση που επιδεικνύει σε τυχαία/παροδικά σφάλματα βασίζεται στην αρχή του διπλά κλειδωμένου κυττάρου αποθήκευσης (dual interlocked cell, DICE) [Calin96]. Η πόλη μετάδοσης και οι τρεις αντιστροφείς επάνω σχηματίζουν ένα συμβατικό μανδαλωτή. Ο μανδαλωτής στατικοποιείται χρησιμοποιώντας το διπλά κλειδωμένο κύκλωμα ανάδρασης. Σ' ένα συμβατικό μανδαλωτή, μια ριπή σωματιδίων ικανή να αλλάξει την κατάσταση ενός εκ των εσωτερικών κόμβων θα αλλοίωνε την τιμή στο μανδαλωτή. Στην προσέγγιση DICE, οι κόμβοι  $n_0$  και  $n_2$  έχουν κανονικά την ίδια τιμή με τον  $Q$ . Επίσης, οι  $n_1$  και  $n_3$  έχουν κανονικά τη συμπληρωματική τιμή. Όταν γράφεται το κύτταρο, ο  $n_1$  οδηγείται στο  $\bar{D}$ . Για την αποτροπή συγκρούσεων, τα nMOS και pMOS τρανζιστορ ανάδρασης που οδηγούν τον  $n_1$  θα πρέπει να είναι σε αποκοπή κατά τη διάρκεια της εγγραφής. Αυτό γίνεται από το κύκλωμα υποβοήθησης εγγραφής, το οποίο διασφαλίζει ότι  $n_2 = 0$  και  $n_0 = 1$  κατά τη διάρκεια των εγγραφών. Εάν ένας από τους τέσσερις κόμβους αποθήκευσης κατάστασης,  $n_0, n_3$ , διαταραχεί από κάποιο τυχαίο/παροδικό σφάλμα, το κλειδωμένος βρόχος ανάδρασης θα διορθώσει την τιμή. Ο μανδαλωτής συνεχίζει να είναι ευάλωτος σε ριπές ακτινοβολίας που διαταράσσουν ταυτόχρονα δύο κόμβους. Ο διαχωρισμός των κόμβων στο φυσικό σχέδιο του κυττάρου μειώνει αυτό τον κίνδυνο. Στον τετραπόρηνο Itanium διαπιστώθηκε ότι ο μανδαλωτής μειώνει τα τυχαία/παροδικά σφάλματα κατά δύο τάξεις μεγέθους χωρίς επιβάρυνση στην καθυστέρηση, με αντίτιμο 34% αύξηση σε επιφάνεια και 25% σε ισχύ.

Ο μανδαλωτής Razor που εξετάζεται στην Ενότητα 10.4.5 χρησιμοποιεί έναν πλεονασματικό κόμβο αποθήκευσης για να ανιχνεύει τα τυχαία/παροδικά σφάλματα. Σε συνδυασμό μ' ένα μηχανισμό «αναπαραγωγής», μπορεί να εξαλείψει αυτά τα σφάλματα.

### 10.3.11 Μανδαλωτές και Flip-Flop Μονής Φάσης Ρολογιού (TSPC)

Αυτή η ενότητα περιλαμβάνεται στην όλη που είναι διαθέσιμη online, μέσω του συνδέσμου «Web Enhanced», στον ιστόποτο [www.cmosvlsi.com](http://www.cmosvlsi.com).



## 10.4 Μεθοδολογία Υλοποίησης Στοιχείων Στατικής Ακολουθίας

Σ' αυτή την ενότητα θα περιγράψουμε ορισμένα από τα ζητήματα τα οποία θα πρέπει να φροντίσει ένας σχεδιαστής όταν επιλέγει μια μεθοδολογία υλοποίησης στοιχείων στατικής ακολουθίας. Θα ξεκινήσουμε με ορισμένα γενικά θέματα και κατόπιν θα προχωρήσουμε σε τεχνικές ειδικά για τα flip-flop, τους παλμικούς μανδαλωτές και τους διαφανείς μανδαλωτές.

Έως την τεχνολογία κατασκευής των  $0.5 \mu m$ , η διαρροή ήταν σχετικά μικρή και έτοι διατηρούσαν την κατάστασή τους οι δυναμικοί μανδαλωτές για αποδεκτά μεγάλα χρονικά διαστήματα. Ο DEC Alpha 21164 ήταν ένας από τους τελευταίους μεγάλους μικροεπεξεργαστές που χρησιμοποιούσε μια μεθοδολογία δυναμικών μανδαλωτών σε μια τεχνολογία κατασκευής  $0.35 \mu m$  στα μέσα της δεκαετίας του '90. Απαιτούσε ελάχιστη συγνότητα λειτουργίας 1/10 της πλήρους ταχύτητας για να διατηρήσει την κατάσταση, ακόμα και κατά τη διάρκεια της δοκιμής. Γενικά, τα σύγχρονα συστήματα απαιτούν στατικά ακολουθιακά στοιχεία για να διατηρούν την κατάσταση όταν τα ρολόγια είναι συνδεδεμένα σε πόλη ή το σύστημα δοκιμάζεται σε μια μέτρια συγνότητα. Η διαρροή είναι συνήθως χειρότερη κατά τη διάρκεια καυτής δοκιμής σε μια ανυψωμένη θερμοκρασία και τάση,

όταν το chip θα πρέπει να συνεχίσει να λειτουργεί σωστά για να εξασφαλιστεί μια ορθή διακοπική κάλυψη. Τα στατικά στοιχεία είναι μεγαλύτερα και κάπως πιο αργά απ' ότι τα αντίστοιχα δυναμικά στοιχεία.

Παρόμοια, η αυξανόμενη δυσκολία και το αιχανόμενο κόστος αποσφαλμάτωσης και δοκιμής έχει αναγκάσει τους μηχανικούς να τοποθετήσουν στις ακολουθιακές δομές, στοιχεία σχεδιασμένα για τη δοκιμή (design for test, DFT). Το σημαντικότερο χαρακτηριστικό είναι η σάρωση (scan) - μια ειδική κατάσταση λειτουργίας στην οποία οι μανδαλωτές ή τα flip-flop μπορούν να συνδεθούν αλυσιδωτά σ' ένα μεγάλο καταχωρητή ολισθητης, έτσι ώστε να μπορούν να διαβαστούν και να αναγνωστούν από μια εξωτερικά ελεγχόμενη διαδικασία ή μηχανισμό κατά τη διάρκεια της δοκιμής. Η συγκεκριμένη τεχνική εξετάζεται στην Ενότητα 15.6.2. Η σάρωση έχει γίνει ιδιαίτερα σημαντική, επειδή τα chip έχουν τόσα πολλά μεταλλικά επίπεδα, ώστε τα περισσότερα εσωτερικά σήματα δεν μπορούν να διαχειριστούν απευθείας από τους ακροδέκτες. Επιπλέον, κάποια flip-chips συνδέονται από πάνω προς τα κάτω, κάνοντας την φυσική πρόσβαση αδύνατη. Η σάρωση έχει μειώσει θεαματικά το χρόνο που απαιτείται για να αποσφαλματωθεί ένα chip και έχει μειώσει το κόστος της δοκιμής έτσι ώστε οι περισσότερες μεθοδολογίες σχεδίασης επιβάλλουν ότι όλα τα ακολουθιακά στοιχεία να παρέχουν δυνατότητα σάρωσης, παρόλο που αυτό αυξάνει την επιφάνεια που περιλαμβάνει. Ο Alphα 21264 δεν υποστήριζε πλήρη σάρωση και έτσι ήταν πολύ δύσκολος να αποσφαλματωθεί, οδηγώντας σε μια αργοπορημένη είσοδο στην αγορά.

Η διανομή του ρολογιού είναι μία επιπλέον πρόκληση. Όπως θα δούμε στην Ενότητα 13.4, είναι πολύ δύσκολο να διανεμθεί ένα μεμονωμένο ρολόι σε όλη την έκταση μιας μεγάλης ψηφιδίας με τρόπο ώστε να φτάνει σε όλα τα ακολουθιακά στοιχεία περίπου την ίδια χρονική στιγμή. Ο έλεγχος της χρονικής απόκλισης σε περισσότερα από ένα ρολόγια είναι ακόμα πιο δύσκολος, έτσι σχεδόν όλοι οι σύγχρονοι σχεδιάσεις διανείμουν ένα μόνο ρολόι μεγάλης ταχύτητας. Άλλα σήματα όπως συμπληρωματικά ρολόγια, παλμοί και ρολόγια με καθυστέρηση παράγονται τοπικά, όπου απαιτούνται. Οι ρυθμοί ακμής των ρολογιών θα πρέπει να είναι σχετικά απότομοι ώστε να αποφεύγονται συνθήκες ανταγωνισμού, όπου τόσο ο master όσο και ο slave μανδαλωτής είναι ταυτόχρονα μερικώς ενεργοποιημένοι. Το γενικό ρολόι μπορεί να έχει αργούς ρυθμούς ακμής, μετά από τη διάδοση κατά μήκος μεγάλων καλωδίων, έτσι τοπικά απομονώνεται τοπικά (είτε σε κάθε ακολουθιακό στοιχείο, είτε σε ένα κύτταρο απομονωτή που το μεταδίδει σε μια ομάδα στοιχείων) για να είναι αιχμηροί οι ρυθμοί των ακμών. Η κατανάλωση ισχύος του ρολογιού, από το δίκτυο διανομής των ρολογιών και τα συνδεδεμένα φορτία, συνήθως συνεισφέρει από 1/3 έως 1/2 της συνολικής κατανάλωσης ισχύος του ολοκληρωμένου. Για το λόγο αυτό, τα ρολόγια είναι συνήθως συνδεδεμένα σε μια πόλη AND στον τοπικό απομονωτή ρολογιού, ώστε να απενεργοποιηθούν τα ακολουθιακά στοιχεία για τις μη-ενεργές μονάδες του ολοκληρωμένου.

Όλα τα δισταθή στοιχεία είναι επιφρεπή σε παροδικές/τυχαίες αστοχίες, οι οποίες οφείλονται στα σωματίδια αλφαριθμητής ή σε κοινικές ακτίνες που προσπίπτουν στα κυκλώματα και εισαγάγουν φορτία στους εναίσθητους κόμβους (βλ. Ενότητα 7.3.4). Τα ακολουθιακά στοιχεία απαιτούν σχετικά υψηλή χωρητικότητα στον κόμβο κατάστασης για να επιτύχουν χαμηλά ποσοστά παροδικών/τυχαίων αστοχιών. Αυτό μπορεί να θέσει ένα κάτω όριο στο ελάχιστο μήκος των τρανζίστορ στο συγκεκριμένο κόμβο.

### 10.4.1 Επιλογή στοιχείων

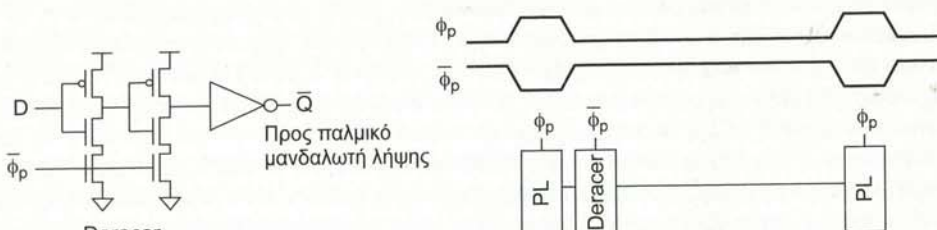
Τα flip-flop, οι παλμικοί μανδαλωτές, και οι διαφανείς μανδαλωτές δίνουν στο σχεδιαστή τη δυνατότητα να κάνει διάφορους συμβιβασμούς μεταξύ της ακολουθιακής επιβάρυνσης, της ανοχής σε χρονική απόκλιση και της απλότητας του κυκλώματος.

**10.4.1.1 Flip-Flop** Όπως είδαμε παραπάνω, τα flip-flop έχουν σχετικά μεγάλη ακολουθιακή επιβάρυνση, αλλά είναι δημοφιλή λόγω της απλότητάς τους. Σχεδόν όλοι οι μηχανικοί καταλαβαίνουν πώς λειτουργεί ένα flip-flop. Ορισμένα εργαλεία σύνθεσης και αναλυτές χρονισμού χειρίζονται τα flip-flop αποτελεσματικότερα από τους διαφανείς μανδαλωτές. Οι περισσότερες μεθοδολογίες σχεδίασης ASIC χρησιμοποιούν αποκλειστικά flip-flop για τις διαδοχικές διοχετεύσεις και τις μηχανές καταστάσεων. Εάν οι απαιτήσεις απόδοσης δεν πλησιάζουν στα όρια των δυνατοτήτων μιας τεχνολογίας κατασκευής, τα flip-flop είναι αδιαμφισβήτητα η σωστή επιλογή στις σημερινές, βασιζόμενες σε εργαλεία CAD μεθοδολογίες σχεδίασης.

**10.4.1.2 Παλμικοί Μανδαλωτές** Οι παλμικοί μανδαλωτές είναι ταχύτεροι από τα flip-flop και παρέχουν δυνατότητες δανεισμού χρόνου με αντίτιμο μεγαλύτερους χρόνους συγκράτησης. Έχουν λιγότερα τρανζίστορ συν

σχετικά έύκολη την ένταξη των παλμικών μανδαλωτών στις βασιζόμενες σε εργαλεία CAD ροές σχεδίασης. Επιπλέον, οι παλμικοί μανδαλωτές παρέχουν δυνατότητα ευκαιριακού διανεισμού χρόνου, για την αντιστάθμιση των ατελειών των μοντέλων ακόμα κι αν δεν απαιτείται εσκεμμένος διανεισμός χρόνου. Οι παλμικοί μανδαλωτές χρησιμοποιούνται σε ορισμένους μικροεπεξεργαστές όπου οι απαιτήσεις απόδοσης αιτιολογούν την προσπάθεια που απαιτείται για τη διαχείριση των χρόνων συγκράτησης.

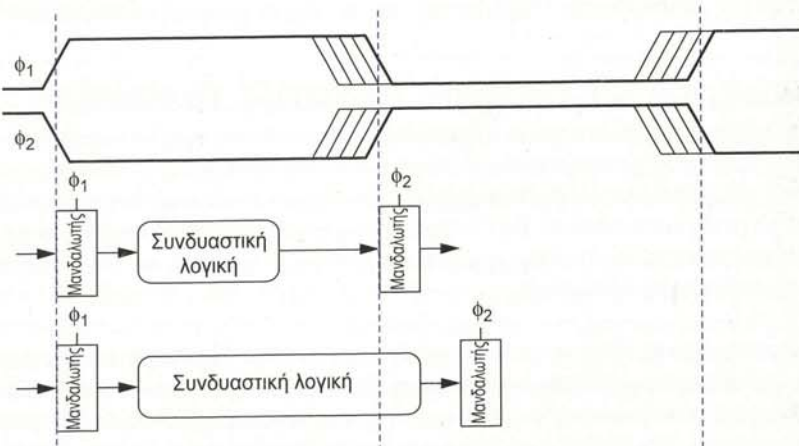
Οι μεγάλοι χρόνοι συγκράτησης καθιστούν τους παλμικούς μανδαλωτές ακατάλληλους για χρήση σε δομές διαδοχικής διοχέτευσης χωρίς στάδια λογικής μεταξύ των βαθμίδων διαδοχικής διοχέτευσης. Μια λύση είναι η χρήση συμβατικών flip-flop αντί των παλμικών μανδαλωτών σ' εκείνες τις περιπτώσεις όπου η ταχύτητα δεν είναι οημαντική. Δυστυχώς, ορισμένοι παλμικοί μανδαλωτές οδηγούν πολλά μονοπάτια στην έξοδό τους, με κάποια από αυτά να έχουν μικρό μήκος ενώ άλλα μεγάλο. Ο επεξεργαστής Itanium 2 χρησιμοποιεί το χρονισμένο κύκλωμα αποτροπής ανταγωνισμού (clocked deracer) σε συνδυασμό με παλμικούς μανδαλωτές Naffziger, όπως απεικονίζεται στο Σχήμα 10.31 [Naffziger02]. Αυτοί τοποθετούνται πριν από τους μανδαλωτές-δέκτες σε μονοπάτια μικρού μήκους και μπλοκάρουν τα μονοπάτια εισόδου κατά τη διάρκεια που ο μανδαλωτής-δέκτης είναι διαφανής: επίσης, προσαρμόζονται αυτόματα στις μεταβολές πλάτους του παλμού οπότε έχουν μικρότερη ονομαστική καθυστέρηση διάδοσης απ' ό,τι οι απομονωτές, αλλά καταναλώνοντας περισσότερο χρόνο από τους απομονωτές λόγω του φορτίου του ρολογιού [Rusu03].



**ΣΧΗΜΑ 10.33** Χρονισμένο κύκλωμα αποτροπής αυταγωνισμού.

**10.4.1.3 Διαφανείς μανδαλωτές** Οι διαφανείς μανδαλωτές επίσης έχουν χαμηλότερη ακολούθιακή επιβάρυνση απ' ό,τι τα flip-flop και είναι πιο επιθυμητοί, επειδή επιτρέπουν σχεδόν μισό του κύκλου για δανεισμό χρόνου. Ένας μανδαλωτής πρέπει να τοποθετηθεί σε κάθε ημι-κύκλο. Τα δεδομένα μπορεί να φτάσουν στο μανδαλωτή κάθε χρονική στιγμή που ο μανδαλωτής είναι διαφανής. Μια βολική σχεδιαστική προσέγγιση είναι να τοποθετηθεί κανονικά ο μανδαλωτής στην αρχή κάθε ημι-κύκλου. Τότε ο δανεισμός χρόνου συμβαίνει όταν η λογική στον ένα ημι-κύκλο είναι μεγαλύτερη από την κανονική και τα δεδομένα δεν φτάνουν στον επόμενο μανδαλωτή έως κάποια στιγμή του επόμενου ημι-κύκλου.

Το Σχήμα 10.34 παρουσιάζει το χρονισμό της διαδοχικής διοχέτευσης για μονοπάτια μικρού και μεγάλου μήκους μεταξύ των μανδαλωτών. Όταν το μονοπάτι είναι μικρού (a), τα δεδομένα φτάνουν νωρίς στο δεύτερο μαγδαλωτή και καθυστερούν μέχρι την ανδρική ακμή του  $\phi_2$ . Για το λόγο αυτό, είναι



**ΣΧΗΜΑ 10.34** Τοποθέτηση μανδαλωτών και δανεισμός χρόνου.

φυσικό να θεωρήσουμε μανδαλωτές που βρίσκονται στην αρχή του μισού-κύκλου, επειδή τα μικρού μήκους μονοπάτια αυτόματα προσαρμόζονται για να λειτουργούν μ' αυτό τον τρόπο. Όταν το μονοπάτι είναι μεγαλύτερο (β), γίνεται δανεισμός χρόνου από το πρώτο-μισό κύκλου στο δεύτερο. Παρατηρήστε ότι η χρονική απόκλιση του ρολογιού δεν καθυστερεί τα μεγάλα μονοπάτια, επειδή τα δεδομένα δεν φτάνουν στο μανδαλωτή έως ότου περάσει και η ανδική ακμή με τη μεγαλύτερη απόκλιση.

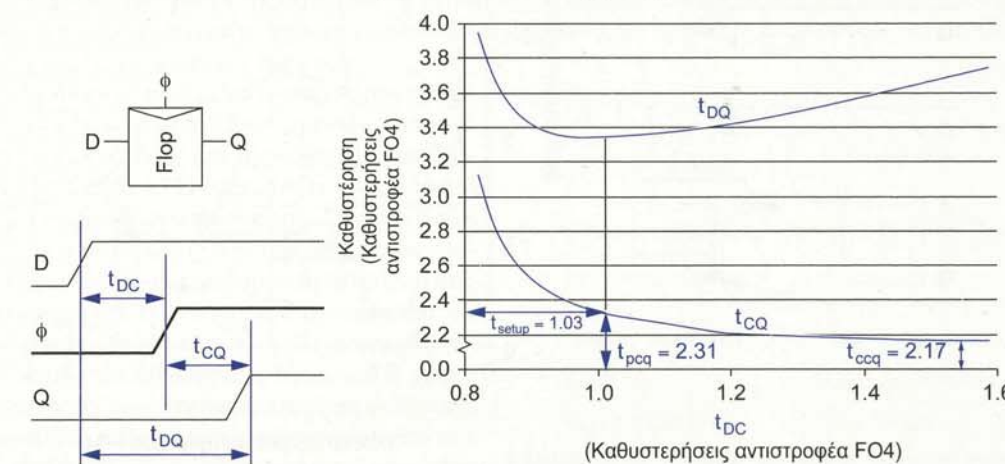
Τα μπλοκ λογικής που εμπειρίζουν πολλαπλά σήματα πρέπει να βεβαιωθούν ότι κάθε μονοπάτι σήματος διέρχεται από δύο μανδάλωτές σε κάθε κύκλο. Τα σήματα μπορούν να κατηγοριοποιηθούν ως φάσης 1 ή φάσης 2 και οι λογικές πύλες πρέπει να δέχονται όλες τις εισόδους τους από την ίδια φάση. Η Ενότητα 10.4.6 αναπτύσσει μια επίσημη σήμανση των τύπων χρονισμού που πρέπει να παρακολουθούνται όταν είναι ασφαλής η χρήση των σημάτων.

#### 10.4.2 Σχεδίαση Ακολουθιακών Δομών Χαμηλής Κατανάλωσης Ισχύος

Στις προηγούμενες ενότητες υπολογίσαμε την απόδοση των ακολουθιακών στοιχείων με βάση τους χρόνους αποκατάστασης και συγκράτησης και τις καθυστερήσεις διάδοσης και μόλυνσης. Αυτές οι καθυστερήσεις σχετίζονται μεταξύ τους και χρησιμοποιούνται για τη σύνταξη προϋπολογισμών. Για παράδειγμα, ένα flip-flop μπορεί να αντιχεινέσει σωστά την είσοδο του ακόμα κι αν τα δεδομένα αλλάζουν ελαφρώς νωρίτερα από το χρόνο αποκατάστασης πριν από την ακμή του ρολογιού. Ωστόσο, η καθυστέρηση από το ρολόι έως το  $Q$  μπορεί να είναι αρκετά μεγάλη σ' αυτή την περίπτωση. Εάν συμβολίσουμε με  $t_{DC}$  το χρόνο στον οποίο τα δεδομένα αποκαθίστανται πριν από την ακμή του ρολογιού και με  $t_{CQ}$  την πραγματική καθυστέρηση από το ρολόι έως το  $Q$ , θα μπορούσαμε να ορίσουμε το  $t_{\text{setup}}$  ως τη μικρότερη τιμή του  $t_{DC}$  έτσι ώστε  $t_{CQ} \leq t_{pcq}$ . Επιπλέον, θα μπορούσαμε να επιλέξουμε το  $t_{pcq}$  με τρόπο ώστε να ελαχιστοποιείται η ακολουθιακή επιβάρυνση  $t_{\text{setup}} + t_{pcq}$ . Στην παρούσα ενότητα θα εξετάσουμε τον τρόπο με τον οποίο χαρακτηρίζονται αυτές οι καθυστερήσεις μέσω προσδομοτιώσης.

Το Σχήμα 10.35 παρουσιάζει το χρονισμό ενός συμβατικού, στατικού ακμοπυροδότητου flip-flop από το Σχήμα 10.19(β). Οι καθυστερήσεις κανονικοποιούνται ως προς έναν αντιστροφέα FO4. Οι πραγματικές καθυστερήσεις  $clk$ -σε- $Q$  ( $t_{CQ}$ ) και  $D$ -σε- $Q$  ( $t_{DQ}$ ) για ανοδική είσοδο απεικονίζονται συναρτήσει των καθυστερήσεών  $D$ -σε- $clk$  ( $t_{DC}$ ) - δηλαδή, σε πόσο χρόνο έφτασαν τα δεδομένα πριν ανέλθει το ρολόι. Εάν τα δεδομένα έφτασαν πολύ πριν από το ρολόι, το  $t_{CQ}$  είναι σύντομο και ουσιαστικά ανεξάρτητό από την καθυστέρηση  $t_{DC}$ . Δεδομένου ότι το  $t_{DQ}$  ισούται με  $t_{DC} + t_{CQ}$ , αυξάνεται γραμμικά όσο πιο νωρίς φτάνουν τα δεδομένα, επειδή τα δεδομένα μπλοκάρονται και περιμένουν το ρολόι πριν συνεχίσουν στο μονοπάτι. Καθώς τα δεδομένα φτάνουν πλησιέστερα στο ρολόι, το  $t_{CQ}$  αρχίζει να ανεβαίνει. Ωστόσο, το  $t_{DQ}$  αρχικά μειώνεται και φτάνει το ελάχιστο όταν το  $t_{CQ}$  έχει κλίση -1 (οημειώστε ότι οι άξονες δεν είναι υπό κλίμακα).

Έστω ότι ορίζουμε το χρόνο αποκατάστασης  $t_{\text{setup}}$  ως το  $t_{DC}$  στον οποίο συμβαίνει αυτό το ελάχιστο  $t_{DQ}$ , και την καθυστέρηση διάδοσης  $t_{pcq}$  ως την  $t_{CQ}$  σ' αυτή τη χρονική στιγμή. Η καθυστέρηση μόλυνσης  $t_{ccq}$  είναι η ελάχιστη  $t_{CQ}$  που συμβαίνει όταν φτάνει νωρίς η εισόδος. Ο χρόνος συγκράτησης είναι η ελάχιστη καθυστέρηση από το ρολόι έως την αλλαγή του  $D$  έτσι ώστε  $t_{CQ} \leq t_{pcq}$ .



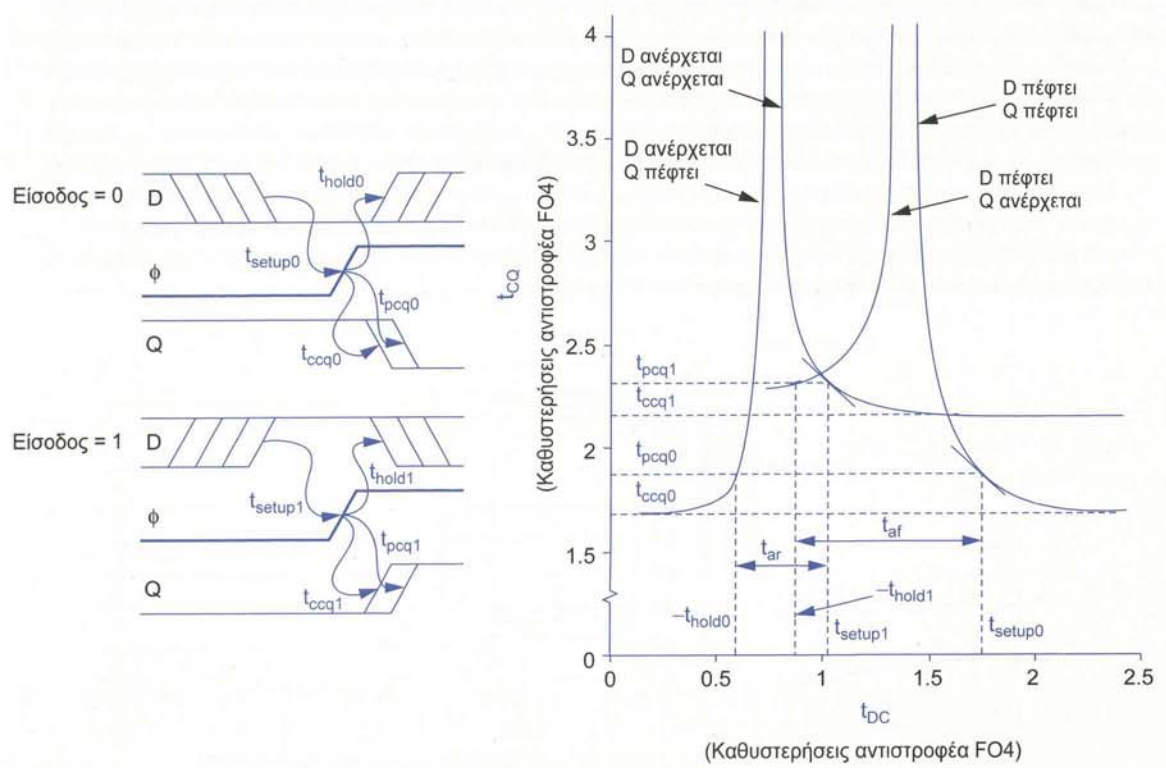
**ΣΧΗΜΑ 10.35** Καθυστερήσεις των flip-flop έναντι χρόνων άφιξης.

Γενικά, οι καθυστερήσεις μπορεί να διαφοροποιούνται για τις εισόδους «0» και «1». Το Σχήμα 10.40 απεικονίζει το  $t_{CQ}$  συναρτήσεις του  $t_{DC}$  για τους τέσσερις συνδυασμούς των ανοδικών και καθοδικών  $D$  και  $Q$ . Οι χρόνοι αποκατάστασης  $t_{\text{setup}0}$  και  $t_{\text{setup}1}$  είναι οι χρόνοι που πρέπει να κατέλθει ή να ανέλθει το  $D$ , αντίστοιχα, πριν από το ρολόι, έτσι ώστε τα δεδομένα να ανιχνευτούν σωστά με το ελάχιστο δυνατό  $t_{DQ}$ . Παρατηρήστε ότι αυτό το flip-flop έχει ένα μεγαλύτερο χρόνο αποκατάστασης αλλά μικρότερη καθυστέρηση διάδοσης για χαμηλές εισόδους από ότι σε υψηλές εισόδους. Οι χρόνοι συγκράτησης  $t_{\text{hold}0}$  και  $t_{\text{hold}1}$  είναι οι χρόνοι στους οποίους το  $D$  πρέπει να πέσει ή να ανέλθει, αντίστοιχα, μετά από το ρολόι έτσι ώστε να ανιχνευτεί η παλαιά τιμή «0» ή «1» αντί για την καινούργια τιμή. Παρατηρήστε ότι οι χρόνοι συγκράτησης είναι συνήθως αρνητικοί. Κι εδώ ξανά, η καθυστέρηση μόλυνσης  $t_{\text{cog}/1}$  είναι η χαμηλότερη δυνατή  $t_{CQ}$  και συμβαίνει όταν αλλάζει η είσοδος αρκετά πριν από την ακμή του ρολογιού. Όταν αναφέρεται μόνο μία καθυστέρηση στις παραμέτρους χρονισμού ενός flip-flop, συνηθίζεται να είναι η χειρότερη από τις καθυστερήσεις «0» και «1».

Το χρονικό άνοιγμα (aperture)  $t_a$  είναι το εύρος του χρονικού παραθύρου γύρω από την ακμή του ρολογιού, κατά τη διάρκεια του οποίου τα δεδομένα δεν πρέπει να αλλάξουν κατάσταση προκειμένου το flip-flop να παράγει το οώστό αποτέλεσμα με καθυστέρηση διάδοσης μικρότερη από  $t_{pcq}$ . Η διάρκεια του χρονικού ανοίγματος για τις ανοδικές και καθοδικές εισόδους είναι:

$$\begin{aligned} t_{ar} &= t_{\text{setup1}} + t_{\text{hold0}} \\ t_{af} &= t_{\text{setup0}} + t_{\text{hold1}} \end{aligned} \quad (10.20)$$

Εάν τα δεδομένα αλλάζουν κατάσταση εντός του χρονικού ανοίγματος, το  $Q$  μπορεί να γίνει μετασταθερό και να απαιτήσει απεριόριστο χρόνο για να αποκατασταθεί. Η μετασταθερότητα εξετάζεται στην Ενότητα 10.6.1. Εάν το  $D$  είναι ένας παλμός πολὺ μικρής διάρκειας, το flip-flop μπορεί να αποτύχει να το συλλάβει ακόμα κι αν το  $D$  είναι σταθερό κατά τους χρόνους αποκατάστασης και συγκράτησης γύρω από την ανοδική ακμή του ρολογιού. Παρομοίως, εάν ο παλμός του ρολογιού είναι πολὺ στενός, το flip-flop μπορεί να αποτύχει να συλλάβει τα σταθερά δεδομένα. Οι βιβλιοθήκες που έχουν άρτια χαρακτηριστεί προσδιορίζουν τα ελάχιστα πλάτη των παλμών για το ρολόι και / ή για τα δεδομένα, καθώς και τους χρόνους αποκατάστασης και συγκράτησης.



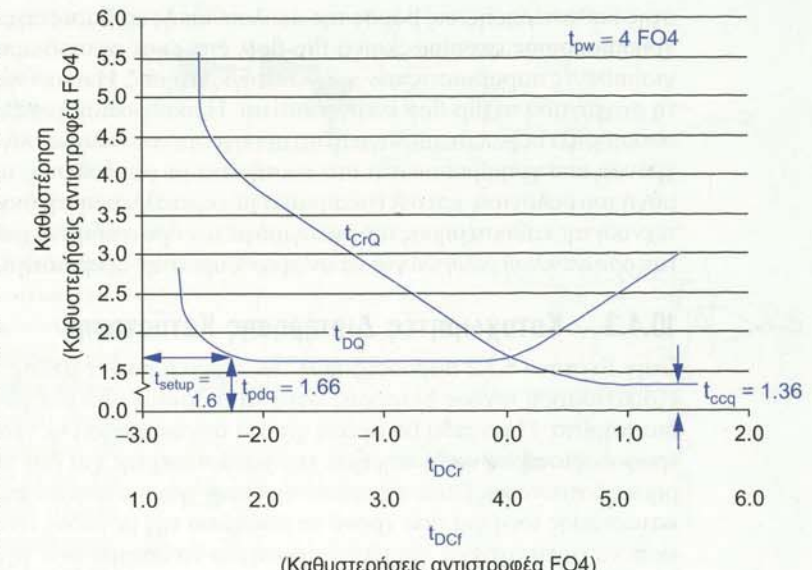
**ΣΧΗΜΑ 10.36** Χρόνοι αποκατάστασης και συγκράτησης flip-flop.

Οι εναίσθητοι στη στάθμη μανδαλωτές έχουν κατά τι διαφορετικούς περιορισμούς, λόγω της διαφάνειας, όπως δείχνει το Σχήμα 10.37 για το συμβατικό στατικό μανδαλωτή του Σχ. 10.17(ζ) με πλάτος παλμού 4 καθυστερήσεις αντιστροφέα FO4. Όμοια μ' ένα ακμοπυροδότητο flip-flop, εάν τα δεδομένα φτάσουν πριν ανέλθει το ρολόι ( $t_{Dcr} > 0$ ), πρέπει να περιμένουν για το ρολόι. Σ' αυτή την περιοχή, η καθυστέρηση ρολόι-σε- $Q$ ,  $t_{CQ}$ , είναι σχεδόν σταθερή και η  $t_{DQ}$  αυξάνεται καθώς τα δεδομένα φτάνουν πιο νωρίς. Εάν τα δεδομένα φτάσουν αφού ανέλθει το ρολόι, ενώσω ο μανδαλωτής είναι διαφανής, η  $t_{DQ}$  είναι ουσιαστικά ανεξάρτητη του χρόνου άφιξης. Τα δεδομένα πρέπει να αποκατασταθούν πριν από την καθοδική ακμή του ρολογιού. Η δεύτερη σειρά ετικετών στον άξονα  $X$  υποδεικνύει το χρόνο καθόδου  $D$ -σε- $clk$ . Καθώς τα δεδομένα φτάνουν πολύ κοντά στην ακμή καθόδου, το  $t_{DQ}$  αυξάνεται. Για να επιτύχουμε μικρό  $t_{DQ}$ , επιλέγουμε το χρόνο αποκατάστασης πριν από το "γόνατο" της καμπύλης - π.χ., 5% μεγαλύτερη από την ελάχιστην καθοδική ακμή του ρολογιού. Εάν τα δεδομένα από την καθοδική ακμή του ρολογιού, το  $Q$  μπορεί να έχει συγκράτησης  $t_{hold}$  για ένα μανδαλωτέα μεταβολή (glitch).

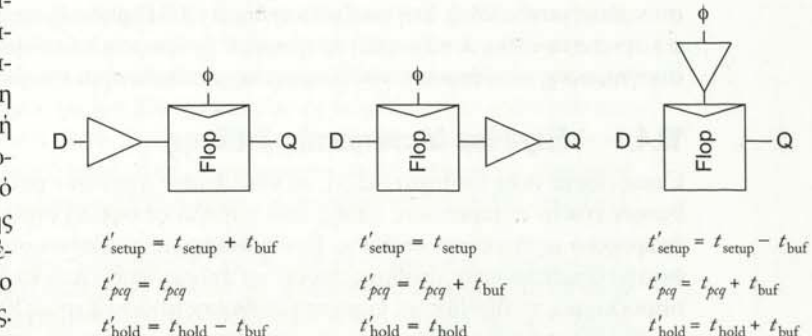
Οι χρόνοι αποκατάστασης και συγκράτησης των παλμικών μανδαλών μετριούνται γύρω από την καθοδική ακμή του ρολογιού. Ωστόσο, οι σχεδιαστές συνήθως θέλουν να αντιμετωπίζουν τους παλμικούς μανδαλωτές ως ακμοπυροδότητα flip-flop από την άποψη της ανάλυσης χρονισμού. Για το λόγο αυτό, μπορούμε να ορίσουμε «εικονικός» χρόνους αποκατάστασης και συγκράτησης σε σχέση με την ανοδική ακμή του ρολογιού [Stojanovic99]. Για παράδειγμα ο παλμικός μανδαλωτής του Σχήματος 10.37 έχει  $t_{\text{setup-virtual}} = t_{\text{setup}} - t_{\text{pw}} = 2.4 \text{ FO4}$  αλλά  $t_{\text{pcq-virtual}} = t_{\text{pdq}} + (t_{\text{pw}} - t_{\text{setup}}) = 4.06 \text{ FO4}$ , οπότε η συνολική ακολουθιακή επιβάρυνση  $t_{\text{pdq}} = t_{\text{setup-virtual}} + t_{\text{pcq-virtual}}$  παραμένει ανεπηρέαστη από την αλλαγή της αναφοράς ή του πλάτους παλμού. Ο εικονικός χρόνος συγκράτησης είναι τώρα  $t_{\text{hold-virtual}} = t_{\text{hold}} + t_{\text{pw}} = 2.6 \text{ FO4}$ , το οποίο είναι θετικό όπως θα περιμένε κάποιος επειδή η είσοδος θα πρέπει να συγκρατηθεί αρκετά μετά από την ανοδική ακμή του ρολογιού.

Οι καθυστέρησεις διαφοροποιούνται ανάλογα με την κλίση της εισόδου, με την τάση και τη θερμοκρασία. Η καθυστέρηση μόλυνσης θα πρέπει να μετριέται στο περιβάλλον όπου είναι πιο μικρή ενώ οι χρόνοι αποκατάστασης & συγκράτησης και η καθυστέρηση διάδοσης θα πρέπει να μετριούνται στο περιβάλλον όπου έχουν τις μεγαλύτερες τιμές τους.

Ο σχεδιαστής μπορεί να επιλέξει ποιον συμβιβασμός θα κάνει μεταξύ των χρόνων αποκατάστασης/ συγκράτησης και της καθυστέρησης διάδοσης. Το Σχήμα 10.42 απεικονίζει την επιδραση που έχει η προσθήκη καθυστέρησης  $t_{buf}$  στο ρολόι, ή στους ακροδέκτες  $D$  ή  $Q$  ενός flip-flop. Όπως γνωρίζετε, η ακολουθιακή επιβάρυνση εξαρτάται από το άθροισμα του χρόνου αποκατάστασης και της καθυστέρησης διάδοσης, ενώ η ελάχιστη καθυστέρηση μεταξύ των flip-flop εξαρτάται από το χρόνο συγκράτησης, μείον την καθυστέρηση μόλυνσης. Η προσθήκη καθυστέρησης είτε στην είσοδο είτε στην έξοδο χαλαρώνει τον περιορισμό της ελάχι-



**ΣΧΗΜΑ 10.37** Καθυστέρηση μανδαλωτή ως προς το χρόνο άφιξης των δεδουλεύνων.

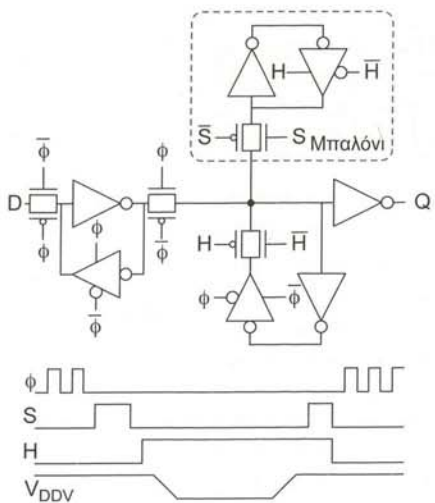


**ΣΧΗΜΑ 10.38** Συμβιβασμοί που μπορούν να γίνουν σε σχέση με την καθυστέρηση.

στης καθυστέρησης, εις βάρος της ακολουθιακής επιβάρυνσης. Αρκετές βιβλιοθήκες τοποποιημένων κυττάρων χρησιμοποιούν σκοπίμως αργά flip-flop, έτσι ώστε οι σχεδιαστές της λογικής να μην χρειάζεται ν' ανησυχούν για πιθανές παραβιάσεις των χρόνων συγκράτησης. Η προσθήκη της καθυστέρησης στο ρολόι απλά μεταποιεί τη στιγμή που το flip-flop ενεργοποιείται. Η ακολουθιακή επιβάρυνση δεν αλλάζει, αλλά το σύστημα μπορεί να υποστηρίξει περισσότερη λογική στο προηγούμενο κύκλο και λιγότερη στον επόμενο. Αυτό μοιάζει με το δανεισμό χρόνου που χρησιμοποιείται στα συστήματα με μανδαλώτες, αλλά πρέπει να γίνεται σκόπιμα, με την προσαρμογή του ρολογιού, και όχι ευκαιριακά με εκμετάλλευση της διαφάνειας. Αρκετοί συγγραφείς αναφέρονται στην τεχνική της καθυστέρησης του ρολογιού με τον όρο εσκεμμένη χρονική απόκλιση. Στο παρόν βιβλίο χρησιμοποιούμε τον όρο απόκλιση ρολογιού για να αναφερθούμε στην αιβεβαιότητα δύον αφορά τους χρόνους άφιξης του ρολογιού.

#### **10.4.3 Καταχωρητές Διατήρησης Κατάστασης**

Στην Ενότητα 5.3.2 παρουσιάσαμε την τεχνική power gating (έλεγχος της τροφοδοσίας μέσω πύλης) για την εξοικονόμηση ισχύος διαρροής κατά τη διάρκεια που μια μονάδα παραμένει αδρανής για μεγάλα χρονικά διαστήματα. Η μονάδα θα πρέπει είτε να αρχικοποιήσει εκ νέου τον εαυτό της όταν ξαναγίνει διαθέσιμη ισχύς τροφοδοσίας, είτε να διατηρήσει την κατάστασή της για όσο είναι εκτός τροφοδοσίας. Οι καταχωρητές διατήρησης κατάστασης (state retention registers) χρησιμοποιούν μια δεύτερη τροφοδοσία για την κατακράτηση της κατάστασής τους για όσο χρόνο το υπόλοιπο της μονάδας είναι εκτός λειτουργίας. Απαιτούν ειδική σχεδίαση ώστε να επιτυγχάνουν χαμηλή διαρροή και να αποτρέπουν την αλλοίωση της κατάστασης όταν οι είσοδοι τους μεταβαίνουν σε μη-έγκυρες στάθμες.



**ΣΧΗΜΑ 10.39** Κύκλωμα τύπου «μπαλονιού» για διατήρηση κατάστασης.

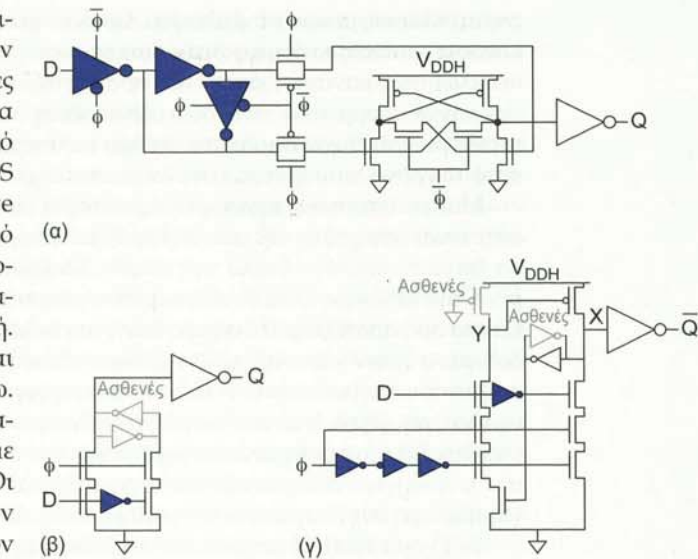
στον slave μανδαλωτή. Στη συνέχεια το σήμα HOLD μηδενίζεται και, τελικά, η μονάδα μπορεί να επανεκκινήσει το φ και να επανέλθει σε κανονική λειτουργία. Το ίδιο κύκλωμα «μπαλονιό» θα μπορούσε να συνδεθεί στον κόμβο αποθήκευσης κατάστασης ενός διαφανούς μανδαλωτή με στόχο και πάλι την αποθήκευση της κατάστασης.

#### 10.4.4 Flip-Flop Μετατροπής Στάθμης

Όπως είδαμε στην Ενότητα 5.2.3.1, τα κυκλώματα απαιτούν μετατροπές στάθμης όταν διασχίζουν τα όρια μεταξύ διαφορετικών επικρατείων τάσης, από χαμηλή σε υψηλή στάθμη. Στο Σχήμα 5.15 παρουσιάσαμε έναν τυπικό, διαφορικό μετατροπέα στάθμης. Εάν η διάσχιση συμβαίνει στο όριο ενός κύκλου του ρολογιού, ο φόρτος που εισάγει ο μετατροπέας στάθμης μπορεί να απορροφηθεί από το flip-flop, εξοικονομώντας χρόνο και ενέργεια. Για παράδειγμα, το flip-flop με ενισχυτή αισθητούς από το Σχήμα 10.29(a) δέχεται εισόδους χαμηλής διακύμανσης.

Η βιβλιογραφία βρίθει αναφορών σε flip-flop μετατροπής στάθμης. Η γενική αρχή είναι ότι οι είσοδοι χαμηλής διακύμανσης θα πρέπει να οδηγούν μόνο nMOS τρανζίστορ ή τρανζίστορ περάσματος, επειδή δεν μπορούν να αποκόπτουν πλήρως τα pMOS τρανζίστορ που συνδέονται στην  $V_{DDH}$ . Στο Σχήμα 10.40 παρουσιάζεται ποικιλία

προσεγγίσεων. Οι μπλε αντιστροφείς και τα τρισταθή στοιχεία χρησιμοποιούνται  $V_{DDL}$ : οι άλλες πώλες χρησιμοποιούνται  $V_{DDH}$ . Τα  $D$  και  $\phi$  μπορούν να χρησιμοποιούνται στάθμες  $V_{DDL}$ . Στο Σχήμα 10.40(a) απεικονίζεται ένα flip-flop μ' ένα ζεύγος slave μανδαλωτών συνδεδεμένων σ' ένα διαφορικό μετατροπέα στάθμης [Hamada98]. Τα διασταυρωμένα nMOS τρανζίστορ εξυπηρετούν για τη στατικοποίηση των slave μανδαλωτών. Το Σχήμα 10.40(b) απεικονίζει έναν απλό μετατροπέα στάθμης με μανδαλωτή [Usami95]. Οι διασταυρωμένοι αντιστροφείς είναι υπεύθυνοι για την αποκατάσταση της στάθμης και για τη στατικοποίηση του μανδαλωτή. Πρέπει να είναι επαρκώς ασθενείς ώστε να υπεροκελιζονται από τους σωρούς των nMOS τρανζίστορ οδήγησης κάτω. Το Σχήμα 10.40(g) απεικονίζει τον εμμέσως παλμικό μετατροπέα στάθμης του Zhao [Zhao09]. Είναι παρόμοιος με το εμμέσως παλμικό DET flip-flop του Σχήματος 10.31. Οι [Zhao09] και [Ishihara04] περιγράφουν ποικιλία άλλων σχεδιάσεων. Ωστόσο, οι εμπορικές σχεδιάσεις χρησιμοποιούν κατά κανόνα συμβατικά flip-flop και διαφορικούς μετατροπείς στάθμης.



**ΣΧΗΜΑ 10.40** Χρήση μανδαλωτών και flip-flop για μετατροπή στάθμης.

#### **10.4.5 Σχεδιαστικό Περιθώριο και Προσαρμοστικά Ακολουθιακά Στοιχεία**

Τα ακολουθιακά κυκλώματα απαιτούν κάποιο περιθώριο στην τάση ή τη συγχνότητα για να εγγυηθούν αξιόπιστη λειτουργία παρά τις διακυμάνσεις. Εάν συνυπολογιστούν όλοι οι παράγοντες, αυτό το περιθώριο υποχρεώνει τους σχεδιαστές να μειώνουν την απόδοση ή την ισχύ κατά 30% ή περισσότερο απ' ό,τι θα μπορούσε να επιτευχθεί στις συνθήκες επεξεργασίας της γωνίας ΤΤ και στις ονομαστικές συνθήκες λειτουργίας<sup>1</sup>. Τα προσαρμοστικά (ή «ανεκτικά στις διακυμάνσεις») ακολουθιακά στοιχεία επιδιώκουν να μειώσουν αυτό το περιθώριο μετρώντας και αντισταθμίζοντας τη διακύμανση.

Η δυναμική κλιμάκωση τάσης είναι μια ιδιαίτερα καλή εφαρμογή για τα προσαρμοστικά ακολουθιακά στοιχεία, επειδή ο συμβιβασμός μεταξύ τάσης και συχνότητας πρέπει να γίνεται σε πολλαπλά σημεία λειτουργίας. Μπορεί να θεωρηθεί ως ένα πρόβλημα βελτιστοποίησης, το οποίο απαιτεί την επιλογή των ελάχιστων τάσεων που είναι αναγκαίες για να επιτευχθεί κάθε επιθυμητή συχνότητα. Ένα ισοδύναμο δυικό πρόβλημα είναι η επιλογή των μέγιστων συχνοτήτων στις οποίες μπορεί να λειτουργεί το κύκλωμα σε διάφορες τάσεις. Η απλούστερη προσέγγιση συνίσταται στον εκ των προτέρων χαρακτηρισμό του ολοκληρωμένου και τη δημιουργία ενός πίνακα ζευγών τάσης-συχνότητας τα οποία παρέχουν εγγυημένη λειτουργία ακόμα και σε διακυμάνσεις χειρίστης περίπτωσης. Η τεχνική αυτή χρησιμοποιείται ευρέως σε εμπορικούς μικροεπεξεργαστές, επειδή είναι απλή στην υλοποίηση και εύκολη στον έλεγχο, αλλά απαιτεί τα πιο συντηρητικά περιθώρια [Stackhouse09]. Μετρώντας τη θερμοκρασία, τη μείωση τάσης και/ή το ρεύμα τροφοδοσίας και εισάγοντας αυτές τις τιμές σ' έναν πίνακα αναζήτησης, τα περιθώρια μπορούν να χαλαρώσουν κάπως [Tschanz07].

Μια προσαρμοστική προσέγγιση, την οποία παρουσιάσαμε στην Ενότητα 7.5.3.6, είναι η κατασκευή μιας «αλυσίδας» καθυστερήσεων που θα μηφείται το μονοπάτι «χειριστης περίπτωσης» στο ολοκληρωμένο και η χρήση αυτής της καθυστέρησης για τον καθορισμό της συχνότητας λειτουργίας. Το κύκλωμα που χρησιμοποιείται για το σκοπό αυτό αποκαλείται «καναρίνι»: με τον ίδιο τρόπο που οι μεταλλωρύχοι στέλνουν ένα καναρίνι στις σήραγγες για να εξακριβώσουν εάν ο αέρας είναι ασφαλής, το ολοκληρωμένο χρησιμοποιεί το «κύκλωμα-καναρίνι» για να εξακριβώσει τη συχνότητα στην οποία μπορεί να λειτουργεί με ασφάλεια [Calhoun04]. Το «κύκλωμα-καναρίνι» ακολουθεί τις γωνίες επιεξεργασίας και περιβάλλοντος, οπότε ένα μέρος

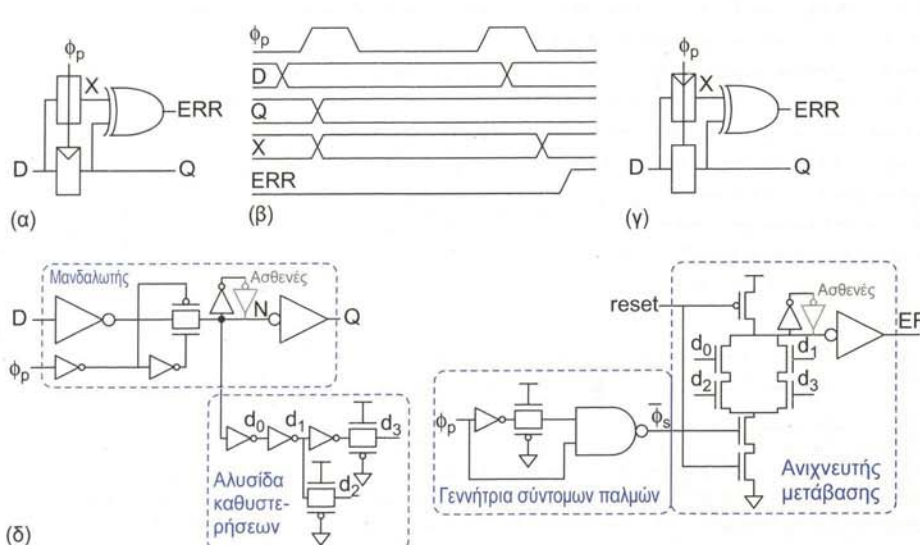
<sup>1</sup> Για παράδειγμα, ορισμένοι χρήστες PC προσπαθούν να ανακτήσουν ένα μέρος αυτής της απόδοσης αυξάνοντας τη συχνότητα ρολογιού (overclocking) της CPU, εκμεταλλεύμενοι το γεγονός ότι οι απαιτήσεις επεξεργασίας θα είναι πιθανώς καλύτερες από τη χειριστή περίπτωση. Συχνά χρησιμοποιούν εξωτικές ψύκτρες για να κρατούν τη θερμοκρασία λειτουργίας κάτω από το επίπεδο της χειριστής περίπτωσης και κατόπιν αυξάνουν σταδιακά την τάση τροφοδοσίας για να πετύχουν ακόμα καλύτερη απόδοση. Κατ' ϕυσικά, περιστασιακά καίνε τις CPU τους υποβάλλοντάς τες σε ακραία υψηλή τάση και/ή θερμοκρασία.

του περιθώριου μπορεί να εξαλειφτεί. Ωστόσο, το σύστημα συνεχίζει να είναι ευάλωτο σε διακυμάνσεις: τυχαίες, κατασκευαστικές, ενδοψηφιδικές διακυμάνσεις τάσης και θερμοκρασίας και άλλες ασυμμετρίες μεταξύ του «κυκλώματος-καναρινιού» και των πραγματικά κρίσιμων μονοπατιών. Επειδή ο χαρακτηρισμός όλων αυτών των πηγών ασυμμετρίας είναι δύσκολη υπόθεση, ο συντηρητικός σχεδιαστής θα φροντίσει να παρέχουν επιπλέον περιθώριο για τυχόν απρόοπτα. Ακόμα καλύτερα, το ποσό του περιθώριου θα μπορούσε να προσαρμόζεται κατά το χρόνο λειτουργίας, ώστε να διασφαλίζει ότι το κύκλωμα θα λειτουργεί σε κάποια ορισμένη ταχύτητα.

Μια εντυπωσιακή πρόσφατη καινοτομία είναι ν' αφήνονται τα ίδια τα κυκλώματα να υποδεικνύουν πότε είναι στο χείλος της αποτυχίας. Αυτό μπορεί να γίνει τροποποιώντας τα ακολουθιακά στοιχεία ώστε να δειγματοληπτούν διπλά την είσοδο. Το κύριο μονοπάτι διαμέσου του ακολουθιακού στοιχείου παραμένει αμετάβλητο, αλλά ένα δευτερεύον μονοπάτι ελέγχου δειγματοληπτεί την είσοδο ελαφρώς αργότερα. Εάν τα δύο αποτελέσματα συμφωνούν, το κύκλωμα λειτουργεί σωστά. Εάν διαφέρουν, αυτό σημαίνει ότι τα δεδομένα έχουν χάσει τον χρόνο αποκατάστασή τους στο κύριο μονοπάτι αλλά τα έχουν καταφέρει έως τη στιγμή που δειγματοληπτούνται για δεύτερη φορά, πράγμα το οποίο σημαίνει ότι η συχνότητα είναι ελαφρώς υψηλότερη, ή η τάση είναι ελαφρώς χαμηλότερη απ' όσο πρέπει. Αυτό το σφάλμα αναφέρεται σ' ένα σύστημα ελεγκτή. Εάν το σύστημα είναι σχεδιασμένο μ' έναν ειδικό μηχανισμό αναπαραγωγής για την επανάληψη των λειτουργιών από μια τελευταία γνωστή «καλή» κατάσταση, η λειτουργία μπορεί να επαναληφθεί σε μια χαμηλότερη συχνότητα ή σε υψηλότερη τάση, όπου θα λειτουργεί σωστά.

Το Σχήμα 10.41(a) παρουσιάζει τη βασική αρχή λειτουργίας του *Razor flip-flop* [Ernst03, Das06]. Το κύριο μονοπάτι χρησιμοποιεί ένα συνθητισμένο flip-flop, ενώ το μονοπάτι ελέγχου χρησιμοποιεί ένα μανδαλωτή. Το flip-flop δειγματοληπτεί στην ανοδική ακμή του  $\phi_p$ , ενώ ο μανδαλωτής δειγματοληπτεί κάποια αργότερη στιγμή, στην καθοδική ακμή του  $\phi_p$ . Το Σχήμα 10.41(b) απεικονίζει τη λειτουργία του κυκλώματος. Εάν τα δεδομένα φθάνουν τουλάχιστον κατά ένα χρόνο αποκατάστασης πριν από την ανοδική ακμή του  $\phi_p$ , αμφότερα τα στοιχεία δειγματοληπτούν την ίδια τιμή. Εάν τα δεδομένα φθάνουν αργότερα, το flip-flop «χάνει» τα δεδομένα και η XOR παράγει ένα σήμα *ERR* (σφάλματος). Στα σήματα *ERR* απ' όλα τα flip-flop του συστήματος (ή τουλάχιστον εκείνα που βρίσκονται στα δυναμικά κρίσιμα μονοπάτια) εφαρμόζεται μια OR για να υποδειξεί ένα σφάλμα και να πυροδοτήσει το μηχανισμό επανάληψης.

Η τάση λειτουργίας και η συχνότητα προσαρμόζονται έως ότου το σύστημα να γίνει μόλις και μετά βίας λειτουργικό, πράγμα το οποίο σημαίνει ότι παρέχεται ελάχιστο περιθώριο: το κύκλωμα λειτουργεί «στην κόψη του ξυραφιού» (γι' αυτό και αποκαλείται «razor»). Διακυμάνσεις σε συνθήκες όπως ο θόρυβος τροφοδοσίας, ασυνήθιστα μεγάλος θόρυβος συνακρόασης, ή ακόμα και ενεργοποίηση ενός σπανίως πυροδοτούμενου κρίσιμου μονοπατιού, αρκούν για να καθυστερήσουν την άφιξη του *D* και προκαλούν περιστασιακά σφάλματα. Το πλάτος του παλμού του ρολογιού εμπειριέχει ένα συμβιβασμό μεταξύ της ανίχνευσης σφάλματος και του χρόνου συγκράτησης. Πλατύτεροι παλμοί επιτρέπουν την ανίχνευση αργοπορημένων εισόδων σαν σφάλματα,



ΣΧΗΜΑ 10.41 Προσαρμοστικά ακολουθιακά στοιχεία.

πράγμα το οποίο ανδάνει την επιτρεπτή διαφορά μεταξύ της τυπικής καθυστέρησης και της καθυστέρησης χειριστηρικής περίπτωσης. Ωστόσο, ο χρόνος συγκράτησης ανδάνεται με το πλάτος παλμού, ακριβώς όπως και σ' έναν παλμικό μανδαλωτή. Επειδή η διαχείριση των μεγάλων χρόνων συγκράτησης είναι δύσκολη, είναι προτυπότερος ένας σχετικά στενός παλμός (π.χ., < 3 καθυστέρησης FO4).

Το κύκλωμα *Razor* έχει το μειονέκτημα ότι το flip-flop μπορεί να μεταπέσει σε μετασταθερή κατάσταση εάν το *D* αλλάζει κατά τη διάρκεια του χρονικού ανοίγματος. Εάν το *Q* καταλήξει στην ίδια τιμή με το μανδαλωτή, δεν θα προκληθεί σφάλμα, αλλά ο χρόνος διάδοσης διαμέσου του flip-flop μπορεί να αυξηθεί κατά ένα απροσδιόριστο ποσό χρόνου. Ο [Ernst03] προτείνει την προσθήκη ενός ανιχνευτή μετασταθερότητας, πράγμα το οποίο ανδάνει σημαντικά την επιβάρυνση του κυκλώματος.

Το Σχήμα 10.41(γ) παρουσιάζει μια βελτιωμένη δομή με όνομα *Double Sampling with Time Borrowing* (DSTB), διπλή δειγματοληψία με δανεισμό χρόνου, η οποία μεταφέρει την κατάσταση μετασταθερότητας έξω από το μονοπάτι δεδομένων, στο μονοπάτι σφάλματος [Bowman09]. Εάν τα δεδομένα φθάνουν ελαφρώς αργοπορημένα, ο παλμικός μανδαλωτής θα μπορέσει να τα ανιχνεύσει σωστά. Το flip-flop είτε δεν θα τα προλάβει, προκαλώντας το σήμα *ERR* το οποίο σηματοδοτεί ότι το σύστημα είναι κοντά στο όριο αποτυχίας, είτε θα μεταβεί σε μετασταθερή κατάσταση. Υποθέτοντας ότι το μονοπάτι σφάλματος έχει άφθονο χρονικό περιθώριο, η κατάσταση μετασταθερότητας μπορεί να αντικειτωπίσει πριν δειγματοληπτηθεί το *ERR*.

Το Σχήμα 10.41(δ) παρουσιάζει τον παλμικό μανδαλωτή *Razor II* [Das09], ο οποίος αποτελείται από ένα συνηθισμένο παλμικό μανδαλωτή, μια γεννήτρια σύντομων παλμών κι έναν ανιχνευτή μετάβασης. Η γεννήτρια παράγει ένα σύντομο καθοδικό παλμό όταν ο μανδαλωτής γίνεται διαφανής. Ο ανιχνευτής μετάβασης σηματοδοτεί ένα σφάλμα εάν παρατηρηθούν οποιεσδήποτε μεταβολές έξω από αυτό το σύντομο παλμό. Ο ανιχνευτής μετάβασης χρησιμοποιεί μια δυναμική δομή XOR προφορτισμένη από το σήμα *reset*, το οποίο πρέπει να επανεφαρμόζεται μετά από την ανίχνευση κάθε σφάλματος. Το πλάτος του σύντομου παλμού θέτει το δανεισμό χρόνου, το πλάτος του μεγαλύτερης διάρκειας παλμού θέτει το χρόνο συγκράτησης και η διαφορά τους θέτει το χρονικό παράθυρο ανιχνευσης κατά τη διάρκεια του οποίου μπορούν να ανιχνεύονται σφάλματα καθυστέρησης.

Επιπρόσθια με την ανίχνευση των αργοπορημένων δεδομένων, αυτά τα προσαρμοστικά ακολουθιακά στοιχεία μπορούν να ανιχνεύουν τυχαία/παροδικά σφάλματα. Μια αιχμή σωματιδίων που αλλοιώνει την κατάσταση του μανδαλωτή ή του flip-flop θα πυροδοτήσει το σήμα *ERR*. Μια αιχμή σωματιδίων που περιλαμβάνει μια αιφνίδια μεταβολή (glitch) στη συνδυαστική λογική είναι σημαντική μόνο εάν αναγκάζει το ακολουθιακό στοιχείο να ανιχνεύσει λανθασμένη τιμή. Εφόσον το χρονικό παράθυρο ανιχνευσης είναι μεγαλύτερης διάρκειας από την αιφνίδια ανεπιθύμητη μεταβολή, θα ενεργοποιηθεί επίσης το σήμα *ERR*. Τότε μπορεί να χρησιμοποιηθεί ο μηχανισμός αναπαραγωγής/επανάληψης για να υπολογίσει (εκ νέου) το αποτέλεσμα σωστά.

#### 10.4.6 Τύποι Χρονισμών Διπλής Φάσης

Αυτή η ενότητα περιλαμβάνεται στην όλη που είναι διαθέσιμη online, μέσω του συνδέσμου «Web Enhanced», στον ιστότοπο [www\\_cmosvlsi.com](http://www_cmosvlsi.com).



#### 10.5 Ακολουθιακή Λογική σε Δυναμικά Κυκλώματα

Αυτή η ενότητα περιλαμβάνεται στην όλη που είναι διαθέσιμη online, μέσω του συνδέσμου «Web Enhanced», στον ιστότοπο [www\\_cmosvlsi.com](http://www_cmosvlsi.com).



#### 10.6 Συγχρονιστές

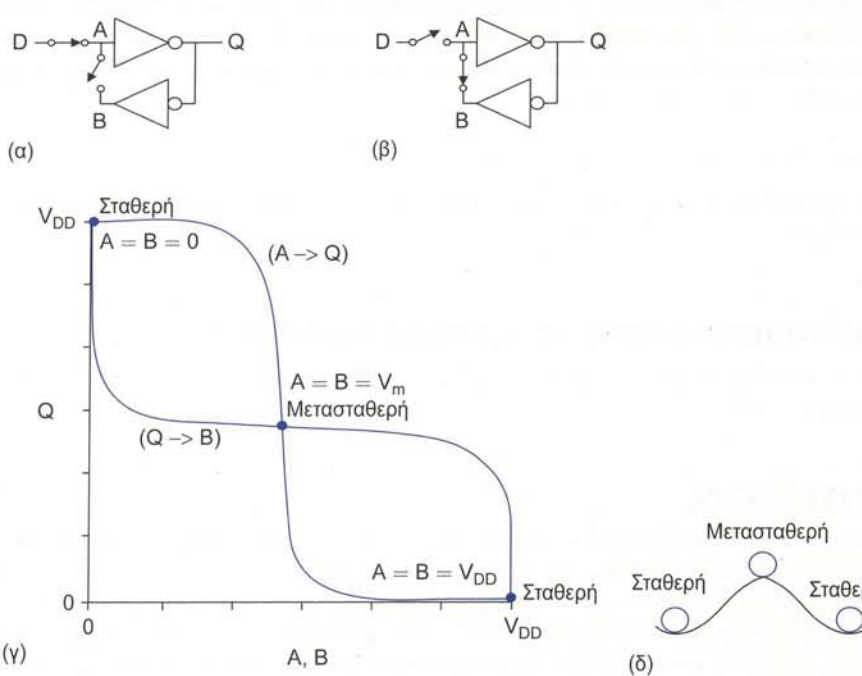
Τα ακολουθιακά στοιχεία χαρακτηρίζονται από τους χρόνους αποκατάστασης (setup) και συγκράτησης (hold). Εάν τα δεδομένα εισόδου αλλάζουν πριν από το χρόνο αποκατάστασης, η έξοδος αντικατοπτρίζει τη νέα τιμή μετά από μια ορισμένη καθυστέρηση διάδοσης. Εάν τα δεδομένα αλλάζουν μετά από το χρόνο συγκράτησης, η έξοδος αντικατοπτρίζει την παλαιά τιμή μετά από μια ορισμένη καθυστέρηση διάδοσης. Εάν τα δεδομένα αλλάζουν κατά τη διάρκεια του χρονικού ανοίγματος (μεταξύ των χρόνων συγκράτησης και αποκατάστασης), η έξοδος μπορεί να είναι μη-προβλέψιμη και ο χρόνος για να σταθεροποιηθεί η έξοδος

σε σωστή λογική στάθμη μπορεί να είναι απροσδιόριστος. Τα σωστά σχεδιασμένα σύγχρονα κυκλώματα διασφαλίζουν ότι τα δεδομένα παραμένουν σταθερά κατά τη διάρκεια του χρονικού ανοίγματος. Ωστόσο, υπάρχουν ορισμένα ενδιαφέροντα συστήματα τα οποία χρειάζεται να λαμβάνουν δεδομένα προερχόμενα από πηγές που δεν είναι συγχρονισμένες στο ίδιο ρολόι. Για παράδειγμα, ο χρήστης ενός συστήματος μπορεί να πατήσει ένα κουμπί ανά πάσα στιγμή, ενώ τα δεδομένα που έρχονται από το δίκτυο μπορεί να είναι συγχρονισμένα μ' ένα ρολόι διαφορετικής φάσης ή συγνότητας.

Ο συγχρονιστής (synchronizer) είναι ένα κύκλωμα το οποίο δέχεται μια είσοδο που μπορεί να αλλάξει σε τυχαίες χρονικές στιγμές και παράγει μια έξοδο ισοσταθμισμένη με το ρολόι του συγχρονιστή. Επειδή η είσοδος μπορεί να αλλάξει κατά το διάστημα μεταξύ αυτών των δύο χρονικών στιγμών, ο συγχρονιστής έχει μη-μηδενική πιθανότητα να παράγει μετασταθερή έξοδο [Chaney73]. Σ' αυτή την ενότητα θα εξετάσουμε κατ' αρχήν την αντίδραση ενός μανδαλωτή σε μια αναλογική τάση η οποία μπορεί να αλλάξει γύρω από την ακμή του ρολογιού δειγματοληψίας. Ο μανδαλωτής μπορεί να εισέλθει σε κατάσταση μετασταθερότητας για κάποιο απροσδιόριστο χρονικό διάστημα, αν και η πιθανότητα να παραμείνει μετασταθερός μειώνεται εκθετικά ως προς το χρόνο. Για το λόγο αυτό, μπορεί κανείς να κατασκευάσει έναν απλό συγχρονιστή με την εξής διαδικασία: δειγματοληψία ενός σήματος, αναμονή έως ότου η πιθανότητα μετασταθερότητας να είναι αποδεκτά χαμηλή και κατόπιν εκ νέου δειγματοληψία του σήματος. Σε ορισμένες περιπτώσεις, η σχέση των δεδομένων και του χρονισμού του ρολογιού είναι πιο προβλέψιμη, γεγονός το οποίο επιτρέπει την κατασκευή πολλών συγχρονιστών.

### 10.6.1 Μετασταθερότητα

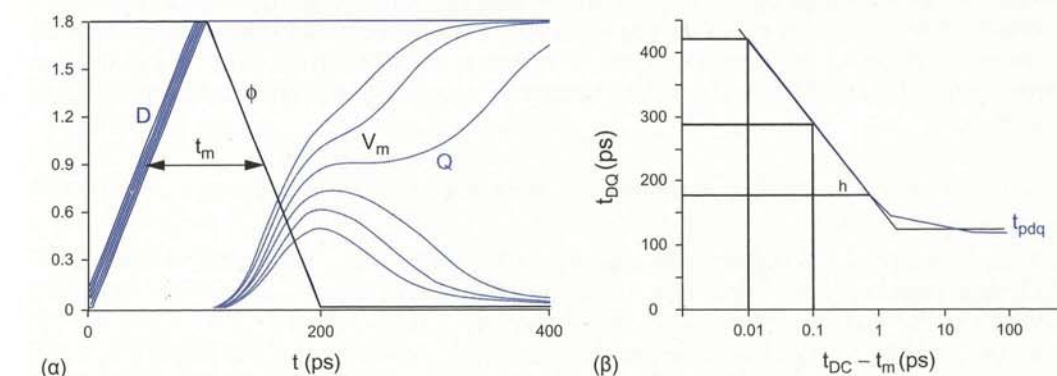
Ο μανδαλωτής είναι ένα δισταθές στοιχείο με δύο σταθερές καταστάσεις, τις 0 και 1. Υπό τις κατάλληλες συνθήκες, ωστόσο, ο μανδαλωτής μπορεί να εισέλθει σε μια μετασταθερή κατάσταση στην οποία η έξοδος είναι σε μια απροσδιόριστη κατάσταση ανάμεσα στο 0 και στο 1. Για παράδειγμα, το Σχήμα 10.42 παρουσιάζει ένα απλό μοντέλο για ένα στατικό μανδαλωτή που αποτελείται από δύο διακόπτες (στην πράξη, θα είναι πιθανότατα πύλες μετάδοσης) και δύο αντιστροφές. Κατά τη διάρκεια που ο μανδαλωτής είναι διαφανής, ο διακόπτης δειγματοληψίας κλείνει και ο διακόπτης συγκράτησης ανοίγει (Σχήμα 10.42(a)). Όταν ο μανδαλωτής γίνεται αδιαφανής, ο διακόπτης δειγματοληψίας ανοίγει και ο διακόπτης συγκράτησης κλείνει (Σχήμα 10.42(b)). Το Σχήμα 10.42(g) παρουσιάζει τις χαρακτηριστικές μεταφοράς DC των δύο αντιστροφών. Επειδή



ΣΧΗΜΑ 10.42 Κατάσταση μετασταθερότητας σε στατικό μανδαλωτή.

$A=B$  όταν ο μανδαλωτής είναι αδιαφανής, οι σταθερές καταστάσεις είναι  $A=B=0$  και  $A=B=V_{DD}$ . Η μετασταθερή κατάσταση αντιστοιχεί σε  $A=B=V_m$ , όπου  $V_m$  είναι μια μη-έγκυρη λογική στάθμη. Αυτό το σημείο αποκαλείται μετασταθερό, επειδή οι τάσεις είναι αυτο-συνεπείς και μπορούν να παραμείνουν σ' αυτό το σημείο επ' αόριστον. Ωστόσο, οποιαδήποτε μορφή θορύβου ή άλλη διαταραχή θα αναγκάσει τα  $A$  και  $B$  να μεταβούν σε μία από τις δύο σταθερές καταστάσεις. Μια παραστατική αναλογία δίνεται στο Σχήμα 10.79(δ): μια μπάλα βρίσκεται σε κατάσταση λεπτής ισορροπίας στην κορυφή ενός λόφου. Η κορυφή του λόφου είναι μια μετασταθερή κατάσταση, επειδή οποιαδήποτε διαταραχή θα αναγκάσει τη μπάλα να κυλισει στη μία ή την άλλη πλευρά του λόφου, προς μία από τις δύο σταθερές καταστάσεις στους πρόποδές του.

Το Σχήμα 10.43(a) απεικονίζει την έξοδο του μανδαλωτή του Σχήματος 10.17(ζ) καθώς τα δεδομένα αλλάζουν κατάσταση γύρω από την καθοδική ακμή του ρολογιού. Εάν τα δεδομένα αλλάξουν σε λάθος στιγμή  $t_m$  κατά τη διάρκεια του χρονικού ανοίγματος, η έξοδος μπορεί να παραμείνει στο σημείο μετασταθερότητας για κάποιο διάστημα πριν ισορροπήσει σε μια έγκυρη λογική στάθμη. Το Σχήμα 10.43(β) απεικονίζει το χρόνο  $t_{DQ}$  συναρτήσει του  $t_{DC} - t_m$  σε ημιλογαριθμική κλίμακα, για ανοδική είσοδο και έξοδο. Η καθυστέρηση είναι μικρότερη από, ή ίση με το  $t_{pdq}$  για τις εισόδους που ικανοποιούν το χρόνο αποκατάστασης και αυξάνεται για τις εισόδους που καταφέρνουν υπερβολικά κοντά στο  $t_m$ . Τα σημεία που επισημαίνονται στο γράφημα θα χρησιμοποιηθούν στο παράδειγμα, στο τέλος αυτής της ενότητας.



ΣΧΗΜΑ 10.43 Μεταβατική συμπεριφορά μετασταθερής κατάστασης και καθυστέρηση διάδοσης.

Οι διασταυρώμένοι αντιστροφές συμπεριφέρονται ως γραμμικός ενισχυτής με κέρδος  $G$  όταν το  $A$  είναι κοντά στην τάση μετασταθερής κατάστασης,  $V_m$ . Η καθυστέρηση του αντιστροφέα μπορεί να μοντελοποιηθεί με μια αντίσταση εξόδου  $R$  και ένα χωρητικό φορτίο  $C$ . Μπορούμε να προβλέψουμε τη συμπεριφορά στην κατάσταση μετασταθερότητας υποθέτοντας ότι η αρχική τάση στον κόμβο  $A$  όταν ο μανδαλωτής γίνεται αδιαφανής τη χρονική στιγμή  $t=0$  είναι

$$A(0) = V_m + a(0) \quad (10.21)$$

όπου  $a(0)$  είναι μια μικρή μετατόπιση του σήματος από το σημείο μετασταθερότητας. Το Σχήμα 10.44 παρουσιάζει ένα μοντέλο ασθενούς σήματος για ένα δισταθές στοιχείο σε κατάσταση μετασταθερότητας.

$$\frac{G a(t) - a(t)}{R} = C \frac{da(t)}{dt} \quad (10.22)$$

Η επίλυση αυτής της εξίσωσης υποδεικνύει ότι η θετική ανάδραση οδηγεί, με εκθετικό ρυθμό, το  $a(t)$  μακριά από το σημείο μετασταθερότητας, με σταθερά χρόνου η οποία υπαγορεύεται από το κέρδος και την καθυστέρηση  $RC$  του βρόχου διασταυρωμένων αντιστροφέων.

$$a(t) = a(0) e^{\frac{t}{\tau_s}}; \tau_s = \frac{RC}{G-1} \quad (10.23)$$



ΣΧΗΜΑ 10.44  
Μοντέλο ασθενούς σήματος για ένα δισταθές στοιχείο σε κατάσταση μετασταθερότητας.

Έστω ότι ορίζουμε ότι ο κόμβος θα φτάσει σε μια έγκυρη λογική στάθμη όταν το  $|a(t)|$  υπερβεί κάποια απόκλιση  $\Delta V$ . Ο χρόνος που απαιτείται για να φτάσει σ' αυτή τη στάθμη είναι

$$t_{DQ} = \tau_s [\ln \Delta V - \ln a(0)] \quad (10.24)$$

Αυτό υποδεικνύει ότι η καθυστέρηση διάδοσης του μανδαλωτή αυξάνεται καθώς το  $A(0)$  προσεγγίζει το σημείο μετασταθερότητας και το  $a(0)$  προσεγγίζει το 0. Η καθυστέρηση προσεγγίζει το άπειρο εάν το  $a(0)$  είναι ακριβώς 0, αλλά αυτό δεν μπορεί να συμβεί ποτέ στην πράξη λόγω θορύβου. Ωστόσο, δεν υπάρχει άνω όριο στον πιθανό χρόνο αναμονής  $t$  που απαιτείται για να γίνει έγκυρο το σήμα. Εάν η είσοδος  $A(t)$  είναι μια ράμπα που διέρχεται από το  $V_m$  τη χρονική στιγμή  $t_m$ , το  $a(0)$  είναι ανάλογο του  $t_{DC} - t_m$ . Παρατηρήστε ότι η Εξ. (10.28) ταιριάζει με το λογαριθμικό-γραμμικό τμήμα του Σχήματος 10.43(β). Η σταθερά χρόνου  $\tau_s$  είναι ουσιαστικά το αντίστροφο του γινομένου κέρδους-εύρους ζώνης [Flannagan85]. Για το λόγο αυτό, ο βρόχος ανάδρασης σ' ένα μανδαλωτή θα πρέπει να έχει μεγάλο γινόμενο κέρδους-εύρους ζώνης, ώστε ο μανδαλωτής να απομακρύνεται γρήγορα από τη μετασταθερότητα.

Οι σχεδιαστές πρέπει να γνωρίζουν την πιθανότητα που έχει η καθυστέρηση διάδοσης του μανδαλωτή να ξεπεράσει ένα ορισμένο χρόνο  $t'$ . Οι μεγαλύτερες καθυστέρησεις διάδοσης έχουν μικρότερη πιθανότητα να συμβούν, επειδή απαιτούν το  $a(0)$  να είναι πιο κοντά στο 0. Αυτή η πιθανότητα θα πρέπει να μειώνεται με την περίοδο του ρολογιού  $T_C$ , επειδή μια ομοιόμορφα κατανεμμένη μεταβολή της εισόδου είναι λιγότερο πιθανό να συμβεί κοντά στον κρίσιμο χρόνο. Με προβολή των αποτελεσμάτων της Εξ. (10.28) διαπιστώνουμε ότι θα πρέπει επίσης να μειώνεται εκθετικά με χρόνο αναμονής  $t'$ . Θεωρητικές και πειραματικές μελέτες [Chaney83, Veendrick80, Horstmann89] έχουν δείξει ότι αυτή η πιθανότητα μπορεί να εκφραστεί ως

$$P(t_{DQ} > t') = \frac{T_0}{T_c} e^{-\frac{t'}{\tau_s}} \text{ for } t' > b \quad (10.25)$$

όπου τα  $T_0$  και  $\tau_s$  μπορούν να εξαχθούν μέσω προσσομοίωσης [Baghini02] ή μετρήσεων. Διαισθητικά, ο λόγος  $T_0/T_c$  περιγράφει την πιθανότητα ότι η είσοδος θα αλλάξει κατά τη διάρκεια του χρονικού ανοίγματος μεταξύ των δύο χρόνων, οδηγώντας σε μετασταθερότητα, ενώ ο εκθετικός όρος περιγράφει την πιθανότητα ότι η είσοδος δεν έχει αποκατασταθεί μετά από χρόνο  $t'$  εάν έχει εισέλθει στη μετασταθερότητα. Το μοντέλο είναι έγκυρο μόνο για επαρκώς μεγάλες καθυστέρησεις διάδοσης (δηλαδή,  $h$  σημαντικά μεγαλύτερο από  $t_{pdq}$ ).

### Παράδειγμα 10.8

Βρείτε τα  $\tau_s$ ,  $T_0$  και  $h$  για το μανδαλωτή του Σχήματος 10.43, χρησιμοποιώντας τα δεδομένα που δίνονται στο σχήμα.

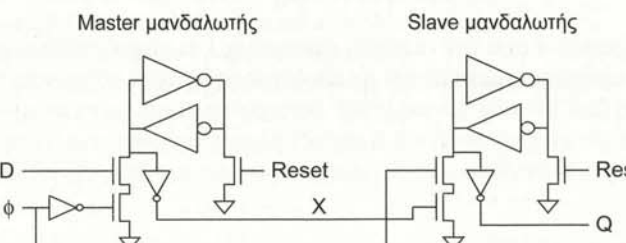
**ΛΥΣΗ:**  $h$  είναι η καθυστέρηση διάδοσης πέρα από την οποία τα δεδομένα ταιριάζουν καλά με ενθεία γραμμή σε λογαριθμική-γραμμική κλίμακα. Στο Σχήμα 10.43, αυτή η καθυστέρηση δείχνει να είναι περίπου 175 ps. Η πιθανότητα ότι η καθυστέρηση υπερβαίνει κάποιο χρόνο  $t'$  είναι η πιθανότητα που έχει η είσοδος να μεταβληθεί σε κάποια τυχαία στιγμή εντός του μικρού χρονικού ανοίγματος (μεταξύ των δύο χρόνων αποκατάστασης και συγκράτησης) που οδηγεί σε υψηλή καθυστέρηση. Μπορούμε να επλέξουμε δύο σημεία στο γραμμικό τμήμα του γραφήματος και να λύσουμε ως προς τους δύο αγωνώστους. Για παράδειγμα, επιλέγοντας τα σημεία (0.1 ps, 290 ps) και (0.01 ps, 415 ps), λύνουμε τις

$$P(t_{DQ} > 290 \text{ ps}) = \frac{0.1 \text{ ps}}{T_c} = \frac{T_0}{T_c} e^{-\frac{290 \text{ ps}}{\tau_s}} \quad (10.26)$$

$$P(t_{DQ} > 415 \text{ ps}) = \frac{0.01 \text{ ps}}{T_c} = \frac{T_0}{T_c} e^{-\frac{415 \text{ ps}}{\tau_s}}$$

Το  $T_C$  εξαλείφεται από τις εξισώσεις και άρα καταλήγουμε σε  $\tau_s = 54 \text{ ps}$  και  $T_0 = 21 \text{ ps}$ . Θυμηθείτε ότι αυτά τα δεδομένα ελήφθησαν από ένα ανοδικό σήμα εισόδου. Μια συντηρητική σχεδίαση θα πρέπει επίσης να συνυπολογίζει την καθοδική είσοδο και να λαμβάνει τα δεδομένα από τις αργές και όχι από τις τοπικές συνθήκες λειτουργίας.

Έχουμε δει ότι ένας καλός μανδαλωτής συγχρονισμού θα πρέπει να έχει ένα βρόχο ανάδρασης με υψηλό γινόμενο κέρδους-εύρους ζώνης. Οι συμβατικοί μανδαλωτές έχουν τα τρανζίστορ δεδομένων και ρολογιού σε σειρά, πράγμα το οποίο αυξάνει την καθυστέρηση (μειώνει το εύρος ζώνης). Το Σχήμα 10.45 παρουσιάζει ένα flip-flop συγχρονιστή στο οποίο οι βρόχοι ανάδρασης απλοποιούνται σε διασταυρωμένα ζεύγη αντιστροφών [Dike99]. Επιπλέον, το flip-flop αρχικοποιείται (reset) σε 0 και στη συνέχεια τίθεται σε 1 μόνο εάν  $D=1$ , για ελαχιστοποίηση του φορτίου στο βρόχο ανάδρασης.



ΣΧΗΜΑ 10.45 Γρήγορος συγχρονιστής (flip-flop).

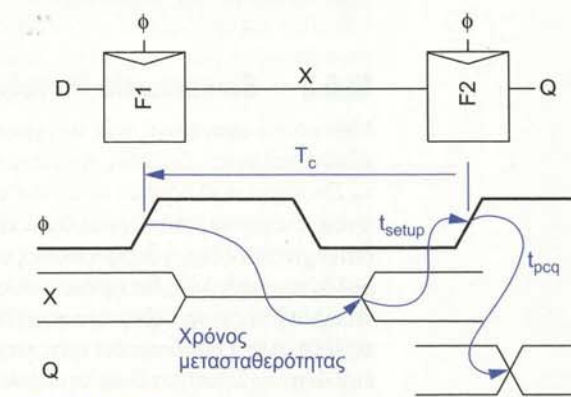
To flip-flop αποτελείται από master-slave μανδαλωτές «κάθετου» (jamb) τύπου. Κάθε μανδαλωτής αρχικοποιείται σε 0 όταν  $D=0$ . Όταν το  $D$  ανέρχεται πριν από το  $\phi$ , η έξοδος  $X$  του master μανδαλωτή οδηγείται σε υψηλή στάθμη. Αυτό, με τη σειρά του, οδηγεί την έξοδο  $Q$  του slave μανδαλωτή σε υψηλή στάθμη όταν ανέρχεται το  $\phi$ . Τα τρανζίστορ οδήγησης κάτω είναι επαρκώς μεγάλα ώστε να υπερισχύουν των διασταυρωμένων αντιστροφών, αλλά θα πρέπει επίσης να προσθέτουν όσο το δυνατόν λιγότερη παρασιτική χωρητικότητα στους βρόχους ανάδρασης. Οι έξοδοι  $X$  και  $Q$  απομονώνονται με μικρούς αντιστροφείς, έτσι ώστε να μην αυξάνουν το φορτίο στους βρόχους ανάδρασης.

### 10.6.2 Ένας Απλός Συγχρονιστής

Ένας συγχρονιστής δέχεται μια είσοδο  $D$  κι ένα ρολόι  $\phi$ . Παράγει μια έξοδο  $Q$  η οποία θα έπρεπε να είναι έγκυρη για κάποιο καθορισμένο χρονικό διάστημα μετά από το ρολόι. Ο συγχρονιστής έχει ένα χρονικό παράθυρο το οποίο ορίζεται από τους χρόνους αποκατάστασης και συγκράτησης γύρω από την ανοδική ακμή του ρολογιού. Εάν τα δεδομένα είναι σταθερά κατά το διάστημα αυτό, το  $Q$  θα πρέπει να ισούται με το  $D$ . Εάν τα δεδομένα αλλάζουν κατά το διάστημα αυτό, το  $Q$  θα επιλεχτεί αυθαίρετα. Δυστυχώς, είναι αδύνατο να κατασκευάσουμε έναν ιδιαίτερο συγχρονιστή, επειδή η διάρκεια της μετασταθερότητας δεν μπορεί να καθοριστεί. Ορίζουμε ότι ο συγχρονιστής αποτυγχάνει εάν η έξοδος δεν έχει σταθεροποιηθεί σ' ένα έγκυρο λογικό επίπεδο μετά από κάποιο χρόνο  $t'$ .

Το Σχήμα 10.46 παρουσιάζει έναν απλό συγχρονιστή κατασκευασμένο μ' ένα ζεύγος flip-flop. Το  $F1$  δειγματοληπτεί την ασύγχρονη είσοδο  $D$ . Η έξοδος  $X$  μπορεί να είναι μετασταθερή για κάποιο χρόνο, αλλά θα σταθεροποιηθεί σ' ένα καλό επίπεδο με υψηλή πιθανότητα εάν περιμένουμε αρκετά. Το  $F2$  δειγματοληπτεί το  $X$  και παράγει μια έξοδο  $Q$  η οποία θα πρέπει να είναι έγκυρη λογικό επίπεδο και να είναι στοιχισμένο με το ρολόι. Ο συγχρονιστής έχει μια καθυστέρηση ενός κύκλου ρολογιού,  $T_C$ . Αυτό μπορεί να πέσει εάν το  $X$  δεν έχει σταθεροποιηθεί σ' ένα έγκυρο επίπεδο σ' ένα χρόνο αποκατάστασης πριν από τη δεύτερη ακμή του ρολογιού.

Κάθε flip-flop δειγματοληπτεί στην ανοδική ακμή του ρολογιού όταν ο master μανδαλωτής γίνεται αδιαφανής. Ο slave μανδαλωτής



ΣΧΗΜΑ 10.46 Απλός συγχρονιστής.

απλώς μεταδίδει τα δεδομένα από τον master και δεν επηρεάζει σημαντικά την πιθανότητα της μετασταθερότητας. Εάν ο συγχρονιστής λαμβάνει κατά μέσο όρο  $N$  ασύγχρονες αλλαγές εισόδου στο  $D$  κάθε δευτερόλεπτο, η πιθανότητα αυτοχίας [ $P(\text{failure})$ ] του συγχρονιστή ανά πάσα στιγμή είναι:

$$P(\text{failure}) = N \frac{T_0}{T_c} e^{-\frac{(T_c - t_{\text{setup}})}{\tau_s}} \quad (10.27)$$

Και ο μέσος χρόνος μεταξύ διαδοχικών αυτοχιών (mean time between failures, MTBF) είναι:

$$MTBF = \frac{1}{P(\text{failure})} = \frac{T_c e^{-\frac{(T_c - t_{\text{setup}})}{\tau_s}}}{N T_0} \quad (10.28)$$

Η αποδεκτή τιμή MTBF εξαρτάται από την εκάστοτε εφαρμογή. Για ιατρικό εξοπλισμό, όπου η αξιοποίηση του συγχρονιστή είναι κρίσιμη σημασίας και η καθυστέρηση σχετικά ασήμαντη, το MTBF μπορεί να οριστεί μεγαλύτερο από τη ζωή του σύμπαντος ( $\sim 10^{19}$  δευτερόλεπτα) με το να περιμένουμε περισσότερο από ένα κύκλο ρολογιού πριν χρησιμοποιήσουμε τα δεδομένα. Για μη-κρίσιμες εφαρμογές, το MTBF μπορεί να επιλέγεται ελαφρώς μεγαλύτερο από τον αναμενόμενο χρόνο απασχόλησης του σχεδιαστή στη συγκεκριμένη εταιρεία!

### Παράδειγμα 10.9

Ένα συγκεκριμένο flip-flop συγχρονιστή σε τεχνολογία κατασκευής  $0.25 \mu m$  έχει  $\tau_s = 20 \text{ ps}$  και  $T_0 = 15 \text{ ps}$  [Dike99]. Εάν υποθέσουμε ότι η είσοδος αλλάζει στα  $N=50 \text{ MHz}$  και ο χρόνος αποκατάστασης είναι αμελητέος, ποια είναι η ελάχιστη περίοδος ρολογιού,  $T_c$ , για την οποία το MTBF υπερβαίνει τον ένα χρόνο;

**ΛΥΣΗ:**  $1 \text{ χρόνος} \approx \pi \times 10^7 \text{ δευτερόλεπτα}$ . Συνεπώς, θα πρέπει να επιλύσουμε την

$$\pi \times 10^7 = \frac{T_c}{(5 \times 10^7)(15 \times 10^{-12})} \quad (10.29)$$

αριθμητικά, για ελάχιστη περίοδο ρολογιού  $625 \text{ ps}$  (1.6 GHz).

### Παράδειγμα 10.10

Πόσο περισσότερο πρέπει να περιμένουμε για MTBF 1000 ετών;

**ΛΥΣΗ:** Λύνοντας μια εξίσωση παρόμοια με την Εξ. (10.29) παίρνουμε χρόνο  $760 \text{ ps}$ . Αυξάνοντας το χρόνο αναμονής κατά  $135 \text{ ps}$  βελτιώσαμε το MTBF κατά συντελεστή 1000.

### 10.6.3 Επικοινωνία Μεταξύ Επικρατειών με Ασύγχρονα Ρολόγια

Μια κοινή εφαρμογή των συγχρονιστών είναι σε βαθμίδες επικοινωνίας μεταξύ επικρατειών με ασύγχρονα ρολόγια – δηλαδή, τημπάτων κυκλωμάτων που δεν μοιράζονται το ίδιο ρολόι. Εάν υποθέσουμε ότι το Σύστημα A ελέγχεται από  $clkA$  το οποίο θέλει να μεταδώσει λέξεις δεδομένων  $N$  bit στο Σύστημα B, το οποίο ελέγχεται από  $clkB$ , όπως απεικονίζεται στο Σχήμα 10.47. Τα σύστηματα μπορεί να αναπαριστούν διαφορετικά chip ή διαφορετικές μονάδες μέσα στο ίδιο το chip που χρησιμοποιούν μη-συγχρονισμένα ρολόγια. Κάθε λέξη θα πρέπει να ληφθεί από το Σύστημα B ακριβώς μια φορά. Το Σύστημα A θα πρέπει να εγγυηθεί ότι τα δεδομένα είναι σταθερά τη στιγμή που τα flip-flop του Συστήματος B δειγματοληπτούν τη λέξη. Αυτό υποδεικνύει πότε τα νέα δεδομένα είναι έγκυρα χρησιμοποιώντας ένα σήμα αίτησης ( $Req$ ), έτοι ώστε το Σύστημα B να λαμβάνει τη λέξη μόνο μια φορά παρά μηδέν ή πολλαπλές φορές. Το Σύστημα B απαντάει μ' ένα σήμα επιβεβαίωσης ( $Ack$ ) όταν έχει δειγματοληπτήσει τα δεδομένα, έτοι ώστε το Σύστημα

Α να γνωρίζει πότε τα δεδομένα μπορούν να τροποποιηθούν με ασφάλεια. Εάν η σχέση μεταξύ των  $clkA$  και  $clkB$  είναι άγνωστη, απαιτείται ένας συγχρονιστής στο σημείο επικοινωνίας.

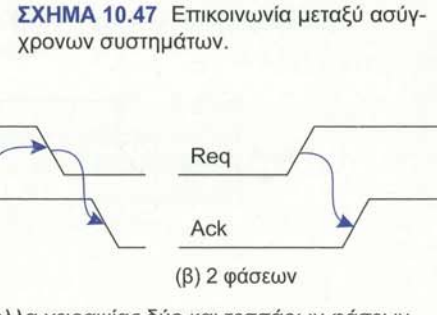
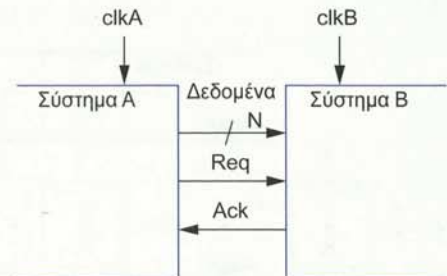
Τα σήματα αίτησης και επιβεβαίωσης αποκαλούνται γραμμές χειραψίας (handshake lines). Το Σχήμα 10.48 παρουσιάζει πρωτόκολλα χειραψίας για δύο φάσεις ή τέσσερεις φάσεις. Η χειραψία 4 φάσεων είναι ευαίσθητη στη στάθμη, ενώ η χειραψία 2 φάσεων ενεργοποιείται από την ακμή. Στη χειραψία 4 φάσεων, το Σύστημα A τοποθετεί τα δεδομένα στο δίαυλο. Στη συνέχεια θέτει το σήμα  $Req$  σε υψηλή στάθμη για να υποδηλώσει ότι τα δεδομένα είναι έγκυρα. Το Σύστημα B δειγματοληπτεί τα δεδομένα όταν δειξεί ότι τα δεδομένα έχουν συλληφθεί. Στη συνέχεια το Σύστημα A χαμηλώνει το  $Req$ , και ακολουθεί το Σύστημα B που χαμηλώνει το  $Ack$ . Αυτό το πρωτόκολλο απαιτεί τέσσερεις μεταβάσεις των γραμμών χειραψίας. Στη χειραψία 2 φάσεων, το Σύστημα A τοποθετεί τα δεδομένα στο δίαυλο. Στη συνέχεια αλλάζει το  $Req$  (από χαμηλή στάθμη σε υψηλή ή από υψηλή στάθμη σε χαμηλή) για να δειξεί ότι τα δεδομένα είναι έγκυρα. Το Σύστημα B δειγματοληπτεί τα δεδομένα όταν ανιχνεύει ότι έχει αλλάξει η λογική στάθμη του  $Req$  και αλλάζει παρόμοια το  $Ack$  για να υποδηλώσει ότι τα δεδομένα έχουν συλληφθεί. Αυτό το πρωτόκολλο χρησιμοποιεί λιγότερες μεταβάσεις (και έτοι πιθανότατα χαμηλότερα ποσά χρόνου και ενέργειας), αλλά απαιτεί κυκλώματα που είναι ευαίσθητα στις ακμές και όχι στα επίπεδα.

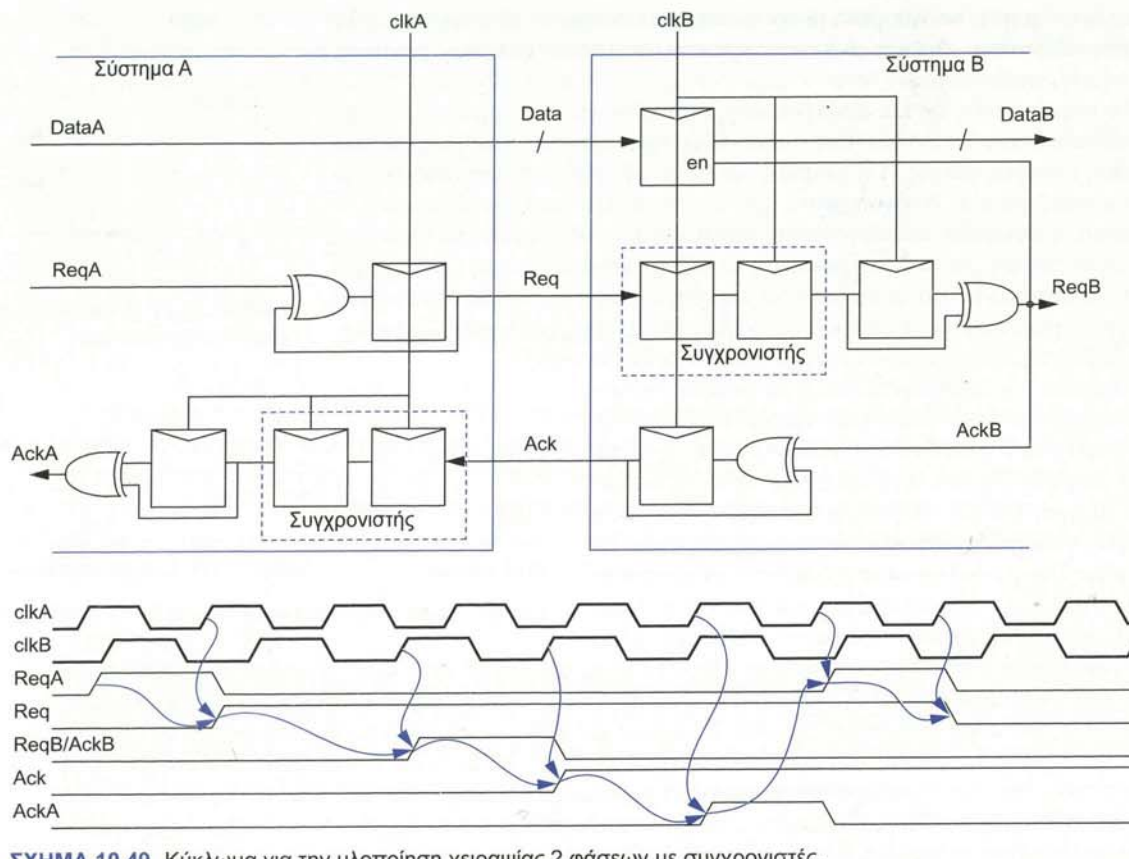
To  $Req$  δεν συγχρονίζεται με το  $clkB$ . Εάν αυτό αλλάζει την ίδια στιγμή που ανέρχεται το  $clkB$ , το Σύστημα B μπορεί να δεχτεί μια μετασταθερή τιμή. Συνεπώς, το Σύστημα B χρειάζεται ένα συγχρονιστή στην είσοδο  $Req$ . Εάν ο συγχρονιστής περιμένει αρκετά, τότε η αίτηση θα έχει πολύ μεγάλη πιθανότητα να γίνει σ' ένα έγκυρο λογικό επίπεδο. Ο συγχρονιστής μπορεί να αποφασίσει ότι το σήμα είναι είτε σε υψηλή στάθμη είτε σε χαμηλή. Εάν αποφασίσει ότι είναι σε υψηλή, έχει ανιχνεύσει την ανοδική αίτηση και το Σύστημα B μπορεί να δειγματοληπτήσει τα δεδομένα. Εάν αποφασίσει ότι είναι σε χαμηλή στάθμη, η ανοδική αίτηση μόλις έχει χαθεί. Ωστόσο, αυτή θα ανιχνευτεί στον επόμενο κύκλο του  $clkB$ , ακριβώς σαν η ανοδική αίτηση να είχε συμβεί λίγο πιο μετά. Το  $Ack$  δεν είναι συγχρονισμένο στο  $clkA$ , και έτοι επίσης απαιτεί ένα συγχρονιστή.

Το Σχήμα 10.49 παρουσιάζει ένα τυπικό σύστημα χειραψίας 2 φάσεων [Crews03]. Τα  $clkA$  και  $clkB$  λειτουργούν σε διαφορετικές συχνότητες και κάθε σύστημα μπορεί να μην γνωρίζει τη συχνότητα του άλλου. Κάθε σύστημα περιέχει ένα συγχρονιστή, ένα μετατροπέα επιπέδων σε παλμών κι ένα μετατροπέα παλμών σε επίπεδα. Το Σύστημα A θέτει το  $ReqA$  για έναν κύκλο όταν το  $DataA$  είναι έτοιμο. Θα αναφέρομαστε σ' αυτό ως παλμός. Η XOR και το flip-flop σχηματίζουν ένα μετατροπέα παλμών σε επίπεδα που αλλάζει το επίπεδο του  $Req$ . Αυτό το επίπεδο συγχρονίζεται με το  $clkB$ . Αυτό το επίπεδο συγχρονίζεται με το  $clkB$ . Όταν ανιχνεύεται μια ακμή, ο μετατροπέας επίπεδο σε παλμό παράγει έναν παλμό στο  $ReqB$ . Αυτός ο παλμός στη συνέχεια αλλάζει το  $Ack$ . Το επίπεδο επιβεβαίωσης συγχρονίζεται στο  $clkA$  και μετατρέπεται πιοσ σ' έναν παλμό στο  $AckA$ . Οι συγχρονιστές προσθέτουν σημαντική καθυστέρηση έτοι ώστε ο ρυθμός απόδοσης της ασύγχρονης επικοινωνίας να είναι πολύ μικρότερος από το ρυθμό απόδοσης της σύγχρονης επικοινωνίας.

### 10.6.4 Κοινά Σφάλματα σε Κυκλώματα Συγχρονιστών

Παρά το γεγονός ότι ο συγχρονιστής είναι ένα απλό κύκλωμα, είναι ευρέως γνωστό ότι είναι επίσης ένα από τα πλέον επιρρεπή σε λανθασμένη χρήση. Για παράδειγμα, ο ελεγκτής χρονισμού συστήματος του AMD 9513, ο ελεγκτής διακοπών του AMD 9519, το υποσύστημα σειριακής επικοινωνίας του Zilog Z-80, ο μικροεπεξεργαστής Intel 8048 και ο μικροεπεξεργαστής AMD 29000 είναι γνωστό ότι αντιμετωπίζουν προβλήματα μετασταθερότητας [Wakerly00]. Στην εργασία του με τίτλο *Fourteen Ways to Fool Your Synchronizer* (δεκατέσσερις τρόποι για να ξεγελάσετε το συγχρονιστή σας), ο [Ginosar03] περιγράφει ορισμένες εξαιρετικά ευφάνταστες σχεδιαστικές.





**ΣΧΗΜΑ 10.49** Κύκλωμα για την υλοποίηση χειραψίας 2 φάσεων με συγχρονιστέ

Ένας τρόπος κατασκευής ενός προβληματικού συγχρονιστή είναι με χρήση προβληματικού μανδαλωτή ή flip-flop. Ο συγχρονιστής βασίζεται στη θετική ανάδραση που οδηγεί την έξοδο σ' ένα καλό λογικό επίπεδο. Για το λόγο αυτό, οι δυναμικοί μανδαλωτές χωρίς ανάδραση, όπως αυτοί των Σχημάτων 10.17(α-δ) δεν δουλεύουν σ' αυτή την περίπτωση. Η πιθανότητα αισιοχώρων αυξάνεται εκθετικά με τη σταθερά χρόνου του βρόχου ανάδρασης. Για το λόγο αυτό, ο βρόχος θα πρέπει να είναι πολύ έλαφρώς φορτωμένος. Ο μανδαλωτής του Σχήματος 10.17(στ) είναι μια φτωχή επιλογή λόγω του μεγάλου χωρητικού φορτίου στην έξοδο, το οποίο αυξάνει τη σταθερά χρόνου. Η υλοποίηση του Σχήματος 10.17(ζ) είναι μια πολύ καλύτερη επιλογή.

Ένα άλλο λάθος είναι η σύλληψη ασυνεπών δεδομένων. Για παράδειγμα, το Σχήμα 10.87(a) παρουσιάζει ένα απλό σήμα που οδηγεί δύο συγχρονιστές (έκαστος αποτελείται από ένα ζεύγος flip-flop συνδεδεμένων «πλάτη με πλάτη»). Εάν το σήμα είναι σταθερό κατά το χρονικό διάστημα μεταξύ των χρόνων αποκατάστασης και συγκράτησης, τα  $Q1$  και  $Q2$  θα είναι τα ίδια. Ωστόσο, εάν το σήμα αλλάζει σ' αυτό το διάστημα, τα  $Q1$  και  $Q2$  μπορεί να αντιστοιχούν σε διαφορετικές τιμές. Εάν το σύστημα απαιτεί τα  $Q1$  και τα  $Q2$  να είναι ίδιες αναπαραστάσεις των δεδομένων εισόδου, θα πρέπει να έρχονται από τον ίδιο συγχρονιστή.

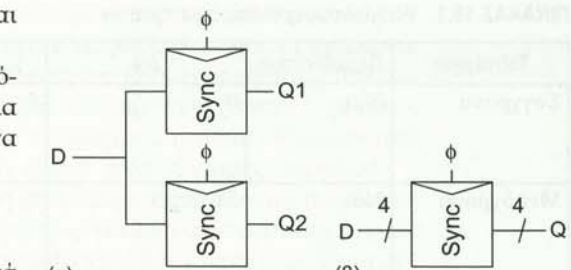
Ένα άλλο παράδειγμα είναι να συγχρονίζεται μια λέξη πολλαπλών bit, στην οποία υπάρχει η πιθανότητα να τροποποιούνται την ίδια χρονική στιγμή παραπάνω από ένα bit. Για παράδειγμα, εάν η λέξη στο Σχήμα 10.50(β) μεταβάλλεται από 0000 σε 1111, ο συγχρονιστής μπορεί να παράγει μια τιμή 0101 η οποία δεν είναι ούτε η παλαιά ούτε η νέα λέξη δεδομένων. Για το λόγο αυτό, το σύστημα του Σχήματος 10.49 συγχρονίζει μόνο τα σήματα *Req/Ack* και τα χρησιμοποιεί για να υποδειχεί ότι τα δεδομένα είναι σταθερά για σκοπούς δειγματοληψίας ή ότι ολοκληρώθηκε η δειγματοληψία. Οι κώδικες *Gray* (βλ. Ενότητα 11.7.3) χρησιμοποιούνται σε μετρητές των οποίων οι έξοδοι θα πρέπει να συγχρονίζονται επειδή αλλάζει

ακριβώς και μόνο ένα bit σε κάθε μέτρηση, έτοι ώστε να διασφαλίζεται ότι ο συγχρονιστής θα βρει είτε την παλαιά, είτε τη νέα τιμή.

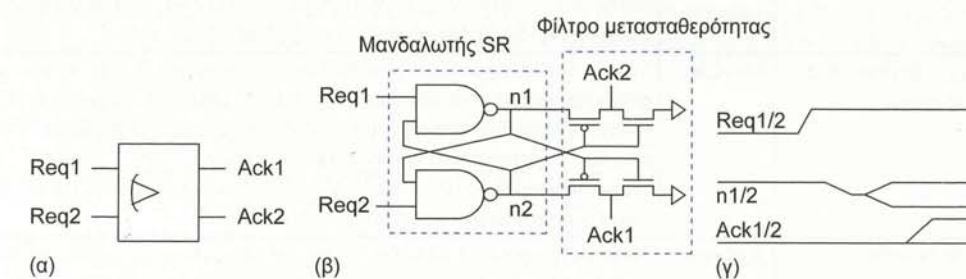
Γενικά, τα προβλήματα των συγχρονιστών είναι περιοδικά διακοπτό μενα και έτοι είναι πολύ δύσκολο να βρεθούν και να διαγνωστούν. Για το λόγο αυτό, ο αριθμός των συγχρονιστών σ' ένα σύστημα θα πρέπει να είναι αυστηρά περιορισμένος.

## 10.6.5 Διαιτητές

Το κύκλωμα διαιτητή (arbiter) του Σχήματος 10.51(α) σχετίζεται στενά με το συγχρονιστή. Καθορίζει ποια από τις δύο εισόδους φτάνει πρώτη. Εάν το χρονικό διάστημα μεταξύ τους των εισόδων υπερβαίνει κάποιο χρόνο, η πρώτη είσοδος θα πρέπει να επιβεβαιωθεί. Εάν το διάστημα είναι μικρότερο, ακριβώς μια από τις δύο εισόδους θα πρέπει να επιβεβαιωθεί αλλά η επιλογή είναι αυθαίρετη. Για παράδειγμα, σ' ένα θέαμα παιχνιδιού της τηλεόρασης, οι δύο συμμετέχοντες μπορεί να πατάνε κουμπά προκειμένου να απαντήσουν σε μια ερώτηση. Εάν πατήσει το κουμπί ένας, τότε θα πρέπει να επιβεβαιωθεί αυτός μόνο. Εάν όμως, και οι δύο πατήσουν το κουμπί σε χρονική στιγμή πολύ κοντά ο ένας στον άλλο για να διασαφηνιστεί με ασφάλεια, ο συντονιστής μπορεί να επιλέξει έναν από τους δύο συμμετέχοντες αυθαίρετα.



**ΣΧΗΜΑ 10.50** Προβληματικές σχεδιάσεις συγχρονιστών.



**ΣΧΗΜΑ 10.51** Κύκλωμα διαιτητή.

Το Σχήμα 10.51(β) παρουσιάζει ένα διαιτητή κατασκευασμένο μ' ένα μανδαλωτή SR κι ένα μετασταθερό φίλτρο τεσσάρων τρανζίστορ. Εάν μια από τις αιτούμενες εισόδους φτάνει πολύ πιο νωρίς απ' ότι η άλλη, ο μανδαλωτής θα αντιδράσει ανάλογα. Ωστόσο, εάν φτάσουν αμφότερες περίπου την ίδια χρονική στιγμή, ο μανδαλωτής μπορεί να οδηγηθεί σε μετασταθερότητα, όπως απεικονίζεται στο Σχήμα 10.51(γ). Το φίλτρο κρατάει και τα δύο σήματα επιβεβαίωσης σε χαμηλή στάθμη έως ότου η διαφορά τάσεων ανάμεσα στους εσωτερικούς κόμβους  $n1$  και  $n2$  να υπερβεί την  $V_{th}$  υποδεικνύοντας ότι έχει παρθεί μια απόφαση. Ένας τέτοιος ασύγχρονος διαιτητής δεν θα παράγει ποτέ μετασταθερές εξόδους. Ωστόσο, ο χρόνος που απαιτείται για να παρθεί η απόφαση μπορεί να είναι χωρίς περιορισμό, και έτοι μετασταθερές εξόδους σε ένα συγχρονισμένο με το ρολόι σύστημα.

Οι διαιτητές μπορούν να γενικευτούν ώστε να επιλέγουν 1 από  $N$  ή  $M$  από  $N$  εισόδους. Ωστόσο, τέτοιοι διαιτητές έχουν πολλαπλές μετασταθερές καταστάσεις και απαιτούν προσεκτικό σχεδιασμό [van Berkel99].

#### 10.6.6 Βαθμοί Συγχρονίας

Ο απόλοις συγχρονιστής της Ενότητας 10.6.2 δέχεται εισόδους οι οποίες μπορεί να αλλάζουν ανά πάσα στιγμή, αλλά έχει καθυστέρηση δύο κύκλων και μη-μηδενική πιθανότητα αστοχίας. Στην πράξη, πολλές είσοδοι μπορεί να μην είναι ευθυγραμμισμένες με το ρολόι του συστήματος αλλά και πάλι να είναι προβλέψιμες. Ο Πίνακας 10.3 παραθέτει τους διάφορους βαθμούς συγχρονίας που μπορεί να υφίστανται μεταξύ σημάτων εισόδου και του ρολογιού του συστήματος λήψης [Messerschmitt90] βάσει διαφοράς φάσης Δφ και συγχρόνης Δf.

ΠΙΝΑΚΑΣ 10.3 Βαθμοί συγχρονίας συστημάτων

Ταξινόμηση	Περιοδικότητα	Δφ	ΔΙ	Περιγραφή
Σύγχρονα	Ναι	0	0	Το σήμα έχει ίδια συχνότητα και φάση με το ρολό. Είναι ασφαλής η δειγματοληψία του σήματος απευθείας από το ρολό. <b>Παράδειγμα:</b> Από flip-flop σε flip-flop στο ίδιο ολοκληρωμένο.
Μεσόχρονα	Ναι	Σταθερό	0	Το σήμα έχει την ίδια συχνότητα με το ρολό, αλλά διαφορετική φάση. Η δειγματοληψία του σήματος είναι ασφαλής εάν καθυστερήσουμε το σήμα κατά ένα σταθερό ποσό χρόνου για να βρεθούμε έξω από το χρονικό άνοιγμα. <b>Παράδειγμα:</b> Από ολοκληρωμένο σε ολοκληρωμένο, σε περιπτώσεις όπου τα ολοκληρωμένα χρησιμοποιούν το ίδιο σήμα ρολογιού, αλλά μπορεί να έχουν αυθαίρετα μεγάλες χρονικές αποκλίσεις.
Πλησίχρονα	Ναι	Διαφοροποιείται αργά	Μικρή	Το σήμα έχει περίπου την ίδια συχνότητα, ενώ η φάση διοιλισθαίνει αργά με την πάροδο του χρόνου. Η δειγματοληψία του σήματος είναι ασφαλής εάν το καθυστερήσουμε κατά ένα μεταβλητό αλλά προβλέψιμο ποσό χρόνου. Η διαφορά στη συχνότητα μπορεί να οδηγήσει σε απόρριψη δεδομένων ή σε διπλότυπα δεδομένα. <b>Παράδειγμα:</b> Από πλακέτα σε πλακέτα, όταν οι πλακέτες χρησιμοποιούν κρυστάλλους ρολογιών με ονομαστικά πανορμούτοπους ρυθμούς, αλλά με μικρές αναντιστοιχίες μεταξύ τους.
Περιοδικά	Ναι	Διαφοροποιείται τάχιστα	Μεγάλη	Το σήμα είναι περιοδικό σε αυθαίρετη συχνότητα. Η περιοδική του φύση μπορεί να αξιοποιηθεί ώστε να προβλεφθεί και να εφαρμοστεί η ανάλογη καθυστέρηση όταν τα δεδομένα θα αλλάξουν μέσα στο κρίσιμο διάστημα του χρονικού ανοίγματος. <b>Παράδειγμα:</b> Από πλακέτα σε πλακέτα, όταν οι πλακέτες χρησιμοποιούν ρολόγια με διαφορετικές συχνότητες.
Ασύγχρονα	Όχι	Άγνωστο	Άγνωστο	Το σήμα μπορεί να αλλάζει των τιμών, ανά πάσα στιγμή. Απαιτείται ένας πλήρης συγχρονισμός. <b>Παράδειγμα:</b> Είσοδος από ένα διακόπτη κουμπού πίεσης.

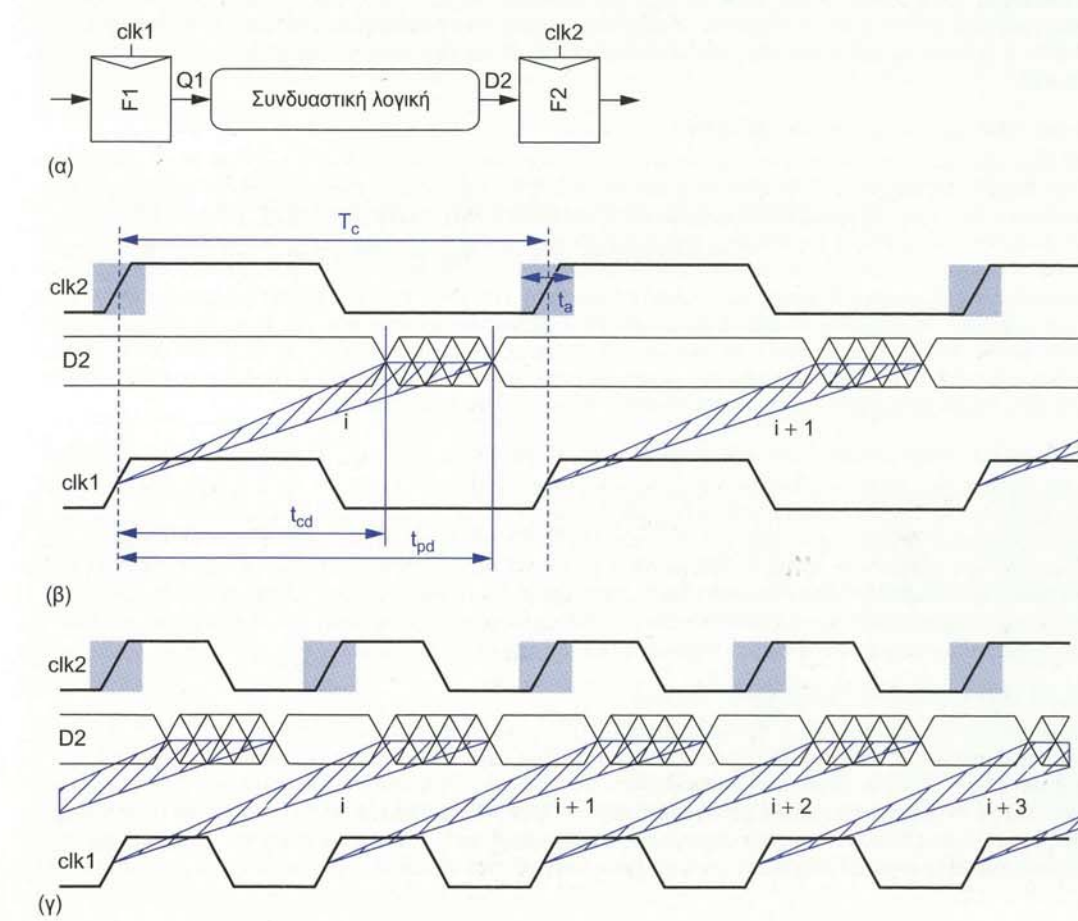
Ο [Dally98] περιγράφει διάφορους συγχρονιστές οι οποίοι έχουν μηδενική πθανότητα αισθοίας και πθανότατα χαμηλότερες καθυστερήσεις όταν η είσοδος είναι μη-προβλέψιμη. Βασίζονται στην παραπήρηση ότι κάθε σήμα ή αντίγραφο του σήματος καθυστερούμενο κατά  $t_a$  θα είναι σταθερό σε όλη τη διάρκεια του χρονικού ανοίγματος μεταξύ των χρόνων αποκατάστασης και συγκράτησης. Συνεπώς, ένας συγχρονιστής που μπορεί να προβλέψει το χρόνο άφιξης της εισόδου μπορεί να επιλέξει είτε το ίδιο το σήμα είτε την καθυστερημένη έκδοσή του για δειγματοληψία εκ του ασφαλούς. Τα μεσόχρονα σήματα συγχρονίζονται μετρώντας τη διαφορά φάσης και καθυστερώντας την είσοδο αρκετά για να διασφαλιστεί ότι βρίσκεται έξω από το χρονικό άνοιγμα. Τα πλησίχρονα σήματα μπορούν να συγχρονίζονται με παρόμοια διαδικασία, αλλά η διαφορά φάσης μεταβάλλεται αργά οπότε είναι αναγκαίο να προσαρμόζεται η καθυστέρηση ανά διαστήματα. Επειδή διαφοροποιούνται οι συχνότητες, ο συγχρονιστής χρειάζεται κάποια μορφή ελέγχου ροής για να χειρίζεται τα χαμένα ή τα πλεονάζοντα στοιχεία δεδομένων. Τα περιοδικά σήματα απαιτούν επίσης έλεγχο ροής και χρησιμοποιούν ένα μηχανισμό πρόβλεψης ρολογιού για να υπολογίζουν πότε θα συμβεί η επόμενη ακμή του ρολογιού και κατά πόσο θα πρέπει να καθυστέρησε το σήμα για να μην πέσει μέσα στο χρονικό άνοιγμα.

## 10.7 Κυματική Διαδοχική Διοχέτευση

Τα ακολουθιακά στοιχεία χρησιμοποιούνται σε συστήματα διαδοχικής διοχέτευσης (pipeline) για να εμποδίσουν το τρέχον σύμβολο να προφτάσει το επόμενο σύμβολο, ή το προηγούμενο σύμβολο να προφτάσει το τρέχον. Εάν τα σύμβολα διαδίδονται μέσω της διαδοχικής διοχέτευσης με σταθερό περίπου ρυθμό, δεν απαιτείται η χρήση συγκεκριμένων ακολουθιακών στοιχείων για να διατηρηθεί η ακολουθία. Σαν παρά-

δειγμα σκεφτείτε τα καλώδια οπτικών ινών, τα οποία μεταφέρουν δεδομένα με τη μορφή μιας σειράς παλμών φωτός. Παρόλο που εισέρχονται πολλοί παλμοί (σύμβολα) στο καλώδιο πριν προλάβει ο πρώτος να φτάσει στο τέλος του καλωδίου, το καλώδιο δεν περιλαμβάνει εσωτερικούς μανδαλώτες για το διαχωρισμό των παλμών μεταξύ τους, επειδή αυτοί μεταδίδονται κατά μήκος του καλωδίου με καλά ελεγχόμενη ταχύτητα. Ο μέγιστος ρυθμός μετάδοσης δεδομένων περιορίζεται από τη σκέδαση κατά μήκος της γραμμής η οποία αλλοιώνει τους παλμούς με τρόπο ώστε να είναι δυσδιάκριτος ο ένας από τον άλλο εάν γίνουν πολύ σύντομης διάρκειας.

Το Σχήμα 10.52 συγκρίνει την «παραδοσιακή» διαδοχική διοχέτευση με την κυματική διαδοχική διοχέτευση (wave pipelining). Και στις δύο τις περιπτώσεις, η διαδοχική διοχέτευση περιέχει στάδια συνδυαστικής λογικής τα οποία διαχωρίζονται με καταχωρητές (Σχήμα 10.52(a)). Οι καταχωρητές  $F1$  και  $F2$  δέχονται τα ρολόγια  $clk1$  και  $clk2$  τα οποία είναι ονομαστικά πανομοιότυπα, αλλά μπορεί να έχουν υποστεί κάποια χρονική απόκλιση. Το Σχήμα 10.52(β) παρουσιάζει μια τυπική διαδοχική διοχέτευση. Τα δεδομένα εκκινούν στην ανοδική ακμή του  $clk1$ . Η διάδοση των δεδομένων σταθερήσει με το διακεκομμένο κώνο. Το  $D2$  γίνεται σταθερό σε κάποιο σημείο μεταξύ των καθυστερήσεων μόλυνσης και διάδοσης μετά από την ακμή του ρολογιού (αγνοώντας την καθυστέρηση  $clk1$  ως  $Q$  του flip-flop). Το  $D2$  δεν πρέπει να αλλάξει στο άνοιγμα μεταξύ των χρόνων αποκατάστασης και συγκράτησης γύρω από το  $clk2$ , πράγμα το οποίο επισημαίνεται μ' ένα γκρι πλαίσιο. Το σχήμα παρουσιάζει δύο διαδοχικούς κύκλους στους οποίους τα σύμβολα  $i$  και  $i+1$  διασχίζουν τη διαδοχική διοχέτευση. Κάθε σύμβολο περνάει από τη διαδοχική λογική σ' ένα μόνο κύκλο. Το Σχήμα 10.52(γ) παρουσιάζει τη κυματική διοχέτευση μ' ένα ρολό διπλάσιας συχνότητας. Το σύμβολο  $i$  εισέρχεται στη συνδυαστική λογική, αλλά απαιτεί δύο κύκλους για να φτάσει το  $F2$ . Εν τω μεταξύ, το σύμβολο  $i+1$  εισέρχεται στη λογική τον επόμενο κύκλο. Εφόσον κάθε σύμβολο είναι σταθερό ώστε να μπορεί να δειγματοληπτηθεί στο  $F2$  και οι κώνοι δεν συμπίπτουν, η διαδοχική διοχέτευση θα λειτουργεί σωστά με την ίδια καθυστέρηση αλλά διπλάσια ρυθμοαπόδοση.



ΣΧΗΜΑ 10.52 Κυματική διαδοχική διοχέτευση.

Στο [Burleson98] περιλαμβάνεται ένας οδηγός εκμάθησης για την τεχνική της διαδοχικής διοχέτευσης και δίνονται οι χρονικοί περιορισμοί. Γενικά, μια διαδοχική διοχέτευση μπορεί να περιέχει  $N$  σύμβολα ανάμεσα σε κάθε ζεύγος καταχωρητών. Η μέγιστη τιμή του  $N$  περιορίζεται από το λόγο της καθυστέρησης διάδοσης προς τη διασπορά των λογικών κώνων.

$$N < \frac{t_{pd}}{t_{pd} - t_{ad}} \quad (10.30)$$

Εάν οι καθυστερήσεις μόλυνσης και διάδοσης είναι περίπου ίσες, η συνδυαστική λογική μπορεί να υποστηρίξει πολλά σύμβολα ταυτόχρονα. Σε πρακτικό επίπεδο, οι καθυστερήσεις παρουσιάζουν συνήθως μεγάλες διαφοροποιήσεις λόγω κατασκευαστικών διακυμάνσεων και διακυμάνσεων τάσης/θερμοκρασίας, καθώς και λόγω διαφορών στο μήκος των μονοπατών που διατρέχουν τη λογική. Η χρονική απόκλιση του ρολογιού και η ακολουθιακή επιβάρυνση παίζουν επίσης ρόλο στη διαμόρφωση της κατανομής του χρόνου. Στην πράξη, είναι δύσκολο να επιτευχθούν ακόμα και  $N=2$  ταυτόχρονα σύμβολα και γ' αυτό η κυματική διαδοχική διοχέτευση δεν έχει τύχει ευρείας αποδοχής σε γενικού σκοπού εφαρμογές λογικής.

## 10.8 Κίνδυνοι και Πλάνες

### Μη πλήρης αναφορά της καθυστέρησης των flip-flop

Η ενεργή καθυστέρηση ενός flip-flop είναι ο ελάχιστος χρόνος από την είσοδο  $D$  έως την έξοδο  $Q$ . Συμποσούται στο άθροισμα του χρόνου αποκατάστασης  $t_{setup}$  και της καθυστέρησης  $clk\text{-}se-Q$ ,  $t_{pdq}$ , εάν αυτές οι καθυστέρησεις οριστούν ώστε να ελαχιστοποιούν το άθροισμα. Ορισμένοι επικεντρώνονται μόνο στην καθυστέρηση  $clk\text{-}se-Q$ , ή ορίζουν τις καθυστερήσεις αποκατάστασης και  $clk\text{-}se-Q$  με τρόπο ο οποίος δεν ελαχιστοποιεί το άθροισμα.

### Αδυναμία ελέγχου των χρόνων συγκράτησης

Ένας από τους κύριους λόγους για τους οποίους αποτυγχάνουν τα ολοκληρωμένα, ακόμα κι αν στο στάδιο της προσομοίωσης δείχνουν να λειτουργούν σωστά, είναι η παραβίαση των χρόνων συγκράτησης και ειδικά οι παραβιάσεις που οφείλονται σε μη-αναμενόμενες αποκλίσεις ρολογιού. Εκτός κι αν η σχεδίαση χρησιμοποιεί μη-επικαλυπτόμενα ρολόγια 2 φάσεων, η χρονική απόκλιση του ρολογιού θα πρέπει να μοντελοποιείται προσεκτικά και οι χρόνοι συγκράτησης θα πρέπει να ελέγχονται μ' ένα στατικό αναλυτή χρονισμού. Αυτοί οι έλεγχοι θα πρέπει να διεξάγονται αμέσως μόλις σχεδιαστεί μια δομή, έτσι ώστε τα λάθη να διορθώνονται όσο το δυνατόν πιο γρήγορα. Για παράδειγμα, ένας μεγάλος μικροεπεξεργαστής χρησιμοποιούσε διάφορα καθυστερημένα ρολόγια για να λύσει τα προβλήματα χρόνου αποκατάστασης σε μεγάλα μονοπάτια. Οι χρόνοι συγκράτησης δεν είχαν ελεγχθεί μέχρι λίγο πριν από την κατασκευή του, γεγονός το οποίο οδήγησε σε σημαντικές αποκλίσεις από το χρονοδιάγραμμα επειδή εντοπίστηκαν πολλές χρονικές παραβιάσεις.

### Επιλογή ακολουθιακής μεθοδολογίας πολύ αργά στον κύκλο σχεδίασης

Οι σχεδιαστές έχουν αρκετές ακολουθιακές μεθοδολογίες στη διάθεσή τους, κάθε μία από τις οποίες έχει τους συμβιβασμούς της. Το ποια είναι η καλύτερη μεθοδολογία για μια συγκεκριμένη εφαρμογή αποτελεί αντικείμενο διαμάχης, και οι μηχανικοί αγαπούν τις διαμάχες. Εάν η ακολουθιακή μεθοδολογία δεν αποφασιστεί με την έναρξη της σχεδίασης, η εμπειρία δείχνει ότι οι μηχανικοί θα δαπανήσουν τεράστια ποσά χρόνου για να ξανακάνουν την ίδια δουλειά όταν χρειαστεί να αλλάξει η μέθοδος, ή για να υποστηρίξουν και να επαληθεύσουν την ορθή λειτουργία πολλαπλών μεθοδολογιών. Τα σχεδιαστικά έργα χρειάζονται έναν ικανό τεχνικό διευθυντή, ο οποίος θα απαιτεί την επιλογή της κατάλληλης μεθόδου στην αρχή του έργου.

### Αδυναμία συγχρονισμού των ασύγχρονων εισόδων

Οι ασύγχρονες είσοδοι μπορεί να προκαλέσουν παράξενες και δυσεπίλυτες σποραδικές αστοχίες, οι οποίες είναι πολύ δύσκολο να εντοπιστούν. Για παράδειγμα, μια μηχανή πεπερασμένων καταστάσεων (FSM) που λειτουργούσε μ' ένα ρολό, δεχόταν μια είσοδο READY από μια μονάδα UART (που λειτουργούσε με διαφορετικό ρολό) όταν το UART είχε δεδομένα, όπως βλέπετε στο Σχήμα 10.53. Ο σχεδιαστής αποφάσισε ότι ο συγχρονισμός του σήματος READY δεν ήταν σημαντικός επειδή εάν άλλαζε κοντά στην ακμή του ρολογιού της FSM, δεν θα τον ενδιέφερε εάν θα ανιχνεύονταν στον έναν κύκλο ή στον επόμενο. Επιπρόσθετα, το ρολό ήταν τόσο



ΣΧΗΜΑ 10.53 Μη-συγχρονισμένη είσοδος.

αργό που η μετασταθερότητα θα είχε χρόνο να σταθεροποιηθεί. Ωστόσο, η FSM περιστασιακά αστοχούσε, μεταβαίνοντας σε φαινομενικά τυχαίες καταστάσεις που δεν έπρεπε να συμβαίνουν κανονικά. Μετά από 2 μήνες αποσφαλμάτωσης, ο σχεδιαστής κατάλαβε ότι το πρόβλημα εμφανίζονταν όταν το ασύγχρονο σήμα READY λαμβάνονταν λίγες καθυστέρησης πάλις πριν από την ακμή του ρολογιού της FSM. Η καθυστέρηση διάδοσης διαμέσου της συνδυαστικής λογικής ήταν διαφορετική για τα διάφορα bit της λογικής της επόμενης κατάστασης. Κάποια bit είχαν αλλάξει στις νέες τιμές ενώ κάποια άλλα ήταν ακόμη στις παλαιές τιμές, με αποτέλεσμα η FSM να οδηγείται σε απροσδιόριστες καταστάσεις. Ο συγχρονισμός του σήματος READY με το ρολό της FSM πριν αυτό οδηγήσει τη συνδυαστική λογική έλυσε το πρόβλημα.

### Κατασκευή προβληματικών συγχρονιστών

Οι σχεδιαστές έχουν βρει αρκετούς τρόπους να κατασκευάζουν προβληματικούς συγχρονιστές. Για παράδειγμα, εάν μια ασύγχρονη είσοδος οδηγεί περισσότερους από ένα συγχρονιστές, οι δύο συγχρονιστές μπορεί να οδηγήσουν σε διαφορετική τιμή. Εάν πρέπει να παράγουν συνεπείς εξόδους, θα πρέπει να χρησιμοποιηθεί μόνο ένας συγχρονιστής. Σε ένα άλλο παράδειγμα, οι συγχρονιστές δεν θα πρέπει να δέχονται εισόδους πολλαπλών bit όπου παραπάνω από ένα bit αλλάζει ταυτόχρονα. Αυτό θα είχε τον κίνδυνο ότι για κάποια από τα bit η τιμή τους αποφασίζεται ενώ αλλάζουν στη νέα τιμή, ενώ άλλα κρατούν την παλαιά τιμή τους, κάπιο το οποίο θα οδηγήσει σε άκυρο σχήμα, το οποίο δεν δίνει ούτε την παλαιά ούτε τη νέα λέξη εισόδου. Σαν ένα επιπλέον παράδειγμα, οι συγχρονιστές με κακοσχεδιασμένο βρόχο ανάδρασης μπορεί να είναι αρκετά πιο αργοί από το αναμενόμενο, πράγμα το οποίο μπορεί να έχει εκθετικά χειρότερο MTBF (μέσο χρόνο μεταξύ αστοχιών).

## 10.9 Μελέτη Εφαρμογής: Μεθοδολογίες Ακολουθιακής Λογικής στους Pentium 4 και Itanium 2

Αυτή η ενότητα περιλαμβάνεται στην όλη πον είναι διαθέσιμη online, μέσω του συνδέσμου «Web Enhanced», στον ιστότοπο [www\\_cmosvlsi.com](http://www_cmosvlsi.com).



### Σύνοψη του Κεφαλαίου

Σ' αυτό το κεφάλαιο περιγράψαμε τους συμβιβασμούς που ενέχει η υλοποίηση ακολουθιακών δομών λογικής με flip-flop, διαφανείς μανδαλώτες 2 φάσεων και παλμικούς μανδαλώτες. Η ελαχιστοποίηση της ακολουθιακής επιβάρυνσης είναι αρκετά σημαντική σε συστήματα υψηλών επιδόσεων. Τα flip-flop είναι η απλούστερη επιλογή υλοποίησης, αλλά έχουν τη μεγαλύτερη ακολουθιακή επιβάρυνση. Οι διαφανείς μανδαλώτες είναι πιο ανεκτικοί στη χρονική απόκλιση και επιτρέπουν περισσότερο δανεισμό χρόνου, αλλά απαιτούν αυξημένη σχεδιαστική προσπάθεια για το διαμερισμό της λογικής σε ημι-κύκλους αντί για κύκλους. Οι παλμικοί μανδαλώτες έχουν τη μικρότερη ακολουθιακή επιβάρυνση, αλλά είναι πολύ επιφρεπείς σε προβλήματα ελάχιστης καθυστέρησης. Ο Πίνακας 10.4 περιλαμβάνει μια συγκριτική παρουσίαση όλων των τεχνικών, παρουσιάζοντας την ακολουθιακή επιβάρυνση, τον περιορισμό ελάχιστης καθυστέρησης και τις δυνατότητες δανεισμού χρόνου κάθε τεχνικής. Όλες οι τεχνικές χρησιμοποιούνται σε εμπορικά προϊόντα, ενώ η επιλογή που θα κάνει ο σχεδιαστής εξαρτάται από τους περιορισμούς μιας δεδομένης σχεδιασης και από τις δυνατότητες των εργαλείων CAD.

ΠΙΝΑΚΑΣ 7.4 Συγκριτική παρουσίαση ακολουθιακών στοιχείων

	Ακολουθιακή επιβάρυνση ( $T_c - t_{pd}$ )	Ελάχιστη Καθυστέρηση Λογικής $t_{cd}$	Διανειμός χρόνου $t_{borrow}$
Flip-flop	$t_{peq} + t_{setup} + t_{skew}$	$t_{hold} - t_{cq} + t_{skew}$	0
Διαφανείς μανδαλωτές 2 φάσεων	$2t_{pdq}$	$t_{hold} - t_{cq} + t_{nonoverlap} + t_{skew}$ in each half-cycle	$T_c/2 - (t_{setup} + t_{nonoverlap} + t_{skew})$
Παλμικοί μανδαλωτές	$\max(t_{pdq}, t_{peq} + t_{setup} - t_{pw} + t_{skew})$	$t_{hold} - t_{cq} + t_{pw} + t_{skew}$	$t_{pw} - (t_{setup} + t_{skew})$

Σ' ένα πανεπιστημιακό περιβάλλον, κατά τη διδασκαλία εισαγωγικών μαθημάτων πάνω στο σχεδιασμό συστημάτων VLSI, η χρονική ανάλυση είτε μελετάται ανεπαρκώς, είτε παραβλέπεται ολοκληρωτικά. Η χρήση μη-επικαλυπτόμενων ρολογιών 2 φάσεων τα οποία παράγονται εκτός ολοκληρωμένου είναι ελκυστική, επειδή παρέχει τη διασφάλιση ότι το ολοκληρωμένο δεν θα αστοχήσει λόγω ελάχιστης ή μέγιστης καθυστέρησης, εάν η περίοδος του ρολογιού και ο χρόνος μη-επικάλυψης είναι επαρκώς μεγάλα. Ωστόσο, η παραγωγή και διανομή δύο μη-επικαλυπτόμενων φάσεων σ' ένα μεγάλο, υψηλής απόδοσης εμπορικό ολοκληρωμένο δεν είναι πρακτική.

Η συντριπτική πλειονότητα των σχεδιάσεων χαμηλής/μέτριας απόδοσης, καθώς και ορισμένες σχεδιάσεις υψηλής απόδοσης, χρησιμοποιούν flip-flop. Τα flip-flop είναι εύχρηστα και οικεία στους περισσότερους σχεδιαστές. Ακόμα πιο σημαντικό είναι το γεγονός ότι υποστηρίζονται καλά από εργαλεία σύνθεσης και αναλυτές χρονισμού. Δυστυχώς στα συστήματα με λίγες καθυστέρησις πωλών ανά κύκλο, η ακολουθιακή επιβάρυνση μπορεί να καταναλώσει σημαντικό ποσό των κύκλων. Επιπλέον, πολλά flip-flop σε μορφή τυποποιημένων κυττάρων σχεδιάζονται σκόπιμα ώστε να είναι αργά, με στόχο την αποτροπή παραβιάσεων του χρόνου συγκράτησης και αντίτιμο τη μεγαλύτερη ακολουθιακή επιβάρυνση.

Τα περισσότερα συστήματα μανδαλωτών 2 φάσεων κατανέμουν μόνο ένα ρολόι και το αντιστρέφουν τοπικά για να οδηγήσουν ένα δεύτερο μανδαλωτή. Αυτά τα συστήματα μπορούν να ανέχονται σημαντικές χρονικές αποκλίσεις ρολογιού χωρίς μείωση της απόδοσης: μπορούν επίσης να χρησιμοποιούν την τεχνική του δανεισμού χρόνου για να ισοσταθμίζουν την καθυστέρηση, είτε εσκεμμένα είτε ευκαιριακά. Ωστόσο, η κατανόησή τους είναι πο δύσκολη επειδή ο δανεισμός χρόνου κατανέμει τους περιορισμούς χρόνου σε πολλαπλά στάδια μιας διαδοχικής διοχέτευσης αντί να τους απομονώνει σε κάθε στάδιο. Ορισμένοι αναλυτές χρονισμού δεν μπορούν να χειριστούν ικανοποιητικά τους χρονισμούς των μανδαλωτών, κυρίων όταν υπάρχουν διαφορετικές χρονικές αποκλίσεις μεταξύ διαφορετικών ρολογιών [Harris99]. Μανδαλωτές 2 φάσεων έχουν χρησιμοποιηθεί στους Alpha 21064 και 21164 [Gonowski98], καθώς και σε διάφορα άλλα ολοκληρωμένα, αλλά πλέον σήμερα χρησιμοποιούνται σπανίως.

Οι παλμικοί μανδαλωτές έχουν χαμηλή ακολουθιακή επιβάρυνση και επιτρέπουν συμβιβασμούς κατά την επιλογή του πλάτους παλμού. Ένας πλατύς παλμός επιτρέπει περισσότερο δανεισμό χρόνου και σχετική ανοχή στη χρονική απόκλιση, αλλά δυσκολεύει την ικανοποίηση των περιορισμών ελάχιστης καθυστέρησης. Οι παλμικοί μανδαλωτές είναι επίσης δημοφιλείς επειδή μπορούν να μοντελοποιούνται ως γρήγορα flip-flop με απαραδέκτο χρόνο συγκράτησης από τη σκοπιά ενός χρονικού αναλυτή (ή ενός άπειρου σχεδιαστή), εάν δεν επιτρέπεται ο εσκεμμένος δανεισμός χρόνου. Τα προβλήματα ελάχιστης καθυστέρησης μπορούν να λυθούν με τη χρήση παλμικών μανδαλωτών για τα μεγάλου μήκους μονοπάτια και flip-flop για τα μικρού μήκους. Δυστυχώς αρκετές πραγματικές σχεδιάσεις έχουν μονοπάτια στα οποία η καθυστέρηση διάδοσης είναι πολύ μεγάλη αλλά η καθυστέρηση μόλυνσης πολύ μικρή, με αποτέλεσμα να είναι δυσκολότερη η επίτευξη συμπαγούς σχεδίασης. Παλμικοί μανδαλωτές έχουν χρησιμοποιηθεί στους επεξεργαστές Itanium 2 [Naffziger02], Pentium 4 [Kord01], Athlon [Draper97], και CRAY 1 [Unger86]. Ωστόσο, μπορούν να προκαλέσουν χάος σε συμβατικές, εμπορικά διαθέσιμες ροές σχεδιασμού και είναι προτιμότερο να μην χρησιμοποιούνται παρά μόνο σε περιπτώσεις που απαιτούν υπερυψηλές επιδόσεις.

Όταν οι είσοδοι φτάνουν σ' ένα σύστημα ασύγχρονα, δεν είναι εγγυημένο ότι θα ικανοποιούνται οι απαιτήσεις χρόνου αποκατάστασης ή συγκράτησης στα χρονισμένα στοιχεία. Ακόμα κι αν δεν μας ενδιαφέρει το εάν μια είσοδος ήρθε στον ένα κύκλο ή στον επόμενο, θα πρέπει να διασφαλίσουμε ότι το χρονισμένο στοιχείο παράγει έγκυρη λογική στάθμη. Δυστυχώς, εάν το στοιχείο δειγματοληπτεί μια μεταβαλλόμενη είσοδο σε λάθος στιγμή, μπορεί να παράγει μια μετασταθερή έξοδο που παραμένει άκυρη για απροσδιόριστο χρόνο. Η πιθανότητα να παραμείνει η μετασταθερότητα μειώνεται εκθετικά με το χρόνο. Τα συστήματα χρησιμοποιούν συγχρονιστές για να δειγματοληπτούν τις ασύγχρονες εισόδους και να τις συγκρατούν αρκετά ώστε να βρεθούν με πολύ υψηλή πιθανότητα σε μια έγκυρη λογική στάθμη, πριν τις πρωθήσουν.

Τα περισσότερα σύγχρονα συστήματα VLSI χρησιμοποιούν αδιαφανή ακολουθιακά στοιχεία για το διαχωρισμό του ενός συμβόλου από το επόμενο. Σε αντίθεση, αρκετά οπτικά συστήματα μεταδίδουν τα δεδομένα ως χρονικά διαχωριζόμενους παλμούς. Εφόσον το μέσο μεταφοράς δεν σκεδάζει υπερβολικά τους παλμούς, αυτοί μπορούν να λαμβάνονται σωστά από το δέκτη. Παρόμοια, εάν ένα VLSI σύστημα έχει χαμηλή σκέδαση, δηλαδή περίπου ίσες καθυστέρησης διάδοσης και μόλυνσης, μπορεί να στέλνει περισσότερα από ένα κύματα δεδομένων χωρίς μανδαλωτές. Τέτοια κυματική διαδοχική διοχέτευση παρέχει δυνατότητες για υψηλές επιδόσεις και χαμηλή ακολουθιακή επιβάρυνση. Ωστόσο, είναι πολύ δύσκολο να επιτευχθεί στην πράξη λόγω των διακυμάνσεων στην καθυστέρηση των δεδομένων.

## Ασκήσεις

Χρησιμοποιήστε τις ακόλουθες παραμέτρους χρονισμού για τις ασκήσεις αυτής της ενότητας.

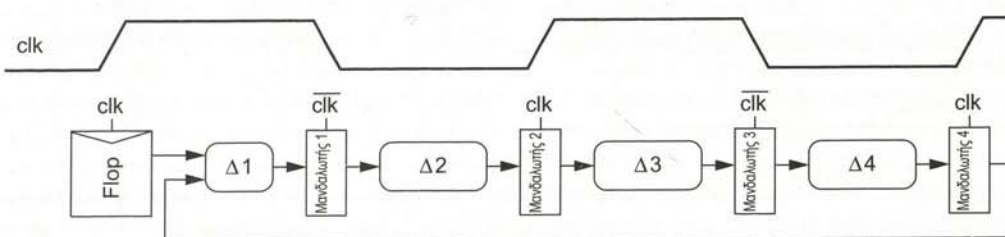
ΠΙΝΑΚΑΣ 10.5 Παράμετροι χρονισμού ακολουθιακών στοιχείων

	Χρόνος αποκατάστασης	Καθυστέρηση Clk σε Q	Καθυστέρηση D σε Q	Καθυστέρηση μόλυνσης	Χρόνος συγκράτησης
Flip-flop	65 ps	50 ps	-	35 ps	30 ps
Μανδαλωτές	25 ps	50 ps	40 ps	35 ps	30 ps

10.1 Για κάθε ένα από τα ακόλουθα στην ακολουθιακών κυκλωμάτων, καθορίστε τη μέγιστη καθυστέρηση διάδοσης που είναι διαθέσιμη για ένα ρολόι με κύκλο 500 ps. Υποθέστε ότι δεν υπάρχει χρονική απόκλιση ρολογιού και δεν λαμβάνει χώρα δανεισμός χρόνου.

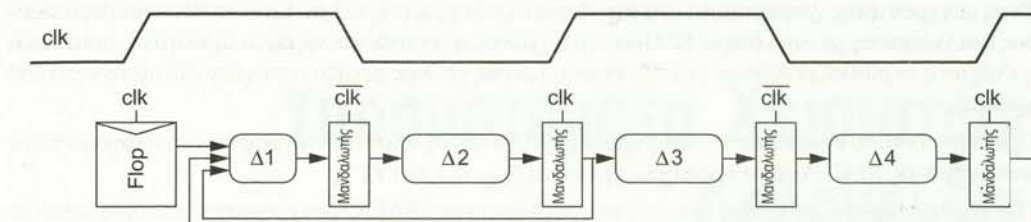
- α) Flip-flop
- β) Διαφανείς μανδαλωτές 2 φάσεων
- γ) Παλμικοί μανδαλωτές με 80 ps πλάτος παλμού
- 10.2 Επαναλάβετε την Ασκηση 10.1 εάν η χρονική απόκλιση του ρολογιού μεταξύ διάδοσης και διάδοσης είναι ύψη 50 ps.
- 10.3 Για κάθε ένα από τα ακόλουθα στην ακολουθιακών κυκλωμάτων, καθορίστε την ελάχιστη καθυστέρηση μόλυνσης λογικής σε κάθε κύκλο ρολογιού (ή ημι-κύκλο για μανδαλωτές 2 φάσεων). Υποθέστε ότι η χρονική απόκλιση ρολογιού είναι 0.
  - α) Flip-flop
  - β) Διαφανείς μανδαλωτές 2 φάσεων με ρολόγια με κύκλο λειτουργίας 50%
  - γ) Διαφανείς μανδαλωτές 2 φάσεων με 60 ps μη-επικάλυψη μεταξύ των φάσεων
  - δ) Παλμικοί μανδαλωτές με 80 ps πλάτος παλμού
- 10.4 Επαναλάβετε την Ασκηση 10.3 εάν η χρονική απόκλιση του ρολογιού μεταξύ διάδοσης και διάδοσης μπορεί να φτάσει τα 50 ps.

- 10.5 Υποθέστε ότι ένας κύκλος λογικής είναι ιδιαίτερα κρίσιμος και ο επόμενος κύκλος είναι περίπου άδειος. Καθορίστε το μέγιστο ποσό χρόνου που μπορεί να δανείσει ο πρώτος κύκλος στο δεύτερο για κάθε ένα από τα ακόλουθα στην ακολουθιακών κυκλωμάτων. Υποθέστε ότι δεν υπάρχει χρονική απόκλιση ρολογιού.
- Flip-flop
  - Διαφανείς μανδαλωτές 2 φάσεων με ρολόγια με κύκλο λειτουργίας 50%
  - Διαφανείς μανδαλωτές 2 φάσεων με 60 ps μη-επικάλυψης μεταξύ των φάσεων
  - Παλμικοί μανδαλωτές με 80 ps πλάτος παλμού
- 10.6 Επαναλάβετε την Άσκηση 10.5 εάν η χρονική απόκλιση του ρολογιού μεταξύ οποιωνδήποτε δύο στοιχείων μπορεί να φτάσει τα 50 ps.
- 10.7 Αποδείξτε την Εξ. (10.17)
- 10.8 Δίνεται flip-flop κατασκευασμένο μ' ένα ζεύγος οιαφανών μανδαλωτών που χρησιμοποιούν μη-επικαλυπτόμενα ρολόγια. Εκφράστε το χρόνο αποκατάστασης, το χρόνο συγκράτησης και την καθυστέρηση ρολόι-σε-*Q* του flip-flop βάσει των παραμέτρων χρονισμού του μανδαλωτή και του  $t_{nonoverlap}$ .
- 10.9 Για το μονοπάτι του Σχήματος 10.54, βρείτε ποιοι μανδαλωτές δανείζονται χρόνο και αν συμβαίνουν παραβιάσεις στο χρόνο αποκατάστασης. Επαναλάβετε για χρόνους κύκλου 1200, 1000 και 800 ps. Υποθέστε ότι υπάρχει μηδενική χρονική απόκλιση ρολογιού και ότι οι καθυστέρησεις των μανδαλωτών προσμετρούνται στα  $\Delta$  της καθυστέρησης διάδοσης.
- $\Delta_1 = 550$  ps;  $\Delta_2 = 580$  ps;  $\Delta_3 = 450$  ps;  $\Delta_4 = 200$  ps
  - $\Delta_1 = 300$  ps;  $\Delta_2 = 600$  ps;  $\Delta_3 = 400$  ps;  $\Delta_4 = 550$  ps



ΣΧΗΜΑ 10.54 Το μονοπάτι για την Άσκηση 10.9.

- 10.10 Καθορίστε την ελάχιστη περίοδο του ρολογιού στην οποία το κύκλωμα του Σχήματος 10.55 θα λειτουργήσει σωστά για κάθε μία από τις ακόλουθες λογικές καθυστέρησεις. Υποθέστε ότι δεν υπάρχει χρονική απόκλιση ρολογιού και ότι οι καθυστέρησεις των μανδαλωτών προσμετρούνται στα  $\Delta$  της καθυστέρησης διάδοσης.
- $\Delta_1 = 300$  ps;  $\Delta_2 = 400$  ps;  $\Delta_3 = 200$  ps;  $\Delta_4 = 350$  ps
  - $\Delta_1 = 300$  ps;  $\Delta_2 = 400$  ps;  $\Delta_3 = 400$  ps;  $\Delta_4 = 550$  ps
  - $\Delta_1 = 300$  ps;  $\Delta_2 = 900$  ps;  $\Delta_3 = 200$  ps;  $\Delta_4 = 350$  ps



ΣΧΗΜΑ 10.55 Το μονοπάτι για την Άσκηση 10.10.

- Επαναλάβετε την Άσκηση 10.10 εάν η χρονική απόκλιση του ρολογιού είναι 100 ps
- Χαρακτηρίστε τους τύπους χρονισμού κάθε σήματος του κυκλώματος του Σχήματος 10.54. Το flip-flop έχει κατασκευαστεί με διαφανείς μανδαλωτές συνδεδεμένους «πλάτη-με-πλάτη», όπου ο πρώτος ελέγχεται από το  $clk_b$  και ο δεύτερος από το  $clk$ .
- Χρησιμοποιώντας έναν προσομοιωτή, συγκρίνετε τις καθυστέρησεις διάδοσης από *D*-σε-*Q* του συμβατικού δυναμικού μανδαλωτή του Σχήματος 10.17(δ) και του μανδαλωτή TSPC του Σχήματος 10.30(a). Υποθέστε ότι κάθε μανδαλωτής φορτώνεται με βαθμό οδήγησης εξόδου 4. Χρησιμοποιήστε χρονισμένα τρανζίστορ πλάτους 4 λ, και προσαρμόστε τα άλλα μεγέθη των τρανζίστορ για την ελάχιστης καθυστέρηση διάδοσης.
- Χρησιμοποιώντας έναν προσομοιωτή, βρείτε τους χρόνους αποκατάστασης και συγκράτησης ενός μανδαλωτή TSPC, υπό τις προϋποθέσεις της Άσκησης 10.13.
- Καθορίστε τη μέγιστη καθυστέρηση λογικής που είναι διαθέσιμη σ' έναν κύκλο για μια τυπική δομή διοχέτευσης domino που χρησιμοποιεί ένα ρολό με κύκλο 500 ps. Υποθέστε ότι υπάρχει μηδενική χρονική απόκλιση ρολογιού.
- Επαναλάβετε την Άσκηση 10.15 εάν η χρονική απόκλιση του ρολογιού μεταξύ οποιωνδήποτε δύο στοιχείων μπορεί να φτάσει τα 50 ps.
- Βρείτε τη μέγιστη καθυστέρηση διάδοσης που είναι διαθέσιμη σ' ένα κύκλο για μια δομή διοχέτευσης διαδοχικής επίδρασης 4 φάσεων με ανοχή στη χρονική απόκλιση, που χρησιμοποιεί ρολό με κύκλο 500 ps. Υποθέστε ότι υπάρχει μηδενική χρονική απόκλιση ρολογιού.
- Επαναλάβετε την Άσκηση 10.17 εάν η χρονική απόκλιση του ρολογιού μεταξύ οποιωνδήποτε δύο στοιχείων μπορεί να φτάσει τα 50 ps.
- Πόσο χρόνο μπορεί να δανείσει μια φάση στην επόμενη, στην περίπτωση της Άσκησης 10.18, εάν τα ρολόγια έχουν κύκλο λειτουργίας 50%? Υποθέστε  $t_{hold} = 0$ .
- Επαναλάβετε την Άσκηση 10.18 εάν τα ρολόγια έχουν κύκλο λειτουργίας 65%.
- Σχεδιάστε ένα γρήγορο παλμικό μανδαλωτή. Υποθέστε ίσες χωρητικότητες πύλης στο ρολό και στις εισόδους των δεδομένων. Διαμορφώστε το μανδαλωτή ώστε να οδηγεί ένα φορτίο εξόδου αποτελούμενο από τέσσερις πανομοιότυπους μανδαλωτές. Προσομοιώστε το μανδαλωτή και βρείτε τους χρόνους αποκατάστασης & συγκράτησης και τις καθυστέρησεις διάδοσης & μόλυνσης ρολό-*i*-σε-*Q*. Εκφράστε τα αποτελέσματά σας σε καθυστέρηση FO4.
- Προσομοιώστε το σενάριο χειριστης περίπτωσης για την καθυστέρηση διάδοσης μιας δυναμικής πύλης NOR 8 εισόδων που οδηγεί 4 στοιχεία. Αναφέρετε την καθυστέρηση σε όλες τις σχεδιαστικές γωνίες (τάση, θερμοκρασία, nMOS, pMOS). Επίσης, βρείτε την καθυστέρηση αντιστροφέα FO4 σε κάθε μία από αυτές τις γωνίες. Κατά ποιο ποσοστό διαφοροποιείται η απόλυτη καθυστέρηση διάδοσης της πύλης NOR μεταξύ των γωνιών; Κατά ποιο ποσοστό διαφοροποιείται η κανονικοποιημένη καθυστέρηση (βάσει καθυστέρησης αντιστροφέα FO4); Σχολιάστε τις επιπτώσεις που μπορεί να έχει αυτό σε κυκλώματα τα οποία χρησιμοποιούν ταιριασμένες καθυστέρησεις.

- 10.23 Ένας συγχρονιστής χρησιμοποιεί ένα flip-flop με  $\tau_s=54$  ps και  $T_0=21$  ps. Εάν υποθέσουμε ότι η είσοδος εναλλάσσεται με συχνότητα 10 MHz και ο χρόνος αποκατάστασης είναι αμελητέος, ποια είναι η ελάχιστη περίοδος ρολογιού για την οποία ο μέσος χρόνος μεταξύ αστοχιών υπερβαίνει τα 100 χρόνια;
- 10.24 Προσομοιώστε το συγχρονιστή του Σχήματος 10.45 και σχεδιάστε ένα γράφημα ανάλογο με αυτό του Σχήματος 10.43. Από το γράφημα, βρείτε τα  $\Delta_{DO}$ ,  $h$ ,  $\tau$  και  $T_0$ .
- 10.25 Η εταιρεία Inferior Circuits Inc θέλει να σας πουλήσει τον ΤΕΛΕΙΟ συγχρονιστή, ο οποίος, κατά τα λεγόμενά της, δεν παράγει ποτέ μετασταθερή έξοδο. Ο συγχρονιστής αποτελείται από ένα κανονικό flip-flop το οποίο ακολουθείται από ένα συγκριτή μεγάλου κέρδους που παράγει υψηλή έξοδο για εισόδους πάνω από  $V_{DD}/4$  και χαμηλή έξοδο για εισόδους κάτω από αυτό το σημείο. Ο αντιπρόεδρος του τμήματος μάρκετινγκ ισχυρίζεται ότι ακόμα κι αν το flip-flop εισέλθει σε κατάσταση μετασταθερότητας, η έξοδός του θα παραμένει κοντά στο  $V_{DD}/2$ , οπότε ο συγχρονιστής θα παράγει "καλή" υψηλή έξοδο μετά από το συγκριτή. Γιατί δεν θα αγοράζετε αυτό το συγχρονιστή;

## Υποσυστήματα Χειριστών Δεδομένων

11

### 11.1 Εισαγωγή

Γενικά, οι λειτουργικές μονάδες των ολοκληρωμένων μπορούν να ταξινομηθούν στις ακόλουθες κατηγορίες:

- ◎ Χειριστές δεδομένων
- ◎ Στοιχεία μνήμης
- ◎ Δομές ελέγχου
- ◎ Κύτταρα ειδικού σκοπού
  - Εισόδου/Εξόδου
  - Διανομής ισχύος
  - Δημιουργίας και διανομής ρολογιού
  - Αναλογικά και RF

Η διαδικασία σχεδίασης συστημάτων CMOS συνιστάται στο διαχωρισμό του σχεδιαζόμενου συστήματος σε υποσυστήματα των παραπάνω κατηγοριών. Υπάρχουν πολλά εναλλακτικά σχήματα τα οποία επιτρέπουν στους σχεδιαστές να κάνουν τους επιθυμητούς ή αναγκαίους συμβιβασμούς μεταξύ ταχύτητας, πυκνότητας, δυνατότητας προγραμματισμού, ευκολίας σχεδίασης και διάφορων άλλων παραμέτρων. Το παρόν κεφάλαιο εξετάζει διάφορες επιλογές σχεδίασης για τους ευρύτερα χρησιμοποιούμενους τελεστές χειριστών δεδομένων. Το επόμενο κεφάλαιο πραγματεύεται τις διατάξεις (arrays), δίνοντας ιδιαίτερη έμφαση σ' αυτές που χρησιμοποιούνται για κυκλώματα μνήμης. Οι δομές ελέγχου καθικοποιούνται συνήθως με τη χρήση κάποιας γλώσσας περιγραφής hardware και κατόπιν ακολουθεί η σύνθεσή τους. Στο Κεφάλαιο 13 θα εξετάσουμε ορισμένα υποσυστήματα ειδικού σκοπού.

Όπως αναφέραμε στο Κεφάλαιο 1, οι χειριστές δεδομένων αφελούνται από τις αρχές της ιεραρχίας, της κανονικότητας, της τμηματοποίησης και της τοποκότητας, οι οποίες διέπουν τη δομημένη σχεδίαση συστημάτων. Μπορούν να χρησιμοποιούν  $N$  πανομοιότυπα κυκλώματα για την επεξεργασία δεδομένων των  $N$  bit. Οι σχετιζόμενοι χειριστές δεδομένων τοποθετούνται σε φυσικά γειτονικές θέσεις, έτσι ώστε να μειώνεται το μήκος των αγωγών διασύνδεσης και η καθυστέρηση. Γενικά, τα δεδομένα διευθετούνται ώστε να ρέουν μόνο προς μία κατεύθυνση, ενώ τα σήματα ελέγχου διευθετούνται ώστε να ρέουν σε κατεύθυνση ορθογώνια προς τη ροή δεδομένων.

Στους κοινούς τελεστές χειριστών δεδομένων που θα εξετάσουμε σ' αυτό το κεφάλαιο περιλαμβάνονται οι αθροιστές, οι ανιχνευτές 0/1, οι συγκριτές, οι μετρητές, οι μονάδες Boolean λογικής, οι μονάδες κάθικα διόρθωσης σφαλμάτων, οι ολισθητές και οι πολλαπλασιαστές.

### 11.2 Πρόσθεση/Αφαίρεση

«Σχεδιάστηκε πλειάδα μηχανισμών και δημιουργήθηκαν σχεδόν ατελείωτα σχεδιαγράμματα, με στόχο την εξοικονόμηση χρόνου και την απλοποίηση των μηχανισμούς κρατουμένουν».

-Charles Babbage, για την Difference Engine No.1, 1864 [Morrison61]